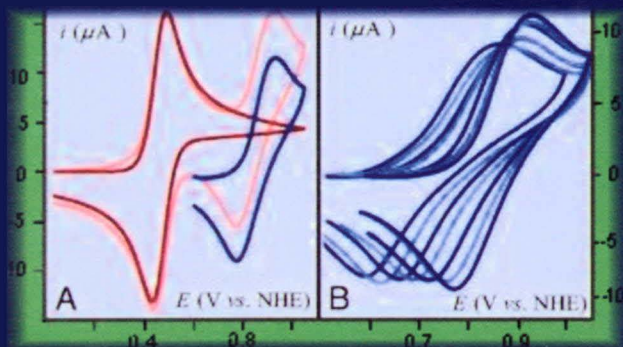


ANDREI FLORIN DĂNEȚ

ANALIZĂ INSTRUMENTALĂ

partea I



Editura
Universității
din București



TM



ANDREI FLORIN DĂNEȚ

ANALIZĂ INSTRUMENTALĂ

PARTEA I-a



editura universității din bucurești®

2010

Cuprins

Capitolul 1 - Metode spectrometrice de analiză	7
1.1. INTRODUCERE ÎN SPECTROMETRIA DE EMISIE ȘI ABSORBȚIE	7
1.1.1. Natura radiației electromagnetice. Spectrul electromagnetic	7
1.1.2. Tipuri de interacții ale radiației electromagnetice și corpusculare cu proba de analizat	9
1.1.3. Emisia și absorbția atomică a radiației	13
1.1.3.1. Emisia și absorbția atomică a radiației în domeniul ultraviolet și vizibil	13
1.1.3.2. Emisia și absorbția razelor X	15
1.1.4. Absorbția, emisia și difuzia moleculară a radiației	18
1.1.4.1. Absorbția radiației de către molecule	18
1.1.4.1.a. Tranziții electronice moleculare	19
1.1.4.1.b. Tranziții de vibrație moleculară	22
1.1.4.2. Emisia radiației de către molecule	24
1.1.4.3. Difuzia radiației, efectul Raman	28
1.2. APARATURA UTILIZATĂ ÎN SPECTROMETRIA DE ABSORBȚIE ÎN DOMENIILE ULTRAVIOLET, VIZIBIL ȘI INFRAROȘU	31
1.2.1. Schema generală a unui spectrometru	31
1.2.2. Surse de radiații	33
1.2.3. Sisteme de separare a radiațiilor în funcție de lungimea de undă	34
1.2.4. Detectori de radiații	38
1.2.5. Sisteme de evaluare	40
1.3. SPECTROMETRIA DE EMISIE ATOMICĂ ÎN ARC, SCÂNTEIE ELECTRICĂ ȘI PLASMĂ	43
1.3.1. Principiul aparaturii	43
1.3.2. Analiza calitativă și semicantitativă	49
1.3.3. Analiza cantitativă	51
1.4. SPECTROMETRIA DE EMISIE ÎN FLACĂRĂ	53
1.4.1. Flacăra ca sistem de atomizare și excitare	53
1.4.2. Principiul aparaturii	57

1.4.3. Analiza cantitativă.....	58
1.5. SPECTROMETRIA DE ABSORBȚIE ATOMICĂ.....	59
1.5.1. Absorbția radiațiilor de către atomi.....	60
1.5.2. Principiul aparaturii.....	63
1.5.3. Analiza cantitativă.....	65
1.6. SPECTROMETRIA DE RAZE X.....	67
1.6.1. Principiul aparaturii.....	68
1.6.2. Metode directe de analiză cu raze X.....	71
1.6.3. Analiza prin fluorescență de raze X.....	72
1.7. METODE SPECTROMETRICE DE ABSORBȚIE MOLECULARĂ ÎN DOMENIUL VIZIBIL ȘI ULTRAVIOLET.....	74
1.7.1. Legea fundamentală a absorbției radiației.....	74
1.7.2. Eroarea fotometrică. Condiții pentru o eroare minimă la determinarea absorbanței.....	79
1.7.3. Corelarea spectrelor electronice de absorbție cu structura moleculară.....	82
1.7.4. Analiza cantitativă.....	87
1.7.5. Titrări spectrometrice.....	89
1.8. SPECTROMETRIA DE FLUORESCENȚĂ ȘI FOSFORESCENȚĂ MOLECULARĂ.....	90
1.8.1. Relația între intensitatea radiației de fluorescență (sau fosforescență) și concentrație.....	91
1.8.2. Principiul aparaturii.....	92
1.8.3. Factorii structurali care determină fluorescența.....	93
1.8.4. Analiza cantitativă.....	93
1.9. SPECTROMETRIA DE ABSORBȚIE ÎN INFRAROȘU ȘI RAMAN.....	99
1.9.1. Pregătirea probelor în vederea înregistrării spectrului în IR.....	99
1.9.2. Corelarea spectrelor în IR cu structura moleculară.....	101
1.9.3. Spectrometria Raman.....	104
1.10. SPECTROMETRIA DE MASĂ.....	109
1.10.1. Principiul aparaturii utilizate în spectrometria de masă.....	110
1.10.1.1. Metode de ionizare.....	110
1.10.1.2. Metode de separare a ionilor. Analizorul de ioni.....	117

1.10.1.3. Detectorul de ioni. Schema unui spectrometru de masă.	
Rezoluția.....	124
1.10.2. Spectrul de masă, aplicații analitice.....	125
1.10.3. Cuplarea cromatografiei cu spectrometria de masă.....	133
1.11. SPECTROMETRIA DE REZONANȚĂ MAGNETICĂ	
NUCLEARĂ.....	135
1.11.1. Proprietățile magnetice ale nucleului.....	135
1.11.2. Interacțiunea momentului de spin al nucleului cu un câmp magnetic.....	137
1.11.3. Principiul aparaturii RMN.....	142
1.11.4. Poziția semnalelor în spectrul RMN. Deplasarea chimică.....	144
1.11.5. Cuplarea spin-spin.....	151
1.11.6. Spectrometria RMN cu iradiere în pulsuri și transformată Fourier.....	155
BIBLIOGRAFIE.....	157
RESURSE INTERNET ÎN DOMENIUL METODELOR	
SPECTROMETRICE DE ANALIZĂ.....	158
Capitolul 2 - Metode electroanalitice.....	161
2.1. INTRODUCERE ÎN METODELE ELECTROANALITICE.....	161
2.1.1. Electrozi utilizați în celulele electrochimice.....	162
2.1.2. Celule electrochimice.....	164
2.1.2.1. Energia liberă și forța electromotoare a unei celule electrochimice.....	168
2.1.2.2. Efectul concentrațiilor asupra forței electromotoare a unei celule. Ecuația Nernst.....	169
2.1.3. Potențialul de electrod.....	170
2.1.3.1. Potențialul standard de electrod.....	172
2.1.3.2. Potențialele de electrod în prezența unor reactivi de precipitare sau de complexare.....	173
2.1.3.3. Limitări în utilizarea potențialelor standard de electrod.....	175
2.1.4. Potențiale de joncțiune lichidă.....	177
2.1.5. Efectul curentului asupra forței electromotoare a unei celule. Cinetica proceselor de electrod. Curbe curent- potențial.....	178
2.1.5.1. Căderea de potențial datorită rezistenței ohmice a celulei electrochimice.....	179
2.1.5.2. Polarizarea electrozilor.....	179

2.1.5.3. Cinetica transferului de sarcină la electrozi	182
2.1.5.4 Curbele curent-potențial pentru o concentrație constantă a speciilor care participă la reacția de electrod. Limitarea curentului datorită transferului de sarcină	185
2.1.5.5. Curbele curent-potențial pentru concentrații variabile ale speciilor care participă la reacția electrod. Limitarea curentului datorită transferului de masă	187
2.1.5.5.a. Forma curbelor curent-potențial (voltamograme) pentru curenții de difuzie	190
2.1.5.5.b. Ecuațiile curbelor curent-potențial pentru curenții de difuzie	192
2.1.6. Clasificarea metodelor electroanalitice	195
2.2. METODE POTENȚIOMETRICE DE ANALIZĂ	198
2.2.1 Metode potențimetrice directe	198
2.2.1.1. Electrozi de speța I-a	198
2.2.1.2. Electrozi de speța a II-a	202
2.2.1.3. Electrozi de speța a III-a	204
2.2.1.4. Electrozi redox	205
2.2.1.5. Electrozi cu membrană	206
2.2.1.5.a. Clasificarea electrozilor cu membrană	206
2.2.1.5.b. Celule electrochimice folosite la efectuarea de determinări cu electrozi ion-selectivi cu membrană. Coeficientul de selectivitate al electrozilor ion-selectivi	208
2.2.1.5.c. Electrozi ion-selectivi cu membrană solidă	211
2.2.1.5.d. Electrozi cu membrană lichidă și polimerică	216
2.2.1.5.e. Electrozi cu membrană sensibili pentru gaze	220
2.2.1.6. Electrozi cu semiconductori	222
2.2.1.6.a. Tranzistori cu efect de câmp sensibili chimic	227
2.2.1.7. Electrozi chimic modificați	232
2.2.1.8. Biosenzori potențimetrice	238
2.2.1.9. Microelectrozi ion-selectivi și determinări potențimetrice in vivo	243
2.2.1.10. Practica determinării potențimetrice directe	245
2.2.1.10.a. Determinarea potențimetrică a pH-ului cu electrodul de sticlă	247
2.2.2. Titrări potențimetrice	252
2.2.2.1. Deducerea formei curbelor de titrare potențimetrică cu ajutorul curbelor curent-potențial (voltamograme)	253
2.2.2.2. Titratoare potențimetrice automate	258

2.3. METODE CONDUCTOMETRICE DE ANALIZĂ.....	260
2.3.1. Conductanța electrolitică.....	260
2.3.2. Practica determinărilor conductometrice.....	263
2.3.3. Titrări conductometrice.....	266
2.4. METODE VOLTAMETRICE ȘI POLAROGRAFICE DE ANALIZĂ.....	270
2.4.1. Componente ale celulelor electrochimice și aparatura utilizată în voltametrie.....	271
2.4.2. Polarografia convențională (în curent continuu).....	278
2.4.2.1. Principii ale polarografiei convenționale.....	278
2.4.2.2. Aspecte teoretice privind polarografia convențională.....	280
2.4.2.3. Ecuațiile undelor polarografice.....	284
2.4.2.4. Curentul rezidual în polarografie.....	287
2.4.2.5. Maximele curenților polarografici.....	290
2.4.2.6. Curenți catalitici ai hidrogenului.....	292
2.4.2.7. Curenți limită datorită unor procese de suprafață.....	293
2.4.2.8. Efectul reacțiilor chimice.....	295
2.4.2.9. Efectul cineticii transferului de sarcină la electrod.....	297
2.4.2.10. Aspecte ale practicii polarografiei convenționale.....	298
2.4.3. Metode polarografice avansate (neconvenționale).....	303
2.4.3.1. Metode polarografice avansate, în curent continuu.....	306
2.4.3.1.a. Polarografia rapidă în curent continuu.....	306
2.4.3.1.b. Tast-polarografia (polarografia cu măsurarea intermitentă a curentului).....	306
2.4.3.1.c. Polarografia substractivă în curent continuu.....	308
2.4.3.1.d. Polarografia derivată în curent continuu.....	308
2.4.3.1.e. Polarografia cu baleiaj liniar, rapid de potențial.....	309
2.4.3.1.f. Polarografia cu pulsuri (pulsopolarografia).....	311
2.4.3.2. Metode polarografice în curent alternativ.....	319
2.4.3.2.a. Polarografia în curent alternativ sinusoidal.....	319
2.4.3.2.b. Polarografia în curent alternativ cu unde pătrate.....	325
2.4.3.2.c. Polarografia oscilografică în curent alternativ.....	328
2.4.4. Voltametrie hidrodinamică.....	331
2.4.4.1. Voltametrie hidrodinamică cu electrozi rotitori.....	332
2.4.4.2. Voltametrie cu alți electrozi hidrodinamici.....	334
2.4.4.3. Electrocul de oxigen.....	335
2.4.4.4. Biosenzori amperometrici.....	337
2.4.4.5. Titrări amperometrice.....	339
2.4.5. Voltametrie în soluție staționară.....	342
2.4.5.1. Voltametrie ciclică.....	343

2.4.5.2. Voltametrie cu trepte de potențial.....	348
2.4.5.3. Voltametrie cu pulsuri de potențial.....	351
2.4.5.4. Cronopotențiometrie.....	353
2.4.5.5. Voltametrie de stripping (cu redizolvare).....	358
2.5. METODE COULOMETRICE DE ANALIZĂ.....	364
2.5.1. Relații de bază în coulometrie.....	365
2.5.2. Metode coulometrice la potențial controlat.....	367
2.5.3. Metode coulometrice la curent constant.....	369
BIBLIOGRAFIE.....	372
RESURSE INTERNET ÎN DOMENIUL METODELOR ELECTROANALITICE.....	373
BIBLIOGRAFIE GENERALĂ.....	374
RESURSE INTERNET ÎN NUMEROASE DOMENII ALE CHIMIEI ANALITICE.....	376

Metode spectrometrice de analiză

1.1. INTRODUCERE ÎN SPECTROMETRIA DE EMISIE ȘI ABSORBȚIE

1.1.1. Natura radiației electromagnetice. Spectrul electromagnetic.

Radiația electromagnetică este o formă de energie radiantă care prezintă proprietăți atât de undă cât și de particulă. Deși undele și particulele par să fie incompatibile, natura radiației electromagnetice, ca și comportarea electronilor, nu poate fi explicată decât pe baza dualității “*particulă-undă*”.

Proprietăți de undă. După cum se vede din fig. 1.1, o undă electromagnetică are o componentă electrică și una magnetică. Cele două componente oscilează în planuri perpendiculare unul față de altul și față de direcția de propagare a radiației.

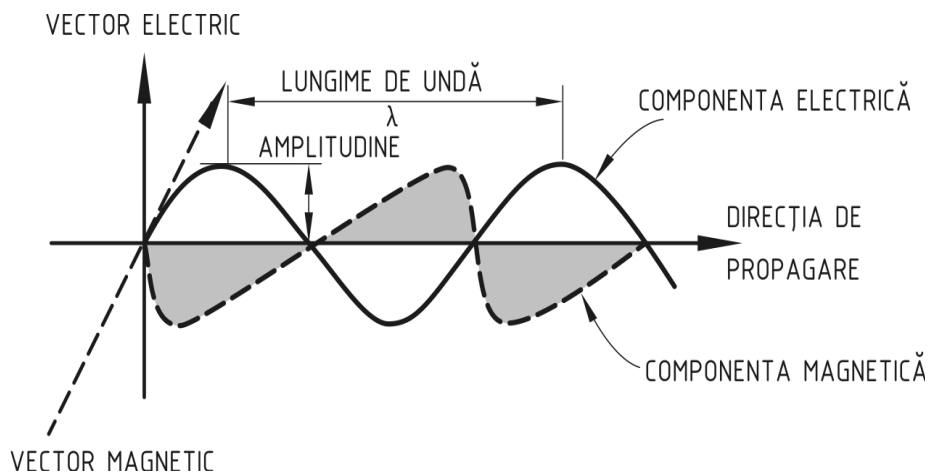


Fig. 1.1. O undă electromagnetică.

O undă electromagnetică este caracterizată de lungimea de undă și de frecvență. Lungimea de undă este distanța dintre două puncte corespunzătoare de pe curbă (fig. 1.1). Frecvența, ν , reprezintă numărul de unități de lungimi de undă

care trec printr-un anumit punct, în unitatea de timp. Frecvența se exprimă în hertzi (Hz), cicluri pe secundă sau s^{-1} . Lungimea de undă și frecvența sunt raportate la viteza luminii prin relația:

$$\lambda \nu = c/n \quad (1.1)$$

unde c este viteza luminii în vid ($2,9976 \cdot 10^{10}$ cm/s) și n este indicele de refracție (raportul vitezei luminii în vid și al vitezei sale în mediul respectiv). În unele cazuri este mai avantajos de a folosi numărul de undă, $\tilde{\nu}$, care reprezintă numărul de lungimi de undă pe 1 cm. Se exprimă în cm^{-1} .

$$\tilde{\nu} = \frac{1}{\lambda} = \frac{\nu}{c} \quad (1.2)$$

Intensitatea unei electromagnetice, I , reprezintă energia care trece prin unitatea de suprafață în unitatea de timp și este dată de relația:

$$I = \frac{A^2 c}{8\pi} \quad (1.3)$$

unde A este amplitudinea unei electromagnetice.

Proprietăți de particulă. Pentru a descrie modul în care interacționează radiația electromagnetică cu materia, este util de a imagina fasciculul de radiații ca o succesiune de fotoni (un tren de fotoni). Energia fiecărui foton este proporțională cu frecvența radiației și este dată de relația:

$$E = h\nu = hc / n\lambda \quad (1.4)$$

unde E este energia fotonului în ergi, ν este frecvența radiației electromagnetice în hertzi, h este constanta lui Planck, $6,624 \cdot 10^{-27}$ erg·s și n este indicele de refracție al mediului.

Spectrul electromagnetic

Radiațiile electromagnetice care sunt de interes pentru chimie variază de la radiațiile γ care au energie foarte mare, la undele radio ce au energie foarte mică. Prin spectru electromagnetic se înțeleg radiațiile de toate lungimile de undă cuprinse în acest interval.

În tabelul 1.1 se prezintă, în funcție de lungimile de undă, frecvențe și energie, radiațiile ce constituie spectrul electromagnetic, tipurile de tranziții ce pot avea loc și metodele de analiză corespunzătoare. Diferitele regiuni ale spectrului constituie domeniile spectrale, pentru fiecare domeniu utilizându-se un anumit tip

de aparat pentru a genera sau detecta radiații, de exemplu: infraroșu, raze X, vizibil etc. Între domeniile spectrale nu sunt limite nete, ci limite difuze, fiind, de fapt, o întrepătrundere a acestora. Fiecărui domeniu spectral îi corespund interacții specifice ale radiației cu proba de analizat.

1.1.2. Tipuri de interacții ale radiației electromagnetice și corpusculare cu proba de analizat

Interacțiile radiației electromagnetice și corpusculare cu proba de analizat pot fi neelastice și elastice (cvasielastice).

În cazul interacțiilor elastice, spre deosebire de cele neelastice, nu are loc o transformare de energie mecanică în alte forme de energie.

Interacții neelastice. Interacțiile neelastice stau la baza celor mai multe metode de analiză în care au loc interacții ale radiației electromagnetice și corpusculare cu proba de analizat. Prin interacții neelastice are loc un schimb de energie bine definit între radiație și particulele din probă (atomi, ioni, molecule) care poate fi descris pe baza legilor mecanicii cuantice. La efectuarea analizei se obțin semnale corespunzătoare unor tranziții între anumite stări energetice, care, ordonate în funcție de energie (λ sau ν), ne dau spectrul probei de analizat. În domeniul de energii larg care reprezintă spectrul electromagnetic, vor apărea anumite discontinuități caracteristice.

Spectrele pot fi de emisie sau de absorbție. Spectrele de emisie se obțin în urma trecerii particulelor probei în stări cu energie mai mare (stări excitate), de exemplu, prin excitare termică, după care revin la starea cu energie mai mică, starea fundamentală, prin emisie de radiații. Spectrele de absorbție se obțin la iradierea probei cu radiații a căror frecvență (sau λ) variază continuu, din care vor fi absorbite anumite porțiuni caracteristice, în urma trecerii particulelor respective în stări excitate. Pentru aceeași probă, spectrele de emisie și absorbție sunt unul față de altul ca imaginea pozitivă și cea negativă din fotografie.

În tabelul 1.1 se prezintă alături de domeniile spectrului electromagnetic, tipuri de tranziții energetice ce pot avea loc și metodele de analiză corespunzătoare. Toate aceste metode poartă numele general de metode spectrometrice de analiză.

Spectrele conțin codificat informația analitică furnizându-ne atât date calitative cât și cantitative pe baza tranzițiilor între diferitele stări energetice ale atomilor, ionilor sau moleculelor.

Frecvențele, respectiv lungimile de undă ale semnalelor înregistrate sunt caracteristice pentru natura probei sau a elementelor sale structurale, în timp ce intensitățile corespunzătoare ne dau informații cantitative. Informații structurale calitative pot fi date și de întregul spectru care, în raport cu natura probei studiate poate fi frecvent considerat ca o amprentă a acesteia.

Domeniile spectrului electromagnetic, tipuri de tranziții ce pot avea loc și metodele de analiză corespunzătoare [22].

Forma semnalului spectrometric

Mai întâi, fiecare linie spectrală are o anumită lăţime care poate fi explicată cu ajutorul principiului de incertitudine al lui Heisenberg, conform căruia determinarea simultană a energiei unei tranziţii cuantice şi a timpului necesar transmiterii energiei nu poate fi cunoscută mai exact de $h/2\pi$. Se poate scrie:

unde δE este variația de energie între două stări, iar $\delta \tau$ este durată de viață a stării excitate. Aceasta determină o lățire naturală a liniei spectrale, dată de relația:

10

Lățirea va fi cu atât mai mare cu cât $\delta\tau$ va fi mai mic. Lățirea naturală în cazul gazelor va fi dependentă de presiune. Liniile spectrale vor fi cu atât mai înguste cu cât presiunea este mai mică, datorită reducerii numărului de ciocniri. Ciocnirile reduc durata de viață a stării excitate, ceea ce determină o lățire a liniilor spectrale.

Alți factori importanți care determină lățirea liniilor spectrale sunt:

- viteza relativă de mișcare a particulei, v , în raport cu radiația emisă, ceea ce determină o lățire prin efect Doppler:

$$\delta v_D = v \frac{v}{c} = \frac{v}{c} \sqrt{\frac{3kT}{m}} \quad (1.7)$$

unde m este masa particulei.

- lățirea datorită structurii fine nerezolvate δv_F

- lățirea datorită aparatului întrebuintat, în primul rând a monocromatorul și a sistemul de înregistrare, δv_A

Lățimea unei linii spectrale observate experimental va fi deci dată de relația:

$$\delta v_{exp.} = \delta v_N + \delta v_D + \delta v_F + \delta v_A \quad (1.8)$$

Intensitatea unei linii spectrale depinde de densitățile de ocupare ale nivelurilor de energie considerate (de “populațiile” nivelurilor respective) și de probabilitatea tranzițiilor între ele. Probabilitatea tranzițiilor este dată de regulile de selecție. Raportul densităților de ocupare ale nivelurilor energetice este dat de o repartiție de tip Boltzmann:

$$\frac{N_1}{N_0} = \frac{g_1}{g_0} \exp\left(-\frac{E_1 - E_0}{kT}\right) \quad (1.9)$$

unde:

N_1 și N_0 sunt numărul de particule din stările energetice E_1 respectiv E_0 , la temperatura T ; g_1 și g_0 reprezintă ponderile statistice ale nivelurilor respective; k este constanta lui Boltzmann. Pentru stările energetice nedegenerate, $g_1/g_0 = 1$.

Raportul densităților de ocupare a unor niveluri energetice pentru o anumită temperatură va fi influențat de diferența $\Delta E = E_1 - E_0$, între energiile corespunzătoare acestora. La temperatură obișnuită starea fundamentală (starea cu energia cea mai mică) este în general mult mai populată decât celelalte stări energetice.

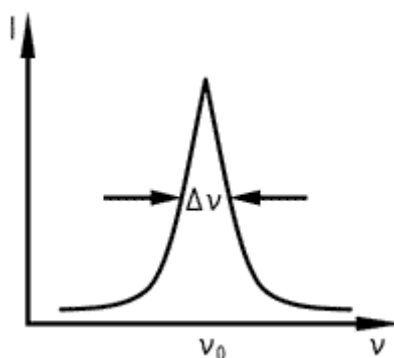


Fig. 1.2. Profilul unei linii spectrale

Interacții elastice (cvasielastice)

În urma interacțiilor elastice ale radiației electromagnetice și corpusculare cu particulele probei de analizat, nu au loc modificări ale energiei cinetice a radiației și deci a frecvenței sale, ci numai o schimbare a direcției de propagare, care este funcție de natura probei. Energia internă și structura probei nu se modifică în urma acestor interacții. Interacțiile elastice pot fi descrise pe baza proprietăților de undă ale radiației electromagnetice. Din interacțiile elastice fac parte reflexia, refracția, difuzia, difracția etc.

În tabelul 1.2 sunt date unele interacții elastice ce pot avea loc între radiația electromagnetică și corpusculară și particulele probei de analizat și metodele de analiză corespunzătoare:

Tabelul 1.2. Interacții elastice și metodele de analiză corespunzătoare.

Radiația electromagnetică sau corpusculară	Metode de analiză
Radiații din domeniul vizibil	Microscopie optică Refractometrie Nefelometrie Turbidimetrie Polarimetrie
Radiații X	Difracția razelor X
Electroni	Difracția electronilor *Microscopie electronică
Ioni	Reflexia ionilor *Microscopie ionică
Neutroni	Difracția neutronilor

*Microscopia electronică și ionică se bazează pe interacții cvasielastice ale particulelor probei cu fascicule de electroni sau ioni.

Metodele de analiză bazate pe interacții elastice ale radiației cu proba de analizat nu fac parte din cadrul metodelor spectrometrice de analiză, neavând loc practic un schimb de energie între acestea.

1.1.3. Emisia și absorbția atomică a radiației

1.1.3.1. Emisia și absorbția atomică a radiației în domeniul ultraviolet și vizibil

Emisia și absorbția radiației de către atomi în domeniul ultraviolet (abreviat UV) și vizibil se datorează unor tranziții între stări energetice ale electronilor periferici. Energia radiațiilor emise sau absorbite are valori discrete. Frecvența acestor radiații este funcție de diferența, ΔE , între stările energetice între care are loc tranziția:

$$\Delta E = h\nu = h \frac{c}{\lambda} = hc\tilde{\nu} \quad (1.10)$$

unde:

c este viteza luminii (în vid $\sim 3 \cdot 10^{10}$ cm/s) și $\tilde{\nu}$, este numărul de undă exprimat în cm^{-1} .

Fiecare tranziție corespunde unei anumite linii spectrale atât pentru absorbție cât și pentru emisie.

Mișcarea unui electron în jurul nucleului și în jurul axei sale este caracterizată prin cele patru numere cuantice: n , l , m și s ; n , număr cuantic principal, l , număr cuantic secundar, m , număr cuantic magnetic și s , număr cuantic de spin. Se mai folosește și numărul cuantic intern, $j = l \pm s$, care nu are un caracter de sine stătător.

La atomii cu mai mulți electroni în învelișul exterior are loc o însumare vectorială a momentelor cinetice orbitale și de spin. Aceasta datorită interacției spin-orbită și interacției dintre electroni. Starea energetică a atomului va fi caracterizată prin numerele cuantice totale L , S și J . L este numărul cuantic secundar total rezultând din însumarea numerelor cuantice care caracterizează momentele cinetice orbitale ale electronilor și corespunde momentului cinetic orbital total al atomului. S , numărul cuantic de spin total, se obține prin însumarea algebrică a spinilor tuturor electronilor și corespunde momentului cinetic de spin total al atomului. J este dat de $L \pm S$ și reprezintă numărul cuantic intern total, corespunzând momentului cinetic total al atomului. Diferitele valori ale lui J vor determina scindarea nivelurilor energetice ale atomului; aceste niveluri, ce au energii diferite, se numesc termeni spectrali.

Regulile de selecție ne dau posibilitățile tranzițiilor electronice, ele nu au caracter absolut, ci ne indică tranzițiile care au loc cel mai probabil și deci vor da naștere liniilor celor mai intense. Regulile de selecție sunt:

$$\Delta L = \pm 1 \text{ și } \Delta J = 0, \pm 1 \text{ (tranziția } 0 \leftrightarrow 0' \text{ interzisă)}$$

În diagramele Grotrian sunt prezentate schematic nivelurile energetice ale unui atom și tranzițiile electronice ce pot avea loc.

În fig. 1.3 este prezentată mult simplificat diagrama Grotrian pentru magneziu. Pe verticală este reprezentată energia. Nivelurile energetice sunt figurate sub forma unor linii orizontale. În partea superioară sunt trecute simbolurile prin care sunt notate stările energetice ale termenilor spectrali. Literele S , P și D corespund lui $L = 0, 1$ și 2 . În partea din stânga sus a literelor este trecută valoarea $2S + 1$ numită multiplicitatea liniei spectrale, iar în dreapta jos valoarea lui J . Emisia unei linii spectrale se datorează unei tranziții de la un nivel de energie mai mare la unul cu energie mai mică. Absorbția reprezintă fenomenul invers.

Liniile spectrale pentru care unul din nivelurile energetice este starea fundamentală se numesc linii de rezonanță. Din punct de vedere analitic, de mare importanță sunt liniile de rezonanță ce apar în urma tranzițiilor între starea fundamentală și primul nivel excitat, ele fiind, în general, cele mai intense. Pentru excitarea liniilor de rezonanță este nevoie de o energie destul de mare, astfel că numai puțini atomi ce au electroni de valență labili pot emite sau absorbi în domeniul vizibil, cum este cazul metalelor alcaline.

Pentru majoritatea metalelor este însă nevoie de o energie mai mare pentru a excita liniile de rezonanță, linii caracteristice unor energii ce corespund domeniului UV al spectrului. Pentru metale este nevoie de energii și mai mari, corespunzând domeniului UV de vid, $\lambda < 200$ nm, domeniu spectral mai greu accesibil. Din acest motiv, spectrometria de emisie sau absorbție atomică se aplică în special pentru analiza elementelor cu caracter metalic.

Numărul de linii spectrale pentru un element depinde de numărul tranzițiilor electronice, care evident este dat de numărul și așezarea electronilor periferici (de valență). Atomii cu un număr redus de electroni periferici, de exemplu metalele alcaline, prezintă spectre cu un număr redus de linii, elementele cu structură complexă a învelișului de electroni exterior, de exemplu metalele tranziționale, vor prezenta spectre bogate în linii.

Un atom nu poate absorbi decât radiațiile pe care, în anumite condiții, le poate emite. Emisia atomică se datorează atomilor aflați în stare excitată. Aceștia, prin revenire la stări cu energie mai mică, emit radiații caracteristice. Aceleași radiații pot fi absorbite de către aceleași specii atomice aflate în stări cu energie

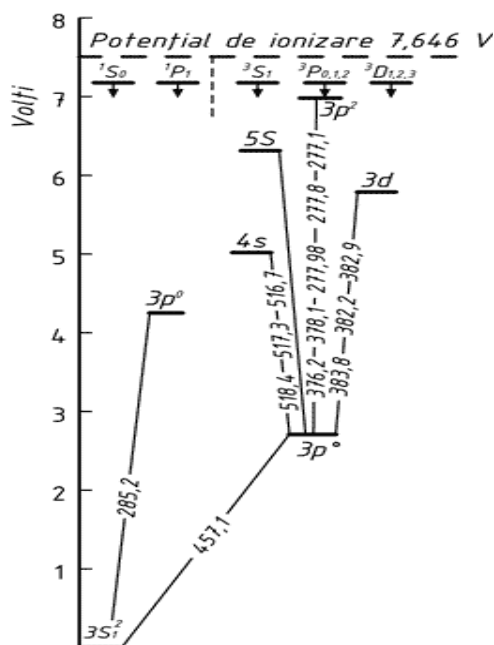


Fig. 1.3. Diagrama Grotrian pentru magneziu. Lungimile de undă ale radiațiilor emise sau absorbite sunt date în nm.

mai mică, acestea trecând astfel în stări excitate.

Emisia atomică în vizibil și UV stă la baza spectrometriei de emisie în flacără și plasmă, precum și la baza spectrometriei de emisie în arc și scânteie electrică, iar absorbția radiației stă la baza spectrometriei de absorbție atomică.

1.1.3.2. Emisia și absorbția razelor X

Razele X se obțin în urma unor interacții neelastice între atomi și fascicule de particule (de obicei electroni) sau radiații (eventual tot raze X) care au o energie mai mare decât cea necesară expulzării unor electroni din straturile interne ale atomilor. Locurile rămase libere sunt apoi ocupate de electroni mai îndepărtați de nucleu. Aceste tranziții sunt însoțite de emisie de raze X, ce au o energie, $\Delta E = h\nu$, reprezentând diferența între cele două niveluri energetice ale electronilor. La emisia de raze X variază în primul rând numărul cuantic principal. Lungimile de undă ale acestor radiații sunt cuprinse între 0,01 și 10 nm.

Spectrele de raze X ale elementelor au mai puține linii, sunt mai simple și mai ușor de interpretat decât spectrele corespunzătoare din domeniul vizibil și UV. Aceasta se explică prin numărul mai redus de electroni care populează nivelurile energetice între care au loc tranziții cu emisie de raze X, straturile interioare de electroni ale atomilor având o structură mai simplă decât cele exterioare.

După cum se vede din fig. 1.4 din punct de vedere energetic, există un singur nivel K, electronii L sunt grupați în trei niveluri (subniveluri) iar electronii din stratul M (complet) în 5 subniveluri.

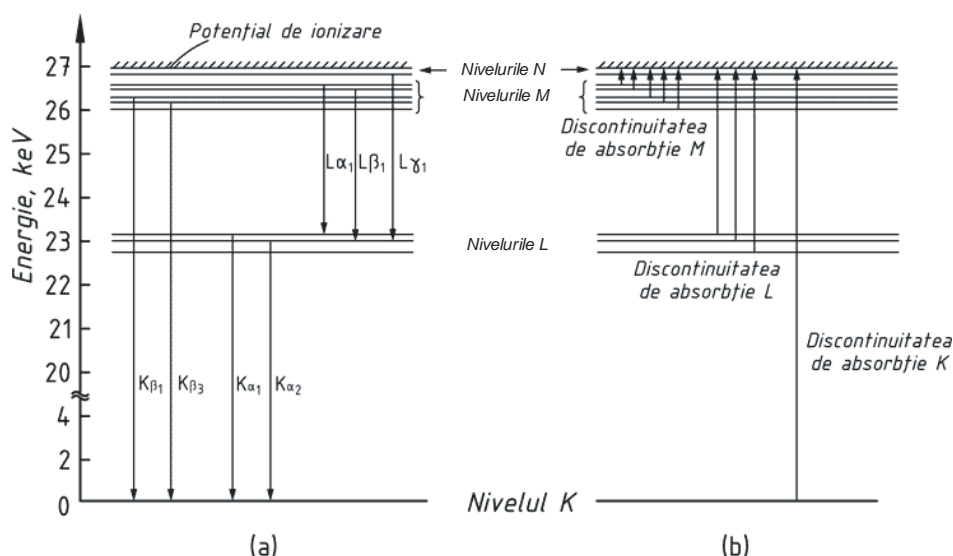


Fig. 1.4. Diagrama nivelurilor energetice ale cadmiului pentru tranziții de raze X.
(a) emisie de raze X; (b) absorbție de raze X.

Frecvența radiațiilor X emise de un element poate fi calculată pe baza relației

dată de Moseley:

$$\nu = R(Z - \sigma)^2 \left(\frac{1}{n_1^2} - \frac{1}{n_2^2} \right) \quad (1.11)$$

unde R este constanta lui Rydberg, Z numărul de ordine al elementului respectiv, σ este o constantă de ecranare (datorită învelișurilor exterioare de electroni), iar n_2 și n_1 sunt numerele cuantice principale ale nivelurilor între care are loc tranziția. Relația (1.11) ne indică faptul că radiațiile X emise de elementele grele au energii mai mari, frecvența radiațiilor X corespunzând unui anumit tip de tranziție crescând cu pătratul numărului de ordine.

Emisia de raze X în care pentru excitare se folosesc fascicule de electroni are mai puține aplicații analitice; mult mai utilizată este fluorescența de raze X în care pentru excitare se folosesc radiații X cu energie mare, pe baza spectrelor obținute putându-se face atât o analiză calitativă, cât și una cantitativă.

La absorbția radiațiilor X de către atomi nu vor apărea linii de absorbție, cum se întâmplă la absorbția radiațiilor din domeniul vizibil și UV. În spectru apar numai anumite discontinuități, la anumite lungimi de undă, caracteristice atomului respectiv.

Aceasta se datorează faptului că la o tranziție de raze X electronul este complet îndepărtat din atom, locul rămas liber fiind ocupat de electroni cu numere cuantice mai mari (deci mai îndepărtați de nucleu). Pe măsură ce energia radiațiilor incidente crește, sunt ionizați electroni din straturi din ce în ce mai apropiate de nucleu. Pentru fiecare nivel și subnivel ocupat cu electroni va exista o energie limită a radiației incidente, sub care nu se va putea expulza electroni din acesta (fig. 1.4b). Peste această limită radiația va fi absorbită în mod accentuat, apărând o discontinuitate în spectrul de absorbție (fig. 1.5). Poziția discontinuității în spectru este caracteristică unui element și corespunde energiei minime a radiației ce expulzează electronul din nivelul sau subnivelul respectiv. Vor putea fi absorbite și radiații cu energie mai mare, surplusul de energie fiind cedat electronului expulzat sub formă de energie cinetică.

Absorbția unui fascicul monocromatic de radiații X este dată de relația de mai jos (care este discutată pe larg în cap. 1.7.1):

$$I = I_0 e^{-\mu l} \quad (1.12)$$

unde:

I este intensitatea radiației transmise printr-o probă omogenă de grosime l , exprimată în cm, I_0 este intensitatea radiației incidente, iar μ este coeficientul liniar de absorbție exprimat în cm^{-1} . Coeficientul liniar de absorbție depinde de lungimea de undă a razelor X și de atomii ce absorb radiația.

Coeficientul de absorbție de masă, μ_m , se obține prin împărțirea lui μ la ρ , care este densitatea materialului respectiv:

$$\mu_m = \frac{\mu}{\rho} \quad (1.13)$$

Valoarea lui μ_m este dată de relația:

$$\mu_m = \frac{CNZ^4\lambda^3}{A} \quad (1.14)$$

unde C este o constantă caracteristică pentru un domeniu cuprins între două discontinuități dintr-un spectru de absorbție, N este numărul lui Avogadro, Z este numărul de ordine, A este masa atomică a elementului absorbant iar λ este lungimea de undă a radiației absorbite.

Este de remarcat faptul că μ_m nu depinde de starea fizică sau chimică a speciei absorbante. El este o mărime aditivă pentru un compus sau amestec, fiind dat de relația:

$$\mu_{mt} = \mu_{m1} \cdot w_1 + \mu_{m2} \cdot w_2 + \dots \quad (1.15)$$

unde μ_{mt} reprezintă coeficientul de absorbție de masă total, μ_{m1} , μ_{m2} , ... coeficienți de absorbție pentru componenții individuali, iar w_1 , w_2 etc. sunt fracțiile corespunzătoare de greutate. Reprezentând $\log \mu_m$ funcție de $\lg \lambda$ nu vom obține o dreaptă, ci o serie de segmente de dreaptă cu aceeași pantă, legate prin discontinuitățile caracteristice, după cum se vede în fig. 1.5.

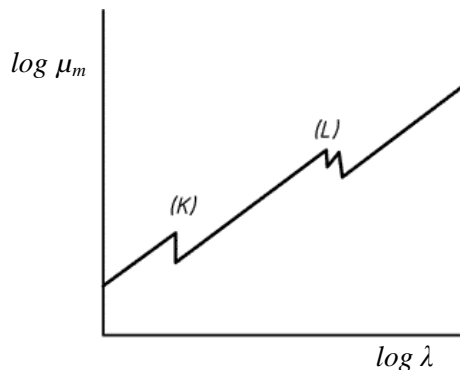


Fig. 1.5. Absorbția radiațiilor X de către o specie atomică.

Aceste discontinuități sunt corespunzătoare nivelurilor energetice ale electronilor din straturile K, L, M, Pe baza poziției acestora în spectrul de absorbție se poate face o analiză calitativă, iar pe baza înălțimii lor se poate face o analiză cantitativă. Metodele de analiză bazate pe absorbția razelor X nu au aplicații prea largi. Pot fi utilizate însă cu bune rezultate pentru determinarea unor

elemente cu număr atomic mare într-o matrice ce conține elemente ușoare. Astfel, poate fi determinat plumbul prezent sub formă de tetraetil plumb sau bromul prezent sub formă de derivați bromurați în benzine.

1.1.4. Absorbția, emisia și difuzia moleculară a radiației

La interacția moleculelor cu un fascicul de radiații pot să aibă loc mai multe fenomene dintre care discutăm următoarele:

Absorbția radiației

În urma absorbției de energie se poate modifica direcția sau mărimea momentului de dipol electric al moleculei care interacționează. Vor avea loc tranziții între stări energetice de rotație, vibrație sau electronice, al căror studiu constituie baza spectrometriei moleculare.

Emisia radiației

Din stările excitate apărute în urma interacției moleculelor cu radiații electromagnetice, o parte dintre acestea pot reveni la stări cu energie mai mică prin emisie de energie. Acesta constituie fenomenul de fluorescență și fosforescență.

Difuzia radiației și difuzia combinată a radiației (efectul Raman)

Prin spectrometrie moleculară optică se înțelege de obicei spectrometria electronică și de vibrație și este studiată prin metode ale spectrometriei de emisie și de absorbție în domeniul UV, vizibil și infraroșu (abreviat IR) al spectrului.

În urma absorbției radiației de către molecule pot avea loc tranziții însoțite de o modificare a momentului magnetic al electronilor sau nucleelor, de studiul acestor fenomene ocupându-se spectrometria de rezonanță magnetică.

Pentru energii mari ale radiației absorbite poate să aibă loc o ionizare sau o fragmentare a moleculelor, separarea și identificarea moleculelor ionizate sau a fragmentelor acestora constituind baza spectrometriei de masă.

În continuare vom discuta absorbția, emisia și difuzia moleculară a radiațiilor în domeniul UV, vizibil și IR al spectrului, principiile spectrometriei de rezonanță magnetică și ale spectrometriei de masă urmând să fie discutate în capitole separate.

1.1.4.1. Absorbția radiației de către molecule

Absorbția radiației electromagnetice de către molecule este mult mai complexă decât absorbția de către atomii individuali. Starea energetică a unei molecule include componente electronice, de vibrație și rotație. Toate aceste componente energetice sunt cuantificate.

Diferențele de energie între nivelurile electronice moleculare sunt mult mai mari decât între stările de vibrație și diferențele de energie între stările de vibrație sunt semnificativ mai mari decât între stările de rotație. În mod obișnuit, la

absorbția radiației electromagnetice de către molecule, aceasta interacționează prin componenta sa electrică. Pentru ca radiația să poată fi absorbită, ea trebuie să aibă energia egală cu diferența între două niveluri energetice ale moleculei și în plus, tranziția moleculară trebuie să fie însoțită de o modificare a poziției centrului ei electric, a momentului de dipol. Numai astfel, molecula poate interacționa cu componenta electrică a radiației electromagnetice.

Energiile necesare pentru a provoca tranziții între stări energetice ale electronilor din orbitalii moleculari sunt cele mai mari și corespund domeniului vizibil, 400-800 nm și UV 100-400 nm. Pentru a putea provoca tranziții între stări energetice de vibrație sunt necesare energii mai mici, deci vor fi absorbite radiații cu lungimi de undă mai mari, corespunzând domeniului IR. Tranzițiile între stări energetice de rotație vor fi excitate de radiații cu energie mai mică, corespunzătoare domeniului IR îndepărtat și microundelor. Spectrele pure de rotație au aplicații analitice reduse și din acest motiv nu vor fi discutate în continuare.

1.1.4.1.a. Tranziții electronice moleculare

Atunci când doi atomi formează o legătură covalentă, electronii ce participă la legatura dintre cei doi atomi ocupă un nou orbital, un orbital molecular. Are loc o combinare a doi orbitali atomici pentru a forma un orbital molecular “*de legătură*” de energie mică și un orbital molecular “*de antilegătură*” cu energie mult mai mare. Astfel, conform teoriei orbitalilor moleculari, fiecare orbital σ de legătură trebuie să aibă un orbital corespunzător de antilegătură σ^* și fiecare orbital de legătură π trebuie să aibă un orbital corespunzător de antilegătură π^* .

Electronii de valență care nu participă la legături chimice în moleculă sunt numiți electroni de nelegătură “*n*”. Electronii *n* se găsesc de exemplu în orbitalii atomici ai azotului, oxigenului, sulfurii etc.

Tranzițiile electronice pentru molecule au loc la absorbția radiației din domeniul vizibil sau ultraviolet de către electroni aflați în orbitali *n*, σ sau π . Aceștia sunt trecuți în orbitali de antilegătură care au energii mai mari. Pot să aibă loc următoarele tranziții: $\sigma \rightarrow \sigma^*$, $n \rightarrow \sigma^*$, $n \rightarrow \pi^*$ și $\pi \rightarrow \pi^*$ (fig. 1.6). Valorile

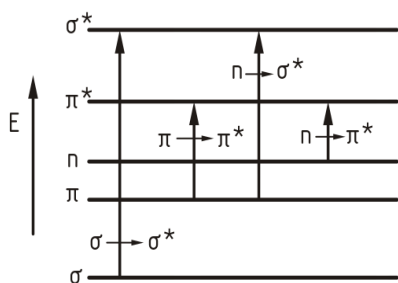


Fig. 1.6. Nivelurile de energie ale orbitalilor moleculari

ΔE pentru aceste tranziții cresc în ordinea: $n \rightarrow \pi^* < \pi \rightarrow \pi^* < n \rightarrow \sigma^* < \sigma \rightarrow \sigma^*$. Energiile necesare pentru tranziții $\sigma \rightarrow \sigma^*$ sunt cele mai mari. Compuși ca de exemplu hidrocarburile saturate care nu au electroni *n* și numai legături σ nu absorb radiația decât în UV îndepărtat (de vid). Astfel, propanul absoarbe radiație la 135 nm.

Dintre compuși care prezintă tranziții de tipul $n \rightarrow \sigma^*$ putem menționa clorura de metil ($\lambda_{\max} = 173$ nm) și trimetilamina ($\lambda_{\max} = 227$ nm).

Tranzițiile cu energia cea mai mică sunt $n \rightarrow \pi^*$. De exemplu cetonele și aldehidele saturate prezintă absorbție datorită unei tranziții $n \rightarrow \pi^*$ la aproximativ 285 nm.

Este de reținut însă faptul că tranzițiile electronice sunt însoțite în cele mai multe cazuri de tranziții între stări energetice de vibrație și rotație (fig. 1.7) ceea ce conferă o structură fină benzilor de absorbție electronică. Această structură nu se poate observa decât pentru anumite tipuri de molecule. Frecvent, benzile de absorbție datorită vibrației și rotației (ce însoțesc o tranziție electronică) se contopesc, dând naștere unei benzi de absorbție late. Tranziția electronică determină poziția acestei benzi în spectru, iar tranzițiile de vibrație și rotație lătimea ei.

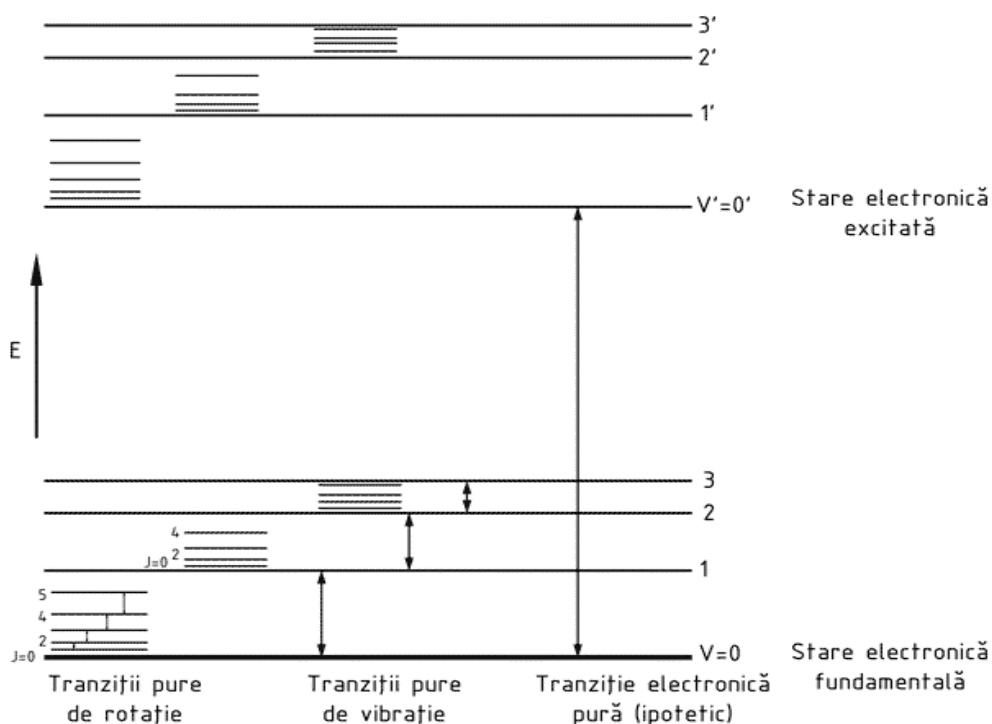


Fig. 1.7. Tranziții între stări energetice de rotație, vibrație și electronice în molecule.

Frecvent, în urma unei tranziții electronice se modifică în mare măsură geometria moleculei față de starea inițială, aceasta datorită slăbirii legăturii la care participă electronul ce a trecut pe nivelul excitat.

Tranzițiile electronice au loc într-un timp foarte scurt (10^{-15} s) corespunzând perioadei de oscilație a radiației electromagnetice, perioadă în care fotonul și molecula sunt în contact. Acest timp este mult mai scurt decât perioada de vibrație a atomilor ($10^{-10} - 10^{-13}$ s). Se poate considera deci, că în timpul tranziției electronice nucleele nu-și schimbă practic poziția, iar moleculele excitate

electronice pot fi considerate imediat după tranziție într-o geometrie practic identică cu a stării lor fundamentale. Din acest motiv, tranzițiile electronice pot fi reprezentate sub forma unor linii verticale într-o diagramă energetică (fig. 1.8). Principiul Frank-Condon ne indică probabilitățile tranzițiilor de vibrație care însoțesc tranzițiile electronice. Tranzițiile sunt cele mai probabile în momentele în care molecula adoptă în cursul vibrațiilor o geometrie comună stării fundamentale și a celei excitate.

Să considerăm o moleculă în stare fundamentală. Deoarece aceasta vibrează chiar când se află pe nivelul de vibrație cel mai coborât, trebuie considerat un domeniu al distanței internucleare. Se poate considera că cea mai probabilă distanță internucleară va fi însă cea corespunzătoare poziției de echilibru, amplitudinea vibrațiilor fiind mică. Pentru stări vibraționale cu energie mai mare, cea mai probabilă poziție a nucleelor este la sfârșitul vibrațiilor, când atomii se opresc și își schimbă direcția.

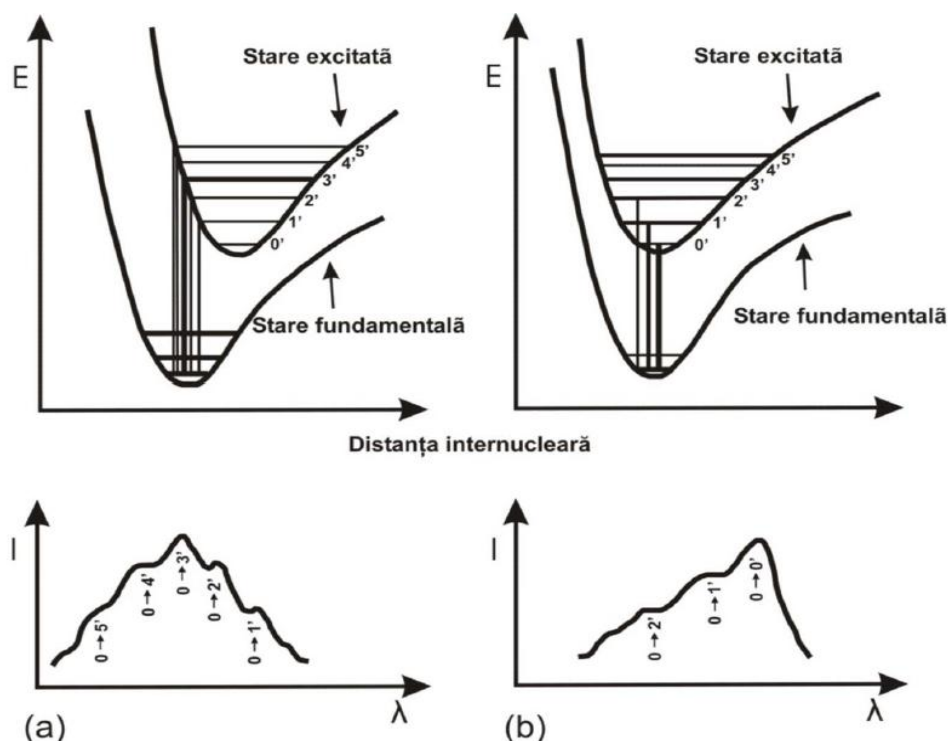


Fig. 1.8. Tranziții electronice însoțite de tranziții de vibrație conform principiului Frank-Condon și spectrele de absorbție corespunzătoare: (a) – cu slăbirea legăturii; (b) – fără slăbirea legăturii.

După cum se vede în fig. 1.8b, atunci când nu se modifică distanța între nucleee în urma excitării electronice (nu se modifică tăria legăturii) sunt mai

probabile tranzițiile pe nivelul de vibrație fundamental. În cazul slăbirii legăturii în urma excitării electronice, fig. 1.8a, vor fi mai probabile tranzițiile pe niveluri de vibrație mai înalte.

1.1.4.1.b. Tranziții de vibrație moleculară

Atomii în molecule nu sunt statici. În mod normal sunt o multitudine de vibrații asociate acestora. Frecvențele de vibrație depind de masele atomilor și tăria legăturilor. Toate sunt vibrații normale la care participă toți atomii dintr-o moleculă. La unele vibrații energia este concentrată în anumite legături ceea ce le face caracteristice pentru anumite grupări de atomi.

Există două tipuri principale de vibrații:

- *de întindere*, numite și vibrații de valență întrucât au loc de-a lungul legăturii. Se notează cu ν .
- *de deformare*, prin care se deformează unghiul valențelor. Se notează cu δ .

Vibrațiile de întindere sunt fie vibrații izolate (de ex. în gruparea carbonil), fie sunt vibrații cuplate (de ex. în gruparea metilen). Vibrațiile cuplate sunt simetrice sau antisimetrice, după cum se vede în fig. 1.9.

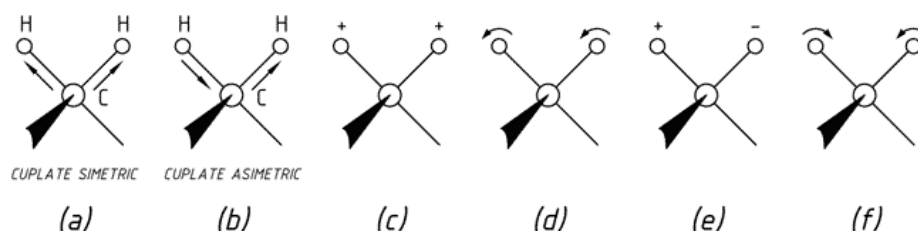


Fig. 1.9. Vibrații de întindere (a) și (b) și de deformare (c), (d), (e) și (f).

Vibrațiile de întindere necesită, în general, energii mai mari decât vibrațiile de deformare și în consecință, absorbția radiațiilor electromagnetice are loc pentru frecvențe mai mari.

Pentru o moleculă poliatomică, fiecare tip de vibrație are o frecvență definită. Energiile corespunzătoare vibrațiilor moleculare sunt cuantificate. Atunci când o radiație electromagnetică cu aceeași frecvență cu cea corespunzătoare vibrației unor atomi într-o legătură vine în contact cu aceasta, poate să aibă loc absorbția radiației. Absorbția are loc numai dacă atomii care vibrează în cadrul legăturii determină apariția unui moment de dipol oscilant care poate interacționa cu câmpul electric al radiației. Vor absorbi radiații în domeniul IR al spectrului numai acele vibrații pentru care are loc o variație a momentului de dipol.

În procesul de absorbție are loc o mărire a amplitudinii uneia dintre vibrațiile moleculare. Când molecula revine la starea fundamentală energia absorbită este disipată sub formă de căldură.

Vibrațiile pe care le execută o moleculă în ansamblul ei cu păstrarea imobilă a centrului său de masă se numesc vibrații normale sau fundamentale. O moleculă neliniară, având n atomi, are un număr de $3n-6$ vibrații normale. O moleculă liniară cu n atomi are $3n-5$ vibrații normale. Numărul real de benzi de absorbție din spectru poate fi mai mare sau mai mic (de obicei este mai mic) decât cel rezultat din relația de mai sus. Creșterea numărului de benzi față de cel teoretic se datorează armonicelor, benzilor de combinare sau rezonanței Fermi. Armonicile sunt benzi de intensitate mică ce apar la un număr de undă dublu, triplu etc. față de banda fundamentală. Benzile de combinare sunt benzi de intensitate mică care apar la numere de undă egale cu diferența sau cu suma a două vibrații fundamentale. Rezonanța Fermi constă în scindarea unei benzi fundamentale atunci când în imediata ei vecinătate se găsește o armonică sau o bandă de combinare.

Frecvența corespunzătoare unui sistem format din doi atomi care vibrează în cadrul legăturii poate fi calculată pe baza legii mișcării armonice simple și este dată de relația:

$$\nu = \frac{1}{2\pi} \sqrt{\frac{f}{\mu}} \quad (1.16)$$

unde: f este constanta de forță și μ masa redusă a sistemului $\mu = m_A m_B / (m_A + m_B)$ unde m_A și m_B reprezintă masele nucleelor celor doi atomi. Pe baza legilor mecanicii cuantice se obțin pentru un oscilator armonic următoarele stări energetice discrete:

$$E(\nu) = h\nu \left(\nu + \frac{1}{2} \right) = \frac{h}{2\pi} \sqrt{\frac{f}{\mu}} \left(\nu + \frac{1}{2} \right); \quad \tilde{\nu} = \frac{1}{2\pi c} \sqrt{\frac{f}{\mu}} \left(\nu + \frac{1}{2} \right) \quad (1.17)$$

$\nu = 0, 1, 2, \dots$ numere cuantice de vibrație. Regula de selecție va fi: $\nu = \pm 1$.

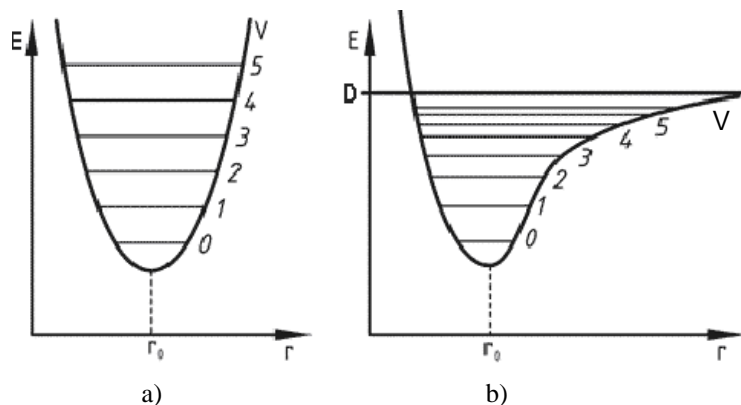


Fig. 1.10. Curbe de energie potențială pentru un oscilator armonic, (a), și nearmonic, (b). D – energia de disociere; r_0 – distanța de echilibru între atomi.

În cazul moleculelor nu este îndeplinită o condiție esențială a unui oscilator armonic: valoarea lui f nu este constantă în raport cu elongația iar energia de vibrație a unei legături este dată de relația:

$$E(v) = hv \left(v + \frac{1}{2} \right) - \frac{h^2 v^2}{4D} \left(v + \frac{1}{2} \right)^2 \quad (1.18)$$

unde D este energia de disociere.

În fig. 1.10 se prezintă curbele de energie potențială pentru un oscilator armonic și un oscilator nearmonic. Datorită nearmonicității oscilatorului, regula de selecție $\Delta v = \pm 1$ nu se mai respectă strict, pe lângă vibrația de bază fiind posibile vibrații pentru care $\Delta v = \pm 2, \pm 3, \dots$

Absorbția moleculară în domeniul UV și vizibil este utilizată în special pentru determinări cantitative pe baza legii Lambert Beer, informațiile calitative și structurale care pot fi obținute fiind destul de reduse.

Absorbția moleculară în domeniul IR este utilizată în special pentru determinări calitative, de structură a moleculelor, dar pot fi făcute și determinări cantitative.

1.1.4.2. Emisia radiației de către molecule

În mod asemănător cu atomii, moleculele pot emite radiații care au aceleași lungimi de unda cu cele ale radiațiilor pe care moleculele respective le pot absorbi. La temperatura camerei, moleculele se găsesc, de obicei, în starea fundamentală. Prin încălzirea unei probe la temperaturi în jur de 100°C are loc trecerea moleculelor în stări vibraționale excitate ale stării electronice fundamentale, de pe care pot reveni în stări cu energie mai mică prin emisie de energie. Se obține astfel un spectru de emisie în IR. Radiațiile emise sunt foarte slabe iar ridicarea temperaturii poate duce ușor la descompunerea moleculelor. Din acest motiv această metodă de obținere a spectrelor de emisie ale moleculelor este mai puțin utilizată.

Drept surse de excitare pentru obținerea spectrelor de emisie ale moleculelor se pot folosi cu bune rezultate fascicule de radiații cu energie suficient de mare (fenomenul de fluorescență sau fosforescență moleculară).

Fluorescența și fosforescența

Fluorescența și fosforescența moleculară constau în emisia de radiații de către o moleculă, în urma unui fenomen de absorbție. Absorbția este o condiție necesară dar nu suficientă pentru a avea loc acest fenomen. Excitarea se face cu radiații de o energie mai mare, folosind, de exemplu, radiații din domeniul UV al spectrului iar emisia are loc de obicei în domeniul vizibil. Pentru a explica fluorescența și fosforescența, să considerăm o parte din stările energetice ale unei

molecule, prezentate schematic în fig. 1.11(I) (diagrama Jablonski):

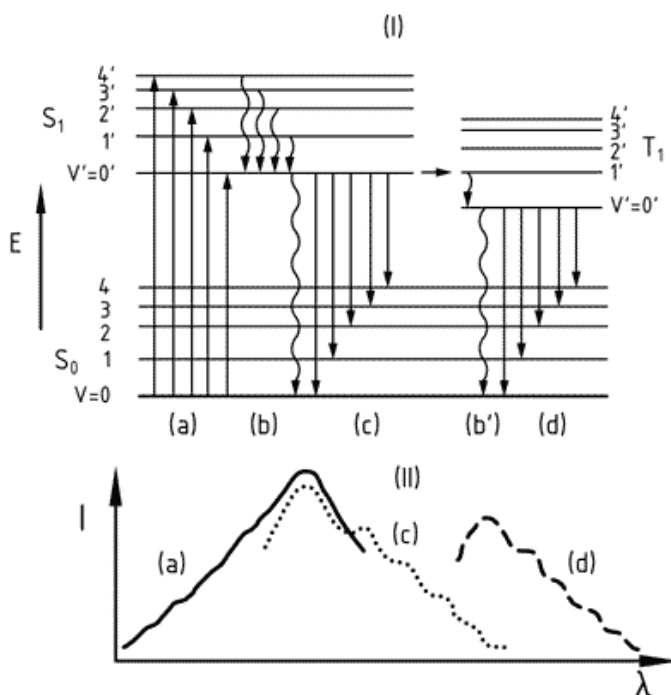


Fig. 1.11. (I) – Diagrama nivelurilor de energie electronică și de vibrație ale unei molecule cu o stare fundamentală de singlet S_0 și stări excitate de singlet, S_1 și triplet T_1 . Tranzițiile neradiative sunt figurate prin linii ondulate: (a) – absorbția radiației, (b, b') – relaxare vibrațională și conversie internă, (c) – fluorescență, (d) fosforescență. (II) – (a) spectru de absorbție; (c) spectru de fluorescență; (d) spectru de fosforescență (la temperatură joasă).

La temperatura obișnuită, cea mai mare parte dintre molecule se găsește pe cel mai coborât nivel de vibrație al stării electronice fundamentale de singlet, S_0 . De asemenea, molecula mai prezintă stările electronice excitate de singlet S_1 și triplet, T_1 .

În starea de singlet, toți electronii dintr-o moleculă sunt cuplați, iar în starea de triplet molecula prezintă doi electroni al căror spin nu este cuplat.

Starea fundamentală a unei molecule este aproape totdeauna o stare de singlet. Deoarece doi electroni necuplați au o energie ceva mai mică decât doi electroni cuplați, starea de triplet are o energie ceva mai mică decât starea corespunzătoare de singlet, după cum se vede din fig. 1.11(I).

Să considerăm un proces de absorbție a radiației (în fig. 1.11 notat cu (a)). Vor avea loc tranziții de pe cel mai coborât nivel de vibrație al stării electronice fundamentale S_0 , pe diferite niveluri de vibrație ale stării electronice excitate (S_1). În continuare, molecula poate pierde energia absorbită în mai multe moduri. Alegerea unei anumite căi depinde de cinetica diferitelor procese competitive. Va fi aleasă calea pentru care timpul de viață al stării excitate va fi cel mai scurt. De

exemplu, molecula ce se află pe un nivel de vibrație excitat al stării electronice excitate poate reveni la starea fundamentală emițând o cantă de energie egală cu diferența între cele două stări energetice. În soluție, acest proces este foarte puțin probabil în comparație cu procesul competitiv de relaxare vibrațională (în fig. 1.11(I) notat cu (b)) care este un proces neradiativ. Într-un timp de ordinul 10^{-12} s, molecula ajunge pe nivelul de vibrație cel mai coborât al stării electronice excitate, fie prin cedarea energiei vibraționale altor molecule, prin ciocniri, fie prin excitarea altor moduri posibile de vibrație sau rotație ale moleculei excitate. În faza gazoasă, relaxarea vibrațională este mai puțin eficientă, frecvent având loc emisia de radiații cu energie egală cu cea absorbită. Acest proces se numește fluorescență de rezonanță și este important în cazul fluorescenței atomice.

Datorită vitezei mari a procesului de relaxare vibrațională, cele mai multe molecule excitate în soluție vor ajunge la nivelul de vibrație cel mai coborât al stării excitate de singlet. Din această stare, molecula poate reveni la starea fundamentală în mai multe moduri, printre care este și emisia de energie radiantă. Pierderea radiativă de energie prin revenirea pe diferite niveluri de vibrație ale stării electronice fundamentale se numește fluorescență. Acest proces decurge într-un timp foarte scurt, 10^{-7} până la 10^{-9} s. Întrucât revenirea la starea fundamentală se face de pe cel mai coborât nivel de vibrație al stării electronice excitate, forma benzii de fluorescență nu va depinde practic de lungimea de undă a radiației excitatoare, deși intensitatea radiației de fluorescență este determinată de intensitatea radiației excitatoare.

O serie de alte forme de pierdere de energie pot fi competitive cu fluorescența și din acest motiv este necesar să folosim un factor de corecție numit randament cuantic de fluorescență.

Deoarece fluorescența aproape întotdeauna apare după o anumită pierdere de energie, lungimile de undă ale radiațiilor de fluorescență vor fi mai mari decât ale radiațiilor absorbite, după cum se vede din fig. 1.11(II)(c). Pentru un mare număr de molecule, banda de fluorescență este imaginea în oglindă a benzii de absorbție, curbele (II)(c) și (II)(a) din fig. 1.11. Intensitatea radiațiilor absorbite sau emise depinde de probabilitatea tranzițiilor între nivelurile energetice ale moleculei. Din fig. 1.8b se poate constata că atunci când la excitarea electronică nu are loc o modificare a tăriei legăturii, probabilitatea tranzițiilor de absorbție din starea fundamentală scade în ordinea: $0 \rightarrow 0' > 0 \rightarrow 1' > 0 \rightarrow 2' > 0 \rightarrow 3'$. Probabilitatea pentru tranzițiile de fluorescență care au loc de pe cel mai coborât nivel de vibrație al stării electronice excitate de singlet $0'$, pe diferite niveluri de vibrație a stării electronice fundamentale, va descrește în ordinea: $0' \rightarrow 0 > 0' \rightarrow 1 > 0' \rightarrow 2 > 0 \rightarrow 3$. Aceasta va determina un aspect al benzilor de absorbție și emisie ca cel prezentat în fig. 1.11(II)(c) și (II)(a), pentru care maximele de absorbție și de emisie sunt la aceeași lungime de undă.

Dacă însă în urma excitării electronice se modifică tăria legăturii, deci și distanța între nuclee, atunci cea mai probabilă tranziție de absorbție va fi cea din starea fundamentală ($v=0$) pe un anumit nivel de vibrație (de exemplu $v' = 3'$) al

stării electronice excitate, după cum se vede din fig.1.8a, toate celelalte tranziții având o probabilitate mai mică.

Tranziția de fluorescență cea mai probabilă, deci cu intensitatea cea mai mare, va avea loc de pe nivelul $v' = 0'$ a stării electronice excitate, pe un anumit nivel de vibrație cu numărul cuantic $v = v'$ al stării electronice fundamentale, dat de intersecția verticalei ce unește mijlocul segmentului ce ne indică valoarea energiei pentru $v' = 0'$ și curba de energie potențială pentru starea electronică fundamentală.

Toate celelalte tranziții vor avea o probabilitate mai mică. Notând cu a' respectiv cu a nivelurile de vibrație ale stării electronice excitate și fundamentale, putem spune că tranzițiile de absorbție $0 \rightarrow a'$ vor avea aceeași probabilitate cu tranzițiile de emisie $0' \rightarrow a$, ceea ce va face ca spectrul de emisie să fie imaginea în oglindă a spectrului de fluorescență. Maximul benzii de fluorescență va fi însă deplasat la lungimi de undă mai mari față de cel de absorbție.

Din starea excitată de singlet, molecula poate reveni la starea fundamentală și prin conversia internă a energiei în energie termică, proces neradiativ, sau prin conversia intersistem, prin schimbarea spinului unui electron din starea excitată de singlet, ducând la o altă stare excitată, de triplet, T_1 . În starea de triplet, relaxarea vibrațională va fi, de asemenea, foarte rapidă. Deoarece conversia intersistem este un proces de spin interzis, deci relativ puțin probabil, va fi competitivă cu fluorescența și conversia internă, numai pentru anumite molecule. Orice tranziție din starea de triplet T_1 la starea fundamentală este de asemenea, un proces de spin interzis. Din acest motiv, durata de viață a stării de triplet este relativ lungă, $10^{-6} - 10$ s.

Dacă pierderea de energie se face în continuare radiativ, molecula revenind la starea fundamentală pe diferite niveluri de vibrație ale stării electronice corespunzătoare acestei stări, are loc fenomenul de fosforescență. Fosforescența se studiază la temperaturi foarte joase de ex. la temperatura azotului lichid, la aceste temperaturi crescând probabilitatea tranzițiilor radiative. Revenirea la starea fundamentală se poate face și neradiativ, prin conversie internă. Din cauza caracterului de spin interzis, fosforescența are loc într-un timp mai lung, egal cu timpul de viață al stării de triplet.

Lungimile de undă ale radiațiilor emise în urma fenomenului de fosforescență vor fi mai mari decât cele ale radiațiilor de fluorescență (fig. 1.11(II)(d)) deoarece starea de triplet are o energie mai mică decât starea de singlet.

Pentru anumite tipuri de molecule se poate reveni din starea de triplet T_1 pe nivelul S_1 (prin șocuri termice) emițându-se apoi cu întârziere spectrul de fluorescență. Radiațiile de fosforescență emise în acest mod vor avea aceeași lungime de undă ca cele de fluorescență. Și în cazul fosforescenței putem vorbi de un randament cuantic de fosforescență care, în general, este cu atât mai mare cu cât temperatura este mai mică. Din acest motiv, probele de analizat se răcesc frecvent la temperatura azotului lichid.

1.1.4.3. Difuzia radiației, efectul Raman

Spre deosebire de absorbție și emisie, difuzia radiației nu implică tranziții între stări cu energie cuantificată ale unei particule.

Dacă un fascicul de radiații electromagnetice vine în contact cu o particulă (atom, ion sau moleculă) care este mică în comparație cu lungimea de undă a radiației, aceasta va fi supusă unei perturbații puternice, determinată de câmpurile oscilante, magnetic și electric ale radiației. În timp ce radiația trece, particula se va găsi într-un câmp puternic a cărui polaritate alternează cu frecvența oscilației. Dacă particula este polarizabilă, sarcina indusă va oscila de asemenea. Dipolul oscilant indus în particulă va produce un câmp propriu care oscilează cu aceeași frecvență cu cea a radiației incidente. Acest câmp acționează el însuși ca o sursă de radiații, astfel că o radiație de aceeași lungime de undă ca a celei incidente este emisă într-o direcție aleatoare (radiațiile difuzate fiind emise în toate direcțiile posibile). Acest tip de împrăștiere se numește difuzie (împrăștiere) Rayleigh și este caracteristică pentru particule de dimensiuni mici, ca de exemplu atomi și molecule.

Pentru ca o radiație să fie difuzată prin efect Rayleigh este necesar ca polarizabilitatea particulei să rămână constantă. Dacă polarizabilitatea particulei variază în timpul difuziei radiației frecvența radiației difuzate se va modifica.

Să presupunem că o moleculă suferă o schimbare de polarizabilitate în timpul unei vibrații normale. Un asemenea mod de vibrație constituie baza pentru efectul Raman, iar vibrația respectivă este Raman activă. De exemplu, la vibrația simetrică de întindere a legăturilor în molecula de CO_2 nu va fi nici o variație a momentului de dipol, deci molecula nu va putea absorbi radiații în domeniul IR. Totuși, norul de electroni din jurul moleculei se întinde și contractă alternativ ceea ce determină o variație a polarizabilității.

Dacă radiația incidentă este monocromatică radiația împrăștiată prin efect Raman își pierde acest caracter, apărând în plus o serie de linii (linii Raman) de o parte și de alta a liniei corespunzătoare lungimii de undă a radiației incidente.

Să considerăm o moleculă aflată inițial în starea fundamentală de vibrație, v_0 , după cum se vede din fig. 1.12. La interacția cu radiația electromagnetică, molecula va fi polarizată, intrând în oscilație. Energia primită suplimentar este E_0 , energia radiației incidente. Molecula nu va fi însă într-o stare excitată în sensul *conventional*, deși energia ei a crescut în urma interacției cu radiația incidentă. Molecula nu a fost excitată pe nici un nivel cuantificat de energie și rămâne cu energia suplimentară numai atâta timp cât trece unda electromagnetică. După trecerea undei, molecula polarizată revine pe un nivel cuantificat de energie vibrațională, încetând să oscileze. Dacă nivelul cuantificat este altul decât cel ocupat inițial de moleculă, v_0 , pierderea de energie E_R va fi mai mică decât energia primită, E_0 . După cum se vede din fig. 1.12A, diferența $E_0 - E_R$ este egală cu diferența de energie între starea de vibrație fundamentală și starea de vibrație excitată. E_v este extrasă din radiația incidentă, astfel încât radiația difuzată va conține o componentă cu frecvența v_R egală cu diferența între frecvența v_0 a

radiației incidente și ν_v a vibrației moleculare active în Raman.

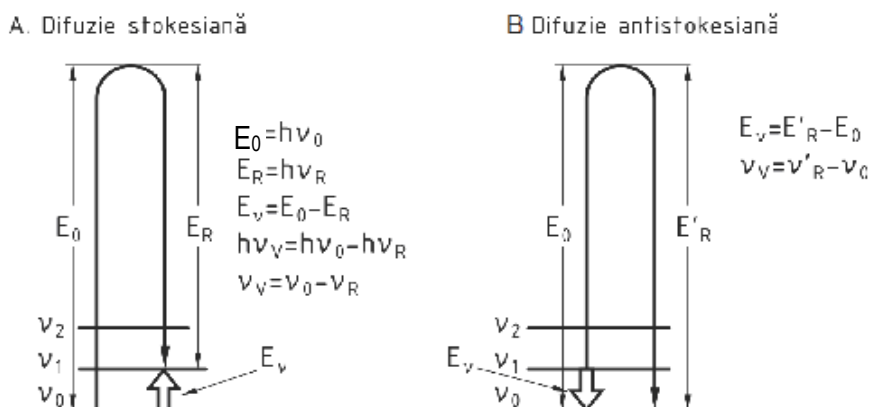


Fig. 1.12. Reprezentarea nivelurilor energetice ale unei molecule și a tranzițiilor corespunzătoare la difuzia radiației prin efect Raman.

Difuzia Raman de către moleculele aflate deja în stări vibraționale excitate este prezentată în fig. 1.12B. În acest caz, molecula se află pe un nivel de excitație vibrațională (de exemplu ν_1). Interacționând cu radiația incidentă, energia ei crește cu valoarea E_0 , egală cu $h\nu_0$. Dacă molecula revine la nivelul de vibrație fundamental, energia pierdută va fi $E_R' = E_0 + E_v$. Frecvența ν_R' a acestei radiații difuzate va fi egală cu suma frecvențelor radiației incidente ν_0 și a vibrației moleculare ν_v .

Deoarece la temperatura obișnuită cele mai multe molecule sunt în stare fundamentală de vibrație, procesul prezentat în fig. 1.12A este mult mai probabil, decât cel prezentat în fig. 1.12B. Liniile Raman cu frecvență mai mică $\nu_0 - \nu_v$, sunt deci mai intense; ele se numesc linii stokesiene, iar liniile Raman $\nu_0 + \nu_v$, cu frecvența mai mare, se numesc antistokesiene, aceasta în conformitate cu regula lui Stokes.

Efectul Raman este aplicabil nu numai tranzițiilor de vibrație ci și altor tranziții care implică o schimbare în polarizabilitate, ca de exemplu tranziții de rotație sau electronice.

Deplasarea Raman a liniilor spectrale este independentă de frecvența radiației incidente folosite, după cum se poate vedea din fig. 1.13. Intensitatea radiației împrăștiată variază însă cu puterea a patra a frecvenței radiației incidente.

Spectrul Raman este, în general, asemănător cu spectrul în IR pentru moleculele complexe. Apar diferențe mari între cele două

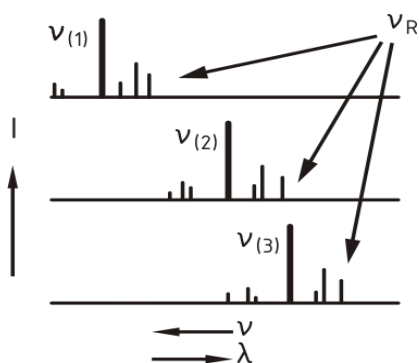


Fig. 1.13. Poziția în spectru a liniilor Raman pentru diferite frecvențe ale radiației excitatoare.

tipuri de spectre în cazul moleculelor cu un centru de simetrie. În spectrul Raman vor fi active vibrațiile simetrice (variație a polarizabilității) iar în spectrul IR, vibrațiile antisimetrice (variație a momentului de dipol).

1.2. APARATURA UTILIZATĂ ÎN SPECTROMETRIA DE ABSORBȚIE ÎN DOMENIILE ULTRAVIOLET, VIZIBIL ȘI INFRAROȘU

1.2.1. Schema generală a unui spectrometru

Principiile optice și electronice pe baza cărora funcționează spectrometrele utilizate în domeniul ultraviolet, vizibil și infraroșu sunt, în general, aceleași. Totuși, sunt unele diferențe importante în ceea ce privește componentele specifice ale acestora și aceasta în funcție de domeniile spectrale în care sunt utilizate.

Frecvent se execută operația de fotometrare. Prin fotometrare se înțelege determinarea raportului intensităților a două radiații sau o funcție a acestui raport. Aparatele folosite se numesc fotometre. În spectrometria de absorbție se măsoară raportul dintre intensitatea radiației transmise de probă și a radiației incidente. Dacă radiația folosită are o bandă spectrală foarte îngustă, este practic monocromatică, aparatele respective se numesc spectrofotometre sau, folosind o denumire mai generală, spectrometre.

În fig. 1.14 se prezintă schema bloc a unui spectrometru de absorbție. Părțile esențiale sunt: 1) sursă stabilizată de radiații electromagnetice, 2) monocromator, care separă radiațiile în funcție de lungimea de undă, 3) celule transparente care conțin proba de analizat și proba de referință, 4) detector, 5) sistemul de evaluare.

Celula ce conține proba este plasată de obicei după monocromator pentru instrumentele care operează în domeniul UV și vizibil, pentru a diminua o eventuală descompunere sau fluorescență a probei datorită radiațiilor cu energie mare neseperate din fasciculul incident. Pentru instrumentele în IR, proba este plasată înaintea monocromatorului pentru a permite o mai bună focalizare a radiației pe detector și a reduce cantitatea de radiație parazită.

În fig. 1.14 se prezintă schematic sursele spectrale, sistemele de separare a radiațiilor, detectorii de radiații și materialele pentru celule, ferestre sau lentile utilizate la construcția spectrometrelor care operează în UV, vizibil și IR.

Schema bloc a unui spectrometru de emisie diferă de schema unui spectrometru de absorbție prin aceea că lipsește compartimentul ce conține celula cu proba de analizat și de referință. Proba constituie ea însăși sursa de radiații, radiații care trec prin monocromator, ajung la detector, iar răspunsul detectorului este redat de sistemul de evaluare.

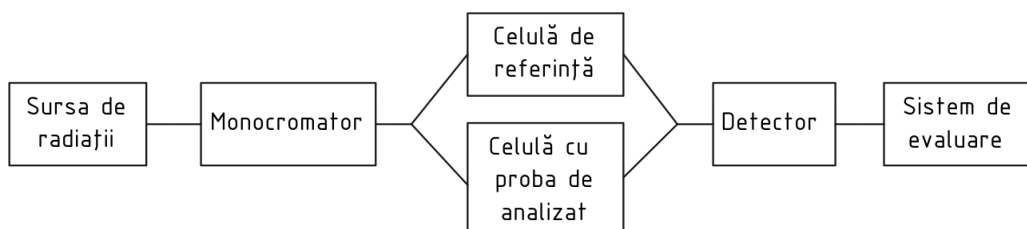


Fig. 1.14. Schema bloc a unui spectrometru de absorbție.

Numărul de undă (cm ⁻¹)	20	100	1000	10.000	100.000
Lungime de undă	500μm	100μm	10μm	1000	400 200 100 nm
Domeniul spectral	Infraroșu îndepărtat	Infraroșu	Infraroșu apropiat	Vizibil	U.V. de vid
Surse spectrale	Lămpi cu mercur de înaltă presiune	Sursa Globalar Filamentul Nernst Sursa nicrom (aliaj Ni-Cr)	Lampă de argon	Lampă de xenon Lampă de hidrogen și de deuteriu Lampă cu filament de wolfram	Lămpi cu catod cavitat
Sisteme de separare a radiațiilor în funcție de lungimea de undă	Rețele de difracție Prisme de NaCl	Prisme de KBr Prisme de CsI Prisme de CsBr și de TiBr-TII	Prismă de cuarț sau silice Prisme de sticlă Filtre de interferență Filtre de absorbție din sticlă	Prismă CaF ₂	
Detectori de radiații	Celule pneumatice Golay Termorezistențe și termocuple		Celule cu semiconductori Tuburi fotomultiplicatoare Celule fotoemisiive		
Materiale pentru celule ferestre și lentile	Polietilenă		LiF Cuarț sau silice topită Sticlă NaCl KBr TiBr - TII		

Fig. 1.15. Domenii de utilizare ale surselor, sistemelor de separare și detectorilor de radiații folosiți în spectrometria de absorbție în UV, vizibil și IR. Materiale folosite pentru celule etc.

1.2.2. Surse de radiații

În spectrometria de absorbție atomică în domeniul UV și vizibil se utilizează drept surse de radiații lămpi cu catod cavitat și lămpi cu descărcare fără electrozi. În fig. 1.16 se prezintă schema unei lămpi cu catod cavitat. Ea este constituită dintr-un tub de sticlă cu o fereastră transparentă pentru radiațiile emise. În interior se găsesc catodul, prevăzut cu o cavitat și anodul, constituit, de exemplu, dintr-un fir metalic, plasat alături de catod.



Fig. 1.16. Schema unei lămpi cu catod cavitat.

În interiorul lămpii se găsește un gaz inert ultrapur, de obicei neon, la presiune scăzută, de câțiva torri. Între electrozi se aplică o tensiune de până la 300 V, curentul având valori de până la 30 mA. Lampa funcționează ca un tub de descărcare în gaze la presiune scăzută. Ionii pozitivi ai gazului inert rezultați în urma descărcării sunt accelerați de câmpul electric și bombardează catodul. În interiorul cavității catodului se realizează o concentrație mare de ioni ce lovesc peretele interior al acestuia, determinând smulgerea unor atomi din catod. Cavitata din catod are deci rolul de a concentra descărcarea în interiorul ei. Atomii smulși sunt antrenați în plasma formată de descărcare. Ei sunt excitați prin ciocnire cu atomi excitați ai gazului inert, emițând spectrul atomic caracteristic. Datorită acestui proces, lămpile cu catod cavitat au o viață limitată, catodul consumându-se, atomii smulși din catod depunându-se în lampă.

Pentru fiecare element de analizat este necesară o lampă cu catod cavitat, ceea ce poate constitui un dezavantaj al spectrometriei de absorbție atomică. S-au realizat și lămpi cu catod cavitat multielement, în acest caz catodul fiind realizat de obicei dintr-un aliaj. Radiațiile emise vor proveni de la toate elementele ce constituie aliajul. Au dezavantajul că intensitatea radiațiilor emise este mai mică, comparativ cu cele emise de o lampă monoelement.

Lămpile cu descărcare fără electrozi sunt constituite din tuburi de cuarț (aproximativ 1 cm diametru, 7 cm lungime) închise ermetic, ce conțin un gaz inert (argon) la presiune scăzută, câteva miligrame din elementul respectiv și o cantitate mică de iod. Excitarea se realizează introducând lampa în cavitata unui generator de microunde (2450 MHz, 200 W). Va avea loc o descărcare în gaz datorită accelerării ionilor și electronilor de către câmpul electromagnetic. Nu sunt necesari

electrozi pentru realizarea descărcării.

Lămpile cu descărcare fără electrozi sunt realizate în special pentru elementele mai volatile: arsen, plumb, cadmiu, staniu etc. Ele sunt mai scumpe decât cele cu catod cavită, dar intensitatea radiațiilor emise și timpul de viață al acestora sunt mai mari.

Surse de radiații utilizate în spectrometria de absorbție moleculară

Aceste surse constau dintr-un material care este excitat la stări cu energie ridicată printr-o descărcare electrică la tensiune mare sau prin încălzire electrică. Prin revenirea materialului la stări cu energie mai mică sau la starea fundamentală are loc o emisie de radiație electromagnetică. Unele materiale au niveluri energetice atât de numeroase și care sunt atât de apropiate unele de altele încât radiația emisă se prezintă ca o radiație continuă într-un anumit domeniu de lungimi de undă.

Pentru domeniul UV al spectrului, cele mai utilizate surse sunt lămpile de hidrogen sau deuteriu. Ele sunt lămpi cu descărcare în gaze și emit o radiație continuă în domeniul 180-350 nm.

Pentru domeniul vizibil și infraroșu apropiat se utilizează lămpi cu filament de wolfram, filament care este alimentat de o sursă stabilizată de curent continuu. Radiația continuă emisă este în domeniul 350-2500 nm.

Pentru domeniul infraroșu al spectrului sunt utilizate: sursa Globar, o baghetă de carbură de siliciu (6-8 mm diametru și aproximativ 5 cm lungime), sursa Nernst constituită dintr-un amestec de oxizi de zirconiu, ytriu și toriu sinterizați sub forma unei baghete (1-3 mm diametru și 2-5 cm lungime) goală în interior și având un fir de platină pentru amorsare, sursa Nicrom realizată sub forma unor spire foarte apropiate din sârmă de aliaj nichel-crom.

În toate aceste surse, emisia are loc datorită efectului termic produs la trecerea curentului electric prin materialul din care sunt constituite. Ele emit radiații utilizabile în anumite zone caracteristice ale domeniului IR (fig. 1.15).

1.2.3. Sisteme de separare a radiațiilor în funcție de lungimea de undă

Separarea radiațiilor de mai multe lungimi de undă ale unei surse în benzi înguste sau chiar în radiații monocromatice se poate face utilizând filtre sau monocromatoare.

Filtrele sunt de absorbție sau interferențiale. Filtrele de absorbție permit selectarea unei anumite benzi spectrale prin absorbția radiațiilor de alte lungimi de undă. Absorbția se realizează de către substanțe colorate fixate în gelatină, sticlă, material plastic sau care sunt sub formă de soluție.

Un filtru este caracterizat prin lățimea efectivă a benzii ce reprezintă domeniul de lungimi de undă pentru care transmitanța este cel puțin jumătate din

valoarea maximă. Filtrele colorate permit transmiterea radiațiilor cu o lățime a benzii spectrale efective cuprinsă în mod obișnuit între 20 și 50 nm.

Filtrele interferențiale constau din unul sau mai multe straturi alăturate de dielectric transparent acoperite pe ambele fețe cu un film metallic semitransparent și parțial reflectant de obicei argint. Grosimea stratului de dielectric este bine determinată, fiind de $\frac{1}{2}$, 1 sau $\frac{3}{2}$ din lungimea de undă a radiației transmise; o parte din radiație va trece prin filtru neafectată, iar o altă parte va suferi mai întâi o reflecție între cele două straturi de film metallic ce acoperă dielectricul. Cele două radiații vor interfera constructiv sau distructiv. Va fi transmisă numai radiația cu lungimea de undă ce permite o interferență constructivă. Lățimea efectivă a benzii spectrale transmise de filtrele interferențiale este de ordinul 5-10 nm iar pentru cele cu un număr mare de straturi poate ajunge chiar la fracțiuni de nm.

Monocromatoarele separă radiațiile policromatice în funcție de lungimea de undă permițând obținerea unor radiații cu o bandă spectrală foarte îngustă, practic monocromatică. Componentele unui monocromator sunt: 1) o fantă de intrare prin care pătrunde radiația monocromatică de la sursă, 2) un colimator cu una sau mai multe lentile, sau cu o oglindă concavă, 3) un sistem de dispersie, prismă sau rețea de difracție care separă radiațiile în funcție de lungimea de undă, 4) un sistem de focalizare alcătuit din una sau mai multe lentile, sau o oglindă concavă și 5) o fantă de ieșire care izolează banda spectrală dorită blocând toate celelalte radiații. În fig. 1.17 se prezintă schemele unor monocromatoare cu prismă și rețea.

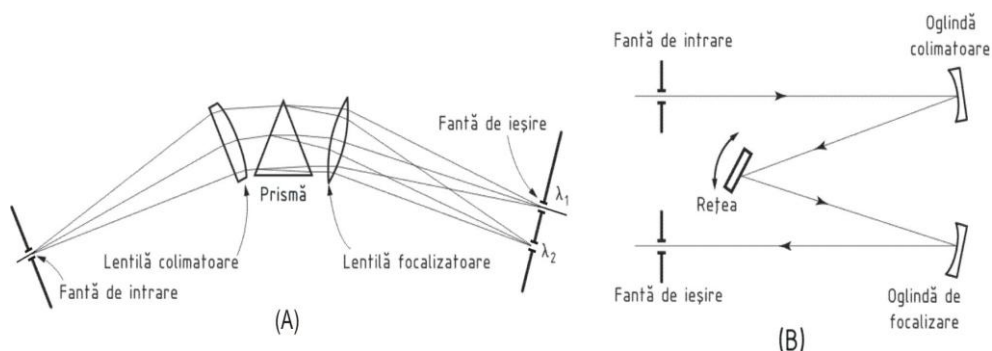


Fig. 1.17. Schemele unor monocromatoare: A) cu prismă; B) cu rețea.

Banda efectivă a radiației ce părăsește monocromatorul depinde în principal de elementul dispersiv utilizat și de lățimea fantelor atât de la intrarea cât și de la ieșirea acestuia. Folosirea unor fante înguste izolează benzi spectrale înguste, practic monocromatice. Dar acestea limitează și intensitatea radiației ce ajunge la detector, care nu poate funcționa satisfăcător decât peste o anumită valoare a energiei primite. Lățimea minimă a benzii spectrale este deci limitată de sensibilitatea detectorului. Se măresc de obicei lățimile fantelor până la o valoare

satisfăcătoare atât din punct de vedere al lărgimii benzii spectrale cât și a funcționării în bune condiții a detectorului. Un optim se obține la egalitatea celor două fante.

Sistemele de dispersie sunt caracterizate de: dispersia unghiulară, dispersia liniară și puterea de rezoluție.

Dispersia unghiulară este dată de raportul $d\theta/d\lambda$, $d\theta$ fiind unghiul pe care îl fac între ele două radiații ce părăsesc sistemul de dispersie și $d\lambda$ fiind diferența de lungime de undă dintre ele.

Dispersia liniară se definește în planul de focalizare al spectrului fiind dată de raportul $dl/d\lambda$, dl fiind distanța între două linii spectrale și $d\lambda$ diferența de lungime de undă dintre ele.

Puterea de rezoluție este dată de raportul $\lambda/d\lambda$, λ fiind lungimea de undă medie a două linii spectrale plasate alăturat și pentru care se mai obține o imagine distinctă și $d\lambda$ diferența dintre lungimile de undă ale acestor linii.

Drept elemente de dispersie se utilizează prisme și rețele de difracție.

Prisme. Dispersia în prismă se realizează datorită variației indicelui de refracție al radiațiilor în funcție de lungimea de undă. Frecvent, indicele de refracție scade cu lungimea de undă, deci unghiul de deviere al radiației este mai mare la lungimi de undă mai mici.

În fig. 1.18 se prezintă modul în care se realizează separarea unei radiații policromatice colimate, cu ajutorul unor prisme.

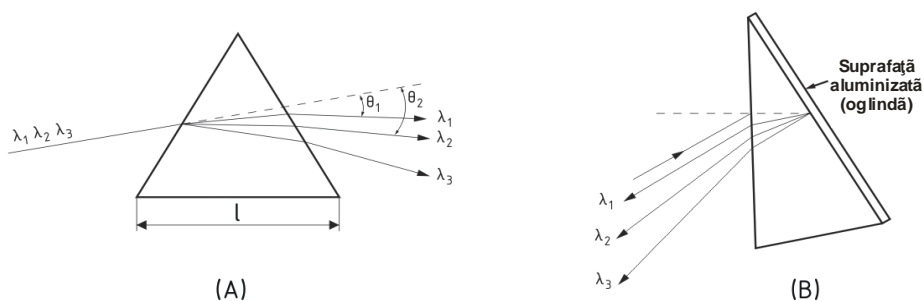


Fig. 1.18. Dispersia unei radiații policromatice de către o prismă: A) cu un unghi de 60° ; B) de către o prismă Littrow.

Dispersia unghiulară a prisme este mai mare pentru lungimile de undă apropiate de benzile sale de absorbție. Dacă materialul unei prisme absoarbe radiații din domeniul UV, dispersia crește cu scăderea lungimii de undă. În domeniul IR prisme absorb de obicei radiații la lungimi de undă mai mari și în mod corespunzător dispersia crește cu lungimea de undă.

Puterea de rezoluție a prismelor este dată de relația:

$$R_p = \frac{\lambda}{d\lambda} = t \frac{dn}{d\lambda} \quad (1.19)$$

unde t este baza prisme, iar $dn/d\lambda$ este dispersia indicelui de refracție.

Puterea de rezoluție este limitată de lungimea bazei prisme și de puterea de dispersie a materialului $dn/d\lambda$ care nu este constantă, fiind funcție de lungimea de undă.

Utilizarea unei prisme într-un montaj de tip Littrow (fig. 1.19B) prezintă avantajul unui grad mai mare de dispersie, și în plus, este evitată dubla refracție atunci când se folosește un material anizotrop, cum este cuarțul. Oglinda din montajul de tip Littrow poate fi constituită dintr-un material metalic dispus chiar pe prismă (după cum se vede din fig. 1.19B).

Materialele din care sunt realizate prismele depind de domeniul spectral în care acestea se utilizează. Ele trebuie să fie transparente și să aibă o dispersie suficient de mare.

Pentru domeniul UV se utilizează prismele din cuarț sau dioxid de siliciu topit, care sunt transparente până la aproximativ 200 nm. Fluoritul (CaF_2) este transparent până la 125 nm putând fi utilizat în ultravioletul de vid. Pentru domeniul vizibil și IR apropiat prismele se fac din sticlă de diferite calități.

În domeniul infraroșu se utilizează materiale cristaline ionice. În fig. 1.15 sunt prezentate câteva dintre aceste materiale și domeniile de numere de undă (cu aproximație) în care acestea pot fi utilizate cu cele mai bune rezultate: fluoritul, CaF_2 , între 1600 și 1250 cm^{-1} , clorura de sodiu între 625 și 4000 cm^{-1} , bromura de potasiu între 700 și 400 cm^{-1} , KRS-5 (un cristal mixt de bromură și iodură de talu) și bromura de cesiu în domeniul 425-280 cm^{-1} , iodura de cesiu este utilizabilă până la 180 cm^{-1} . Sub această valoare de obicei se folosesc rețele de difracție ca sisteme de dispersie.

Rețele de difracție. Rețelele de difracție pot fi prin transmisie sau prin reflexie. În fig. 1.20 se prezintă drumul parcurs de radiații în cazul unei rețele de difracție prin reflexie.

Suprafața rețelei este puternic reflectorizantă și prezintă un mare număr de șanțuri (zgârieturi) echidistante, în mod obișnuit 600-2000 pe mm, în funcție de domeniul spectral în care se utilizează. Radiațiile reflectate de rețeaua de difracție suferă un fenomen de interferență pozitivă sau negativă în funcție de lungimea de undă a acestora și de diferența de drum străbătută. Diferența de drum este dată de diferența $BC - AD = d(\sin i - \sin \theta)$. Totuși, θ este considerat un unghi negativ astfel că diferența de drum este $d(\sin i + \sin \theta)$.

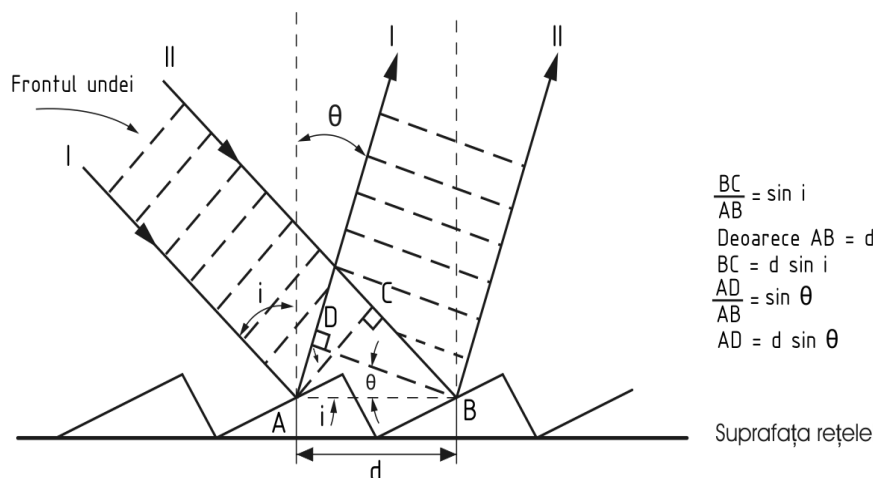


Fig. 1.19. Drumul parcurs de radiații pentru o rețea de difracție prin reflexie.

Pentru o interferență constructivă a radiației reflectate este necesar ca:

$$n\lambda = d(\sin i + \sin \theta) \quad (1.20)$$

unde n este un număr întreg. O radiație de o anumită lungime de undă care este reflectată de o rețea de difracție pentru un unghi de incidență i , poate suferi o interferență constructivă pentru mai multe unghiuri θ , formându-se astfel spectre de diferite ordine. Cele mai intense radiații aparțin ordinului întâi, intensitatea radiațiilor scăzând cu ordinul spectrului.

Separarea radiațiilor se face prin rotirea rețelei de difracție. În fața fantei de ieșire a monocromatorului fiind aduse radiațiile de diferite lungimi de undă ce aparțin spectrului de ordinul 1.

Rețelele de difracție prezintă, spre deosebire de prisme, o dispersie unghiulară liniară pe întreg domeniul de lungimi de undă utilizat, ceea ce constituie un avantaj.

1.2.4. Detectori de radiații

Un detector de radiații absoarbe energia fotonilor recepționați și o transformă într-o cantitate măsurabilă, ca de exemplu înnegrirea unei plăci fotografice sau un curent electric. Orice detector trebuie să genereze un semnal care să poată fi corelat cantitativ cu intensitatea radiației recepționate.

Zgomotul de fond al unui detector se referă la răspunsul detectorului, înregistrat chiar în absența unei radiații recepționate și la fluctuațiile aleatoare ale răspunsului detectorului.

Cerințele cele mai importante pentru un detector sunt: 1) sensibilitate mare și un zgomot de fond cât mai mic, 2) timp scurt de răspuns, 3) stabilitatea răspunsului în timp, 4) dependență liniară între răspunsul detectorului și intensitatea radiației recepționate. Este preferat răspunsul electric al detectorului, care este mai ușor de amplificat.

Detectori utilizați în domeniul UV și vizibil

În domeniul ultraviolet și vizibil, drept detectori de radiații se pot utiliza detectori fotoelectrici, detectori fotografici și, în domeniul vizibil, ochiul omenesc.

În aparatele moderne nu se mai utilizează ochiul omenesc drept detector de radiații. Detectorii fotografici nu sunt utilizați în spectrometria de absorbție, ei își găsesc utilizări în spectrometria de emisie și vor fi prezentați la acel capitol.

Detectori fotoelectrici

Fotonii radiațiilor din domeniul ultraviolet și vizibil au o energie suficientă pentru a determina o emisie de electroni (efect fotoelectric) atunci când ei lovesc o suprafață tratată cu anumiți compuși specifici. Absorbția acestui tip de fotoni poate determina de asemenea pentru anumiți semiconductori, deplasarea electronilor legați, neconductivi, în benzi conductive. Ambele procese generează sau permit trecerea unui curent electric care este funcție de intensitatea radiației absorbite.

Detectorii care funcționează pe baza acestor principii se numesc detectori fotoelectrici. Aceștia sunt de următoarele tipuri: celule fotovoltaice, celule fotoemise, celule fotoconductive (fotodiode) și tuburi fotomultiplicatoare.

Celulele fotovoltaice sunt cele mai simple, la iluminare ele generează un curent electric care poate acționa direct, fără amplificare, un instrument de măsură. Răspunsul lor nu este prea stabil și timpul de răspuns este destul de lung.

Celulele fotoemise constau dintr-un tub de sticlă vidat în care se găsesc un anod și un catod fotoemisiv pe care cade radiația a cărei intensitate o măsurăm. Între cei doi electrozi se aplică o diferență de potențial. Electronii smulși din catod prin efect fotoelectric determină trecerea curentului prin celulă, la iluminarea acesteia.

Un tub multiplicator, prezentat în fig. 1.20, constă dintr-un catod fotoemisiv și o succesiune de electrozi (dinode) care prezintă capacitatea emisiei secundare de electroni.

Între electrozii adiacenți se aplică o diferență de potențial de ordinul 75-100 V. Radiația incidentă smulge fotoelectroni din catod. Electronii smulși sunt focalizați de câmpul electrostatic și sunt accelerați spre primul electrod acoperit cu un compus (BeO, CsSb) care permite emisia mai multor electroni pentru fiecare electron incident. Procesul se repetă pentru ceilalți electroni. Electronii rezultați sunt colectați apoi de anod.

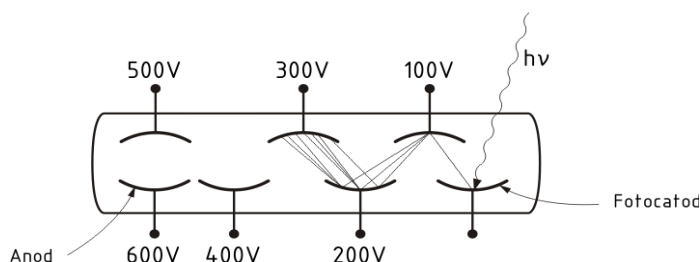


Fig.1.20. Schema unui tub fotomultiplicator.

Tuburile fotomultiplicatoare prezintă marele avantaj că permit o amplificare a semnalului de ordinul 10^6 , chiar în interiorul lor, amplificare ce poate fi reglată pe baza diferenței de potențial dintre electrozi.

Celulele fotoconductive sunt de fapt semiconductori (germaniu dopat cu aur, telură de plumb, sulfură de plumb). Prin absorbția unor radiații cu lungimi de undă adecvate, electronii semiconductorului sunt trecuți în benzi conductive. Rezistența electrică a celulei va scădea, iar sub influența unei diferențe de potențial va avea loc o creștere accentuată a curentului ce trece prin celulă.

Detectorsi utilizați în domeniul IR

În acest domeniu spectral se utilizează în special detectori termici. Energia radiațiilor este transformată în energie termică, măsurându-se apoi variațiile de temperatură. Pentru aceasta se utilizează termocuple, termorezistențe (termistori) și celule pneumatice (Golay).

Funcționarea termocuplelor se bazează pe apariția unei diferențe de potențial funcție de temperatură, între doi conductori din metale diferite puși în contact. Termorezistențele sunt rezistențe care prezintă un coeficient mare de variație al rezistivității cu temperatura, putând astfel sesiza variații foarte mici de temperatură. În cazul celulelor pneumatice se măsoară variația unui volum închis de gaz sub influența temperaturii. Partea activă a oricărui detector termic trebuie să fie cât mai mică pentru ca variațiile de temperatură să fie cât mai mari la absorbția radiației infraroșii. Principalul lor dezavantaj este timpul de răspuns lung (milisecunde) și sensibilitatea redusă în comparație cu alte tipuri de detectoare.

1.2.5. Sisteme de evaluare

Semnalul electric furnizat de un detector poate fi măsurat fără amplificare, dar de cele mai multe ori este necesară o amplificare a acestuia.

Se poate citi direct valoarea semnalului măsurat pe scala instrumentului de măsură, sau instrumentul de măsură poate acționa numai ca instrument de nul, realizându-se o compensare a semnalului dat de detector fie pe cale electrică (cu

ajutorul unui potențiometrul), fie pe cale optică (cu ajutorul unei pene optice sau a unei diafragme reglabile); în acest caz, mărimea se măsoară în unități de compensare pe scala potențiometrului sau a sistemului optic.

În aparatele moderne sistemul de evaluare se bazează în mare măsură pe utilizarea calculatoarelor care pot prelua semnalul de la amplificator, îl compară cu semnalele corespunzătoare ale unor probe etalon, stocate în memorie, iar apoi ne dau direct datele analitice.

Sisteme monofascicul și cu două fascicule utilizate în spectrometria de absorbție

Deși toate aparatele spectrometrice de absorbție au părțile componente prezentate în fig. 14, totuși sunt multe deosebiri între ele, depinzând de producător, domeniul spectral pentru care a fost concepute, rezoluția acestora etc. Fără a intra în detalii, vom discuta în continuare numai modurile generale de operare ale unui spectrometru de absorbție.

Sisteme monofascicul

Un fascicul de radiații de la o sursă pătrunde în monocromator, unde este dispersat de prismă sau rețea. Prin rotirea sistemului de separare a radiațiilor, în fața fantei de ieșire a monocromatorului sunt focalizate radiații de diferite lungimi de undă. În cazul spectrometriei de absorbție, înainte de a ajunge la detector, radiațiile trec prin proba de analizat. Absorbția radiației de către probă se determină fie măsurând intensitatea fasciculului transmis în prezența și absența probei, fie față de o probă de referință (de comparație) care conține de obicei toți componenții probei cu excepția celui a cărui absorbantă o măsurăm.

În cazul spectrometriei de emisie radiațiile emise de probă sunt separate de monocromator iar apoi ajung direct la detector unde li se măsoară intensitatea.

Sisteme cu două fascicule

În instrumentele cu două fascicule se realizează cu ajutorul unui dispozitiv optic o separare a radiațiilor provenite de la sursă în două fascicule. Un fascicul este trecut prin proba de referință, iar celălalt prin proba de analizat. Intensitățile celor două fascicule sunt apoi comparate, fie continuu, fie alternativ, de mai multe ori pe secundă. Astfel, în cazul instrumentelor cu două fascicule are loc o compensare a fluctuațiilor intensității sursei, a răspunsului detectorului și a amplificării, măsurându-se numai diferența celor două semnale.

În fig. 1.21 se prezintă schema unui instrument cu două fascicule ce funcționează pe baza principiului prezentat:

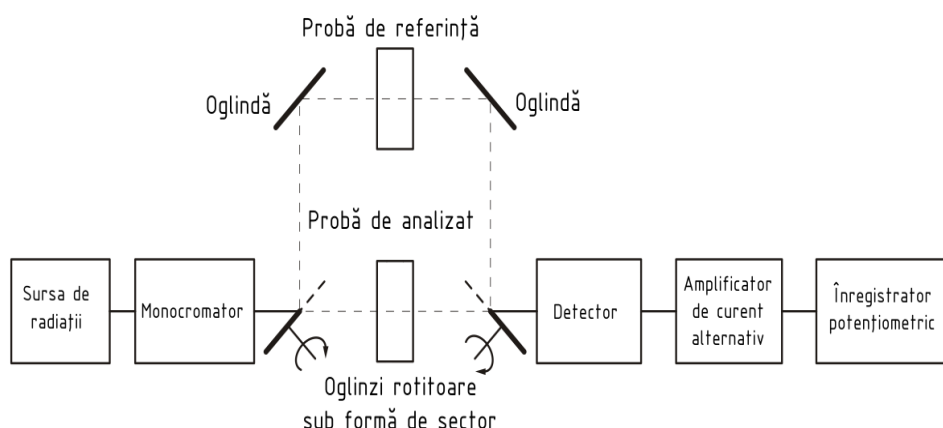


Fig. 1.21. Schema unui spectrometru cu două fascicule.

Fasciculele de radiații ce trec prin proba de referință și proba de analizat ajung alternativ la detector la intervale de timp care depind de frecvența de rotație a oglinzilor. Instrumentul înregistrează raportul celor două semnale. Dacă intensitatea celor două fascicule este identică, amplificatorul nu generează nici un semnal. Atunci când cele două intensități sunt diferite, semnalul amplificat poate acționa un servomotor care pune în mișcare un înregistrator potențiometric; acesta este astfel calibrat încât să ne indice transmitanța sau absorbanta corespunzătoare probei de analizat. Cu ajutorul unui dispozitiv mecanic ce rotește sistemul de dispersie și totodată deplasează banda de hârtie a înregistratorului se poate obține spectrul de absorbție al probei. Aparatele cu dublu fascicul permit obținerea într-un timp scurt a spectrului de absorbție al probei.

În ultimii ani s-au realizat progrese foarte mari în construcția de aparatură analitică. Spectrometrele moderne cu unul sau două fascicule sunt controlate de un calculator care ușurează foarte mult operarea acestora, spectrele de absorbție sau valorile măsurate fiind afișate pe monitor.

1.3. SPECTROMETRIA DE EMISIE ATOMICĂ ÎN ARC, SCÂNTEIE ELECTRICALĂ ȘI PLASMĂ

Principiul metodei constă în vaporizarea și excitarea atomilor probei de analizat, separarea radiațiilor emise în funcție de lungimea de undă, înregistrarea lor, urmată de interpretarea semnalelor obținute.

Vaporizarea și excitarea atomilor se poate face în arc electric, în scânteie electrică, în plasmă (cea mai utilizată fiind cea de argon cuplată inductiv) sau cu un fascicul laser.

După separarea radiațiilor emise cu ajutorul unui monocromator, acestea sunt focalizate pe detectorul de radiații care este de obicei un detector fotoelectric, dar care poate fi și o placă fotografică.

Analiza calitativă se face pe baza pozițiilor în spectru (a lungimilor de undă) a radiațiilor emise, fiecare element emițând un spectru caracteristic. Analiza cantitativă se face prin măsurarea intensității radiațiilor emise.

Acest tip de analiză se aplică în primul rând la determinarea unor metale. La folosirea arcului sau scântei electrice ca sursă de vaporizare sau excitare, sunt analizate în special probe solide iar la folosirea plasmă, probe lichide.

1.3.1. Principiul aparaturii

Surse de vaporizare și excitare

Arcul electric

Poate fi de curent continuu de joasă tensiune (10-25 V, 5-30 A) sau de înaltă tensiune (1200 V, 0,2-0,3 A). Vaporizarea se produce datorită încălzirii ce are loc la trecerea curentului electric. Temperatura arcului de curent continuu este de ordinul 4000-6500 °C. Excitarea atomilor probei se datorează atât energiei termice, cât și energiei electrice și este rezultatul unor ciocniri între atomi, ioni, electroni de mare energie.

În arcul electric de curent continuu electrozii nu se consumă uniform. De asemenea, arcul electric nu este stabil și aceasta face ca intensitatea radiațiilor emise să nu fie constantă. Într-un spectru de arc intensitățile relative ale radiațiilor emise de atomii diferitelor elemente nu sunt constante, aceasta deoarece volatilizarea este selectivă, substanțele cu temperatură de topire ridicată volatilizându-se după cele cu temperatură de topire coborâtă.

În anumite cazuri, aceasta poate constitui un avantaj, putându-se determina selectiv din aceeași probă elemente cu volatilități diferite.

Arcul de curent alternativ ca sursă de vaporizare și excitare se aseamănă în multe privințe cu arcul de curent continuu. În acest caz, schimbarea polarității electrozilor în ritmul frecvenței curentului alternativ permite o ameliorare sensibilă

a reproductibilității excitării. În arc electric se obțin spectrele atomilor și în mai mică măsură spectrele ionilor. Datorită instabilității lor, ele se folosesc mai ales la analiza cantitativă și semicantitativă.

Intensitatea emisiei atomice în arcul electric depinde de matricea probei (de prezența celorlalți componenți ai probei). Din acest motiv, probele de analizat și standardele trebuie să fie cât mai asemănătoare nu numai în privința compoziției chimice cât și a constituției fizice. Acest lucru este valabil și pentru alte surse de vaporizare și excitare.

Dacă arcul este produs între electrozi de carbon, în aer, se formează și molecule de dician care sunt excitate de arc, emițând radiații sub forma unor benzi moleculare în domeniul 360-420 nm care se suprapun peste spectrul probei.

Scânteia electrică

Este o descărcare scurtă și oscilantă între doi electrozi aflați la o mare diferență de potențial (10.000-50.000 V). Temperatura scânteii electrice este de ordinul 10.000-30.000 °C. Scânteia electrică se poate realiza cu un montaj prezentat în fig. 1. 22.

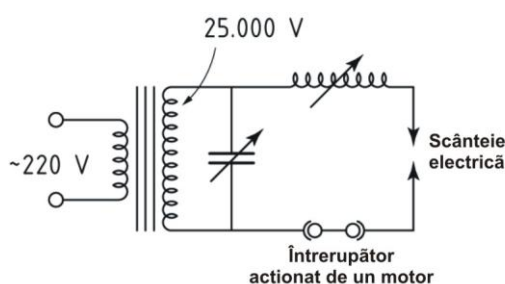


Fig. 1.22. Schema montajului Feussner de alimentare a scânteii electrice.

Frecvența oscilațiilor scânteii este dată de relația:

$$\nu = \frac{1}{2\pi} \sqrt{\frac{1}{LC}} \quad (1.21)$$

unde L și C reprezintă inductanța, respectiv capacitatea din circuit.

Oscilațiile sunt amortizate și determină o schimbare a polarității electrozilor în timpul unor impulsuri foarte scurte ($10^{-4} - 10^{-5}$ s) care se produc de 1000-2000 ori/s. Durata unei singure scânteii este foarte mică iar timpul între descărcări este relativ lung. Aceasta permite electrozilor să se răcească între descărcări, temperatura lor crescând foarte puțin față de temperatura ambiantă. Fenomenul de

volatilizare fracționată a diferitelor elemente va fi mult mai redus comparativ cu arcul electric.

Pentru a asigura o mai mare stabilitate a emisiei spectrale, Feussner a introdus în circuit un întrerupător mecanic acționat de un motor sincron. Circuitul este închis numai pentru scurt timp la valoarea maximă a intensității curentului pentru fiecare semiperioadă. Condensatorul se va descărca la aceeași tensiune de încărcare, iar scânteia va avea un caracter mult mai reproductibil.

Energia mare a scânteii determină o populare și a nivelurilor energetice cu energie înaltă ale atomilor. Din acest motiv, în scânteie se obțin atât spectrele atomilor cât și ale ionilor, spectrele fiind mai complexe decât cele obținute în arc electric.

Scânteia electrică este o sursă de excitare care ne dă o mai mare precizie și stabilitate decât arcul electric, putând fi folosită cu rezultate bune în analiza cantitativă.

Electrozii între care are loc arcul sau scânteia electrică sunt constituiți chiar din proba de analizat atunci când aceasta este bună conducătoare de electricitate (fig. 1.23a și 1.23b). Pentru analiza unor soluții se pot utiliza electrozi de forma celor prezentați în fig. 1.23c și 1.23d. Dacă proba nu este bună conducătoare de electricitate, ea este transformată în pulbere, apoi este amestecată cu un liant și este introdusă în cavitatea unui electrod de grafit (fig. 1.23e). Grafitul are avantajul că are un spectru simplu și creează o atmosferă reducătoare ce nu permite formarea oxidilor.

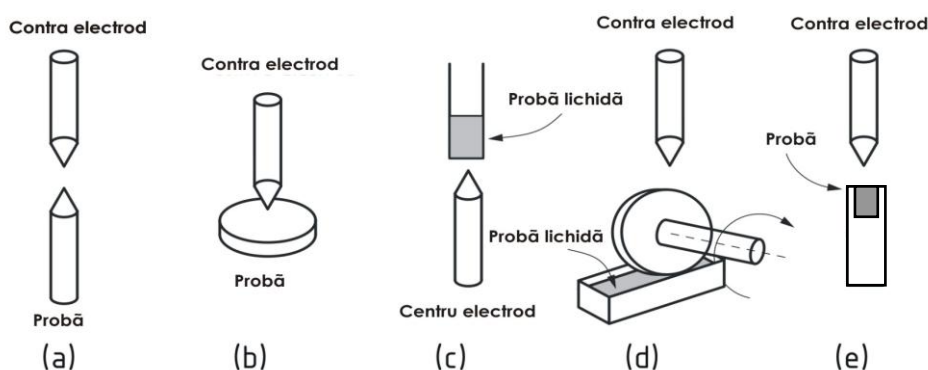


Fig. 1.23. Tipuri de electrozi folosiți la utilizarea arcului sau scânteii electrice ca sursă de vaporizare și excitare. (a) și (b) – analiza unor probe bune conducătoare de electricitate; (c) și (d) – analiza unor probe lichide; (e) – analiza unor probe care au conductibilitate electrică mică.

Un fascicul laser

Poate fi folosit la analiza unor zone foarte mici de pe suprafața unei probe. Fasciculul laser, focalizat cu ajutorul unui microscop în zona de analizat, vaporizează o cantitate mică de probă, dând naștere unui crater semisferic cu

diametrul de ordinul 50 μm . Atomii din vaporii rezultați sunt apoi excitați cu ajutorul unei scânteii electrice produsă între doi electroni plasați deasupra probei. Această tehnică poartă numele de *microanaliză spectrală cu laser*. Metoda permite analiza interiorului celulelor individuale chiar în organisme vii. Se pot analiza de asemenea incluziuni în metale și minereuri.

Plasma

Ca sursă de excitare a atomilor probei, plasma prezintă avantaje față de arcul sau scânteia electrică. Temperatura plasmei este de ordinul 9000 K. Spectrul obținut este foarte bogat în linii deoarece tranzițiile electronice ce pot avea loc sunt foarte numeroase. Aceasta însă face să crească posibilitatea interferențelor spectrale. Din acest motiv, spectrometrul utilizat trebuie să aibă o rezoluție înaltă. Sensibilitatea și exactitatea sunt foarte bune. Intensitatea radiației emise de un element este funcție liniară de concentrație într-un interval larg (4 sau mai multe ordine de mărime). Pot fi analizate probe gazoase sau lichide (în unele cazuri și probe solide pulverulente).

Torța de plasmă de argon cuplată inductiv

Este un tip special de plasmă care este alimentată cu energie prin inducție de la un câmp magnetic de înaltă frecvență (radiofrecvență). Plasma care este un gaz parțial ionizat este formată electromagnetic, în urma cuplării prin inducție a argonului ionizat cu un câmp de înaltă frecvență.

În fig. 1.24 se prezintă schematic o torță de plasmă de argon cuplată inductiv. Ea este constituită din trei tuburi concentrice de cuarț, tuburile interioare fiind mai scurte. În jurul tubului exterior în partea superioară, sunt două spire de inducție (răcite cu apă) ale unui generator de radiofrecvență (până la 2 kW și în jur de 25 MHz). Prin tubul central se introduce proba sub formă de aerosol.

Pentru a pune în funcțiune torța se introduce un flux de argon între tuburile concentrice. Apoi se inițiază ionizarea argonului cu ajutorul unei scânteii electrice. Ionii și electronii rezultați vor interacționa cu câmpul magnetic oscilant (notat cu H) produs de spirele de inducție. Plasma de argon conține mulți electroni liberi, ea este un conductor electric bun și va interacționa ușor cu câmpul magnetic. Aceasta va induce circulația unor curenți electrici turbionari în plasma formată, ceea ce va avea ca rezultat creșterea temperaturii. Transferul energetic între spirele de inducție și plasmă este asemănător cu transferul de energie dintr-un transformator electric, cele două spire de inducție corespunzând înfășurării primare iar curenții turbionari din plasmă corespunzând unei singure spire a secundarului.

Plasma formată are aspectul unei flăcări în partea superioară a tubului de cuarț. Deoarece temperatura acesteia este foarte ridicată, aprox. 9000 K, este necesar ca ea să fie izolată de tubul de cuarț. Aceasta se realizează printr-un curent de argon care circulă tangențial între tuburile concentrice (fig. 1.24) ceea ce determină totodată o modificare a formei sferice a plasmei prin aplatizarea bazei sale.

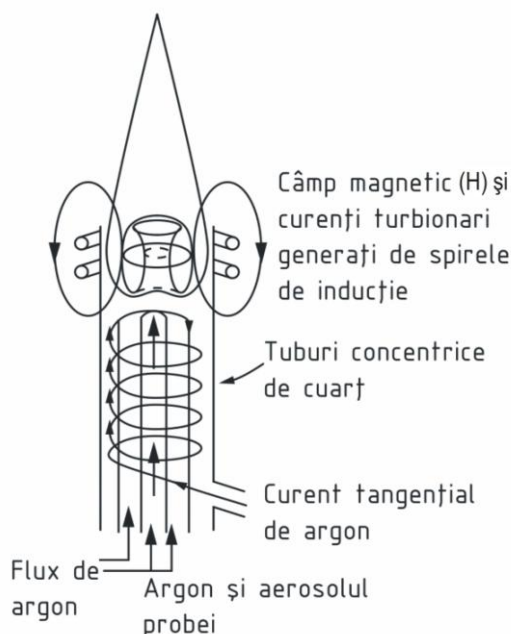


Fig. 1.24. Schema unei torțe de plasmă cuplată inductiv.

Introducerea probei prin tubul central schimbă de asemenea aspectul plasmăi, din centrul acesteia formându-se o flacără îngustă și înaltă, bine definită, care constituie sursa de radiații propriu-zisă.

Radiațiile emise în sursele de excitație sunt separate în funcție de lungimea de undă utilizând monocromatoare cu prismă sau rețea (prezentate în capitolul 1.2.3).

Detectori de radiații

Se pot folosi detectori de radiații fotoelectrici (prezențați la capitolul 1.2.4) sau detectori fotografici (ce vor fi prezențați mai jos).

Aparatele ce utilizează drept detectori de radiații plăci fotografice se numesc în general spectrografe, iar cele ce utilizează detectori fotoelectrici se numesc în general spectrometre.

Detectori fotografici

Aceștia servesc atât la detecția cât și la înregistrarea radiațiilor. Se utilizează plăci fotografice, care constau dintr-o placă de sticlă sau material plastic pe care s-a depus o emulsie fotosensibilă de halogenură de argint.

Spectrele de emisie atomică vor apărea sub forma unor linii cu o înnegrire mai puternică sau mai slabă în funcție de intensitatea lor. Ca o măsură a acestei înnegriți se folosește densitatea de înnegrire, D , definită prin relația:

$$D = \log \frac{I_o}{I} = \log \frac{1}{T} \quad (1.22)$$

în care:

I_0 este intensitatea unui fascicul luminos incident produs de o sursă (lumină albă produsă de un bec cu incandescență) iar I este intensitatea aceluiasi fascicul după trecerea prin regiunea plăcii pe care s-a înregistrat radiația. Densitatea de înnegrire se măsoară cu ajutorul unor dispozitive optice numite microfotometre.

Produsul dintre intensitatea radiației ce determină formarea unei imagini fotografice și timpul cât aceasta acționează se numește expunere, notată cu E :

$$E = It \quad (1.23)$$

Reprezentând D funcție de $\log E$ obținem curba caracteristică de înnegrire a plăcii fotografice (fig. 1.25).

D_0 este înnegrirea corespunzătoare voalului plăcii și se obține la dezvoltare pe porțiunea unde placa nu a fost iluminată.

Pentru determinări cantitative este necesar să ne situăm pe porțiunea liniară a curbei caracteristice de înnegrire a plăcii fotografice pentru care este o dependență liniară între D și $\log E$, dată de relația:

$$D = \gamma \log E - g \quad (1.24)$$

unde $\gamma = \tan \alpha$ este panta dreptei iar g este inerția emulsiei.

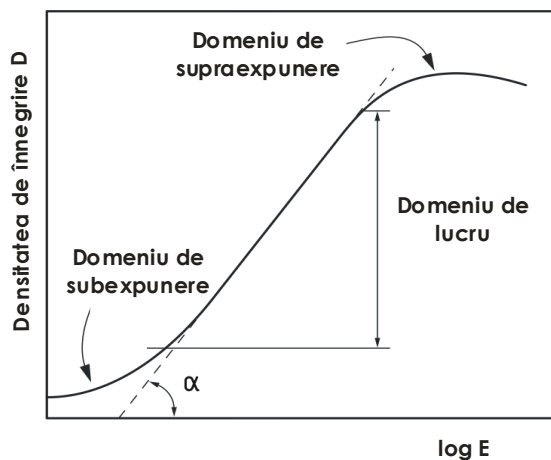


Fig. 1.25. Curba caracteristică de înnegrire a unei plăci fotografice.

Schema unui spectrograf cu prismă este prezentată în fig. 1.26.

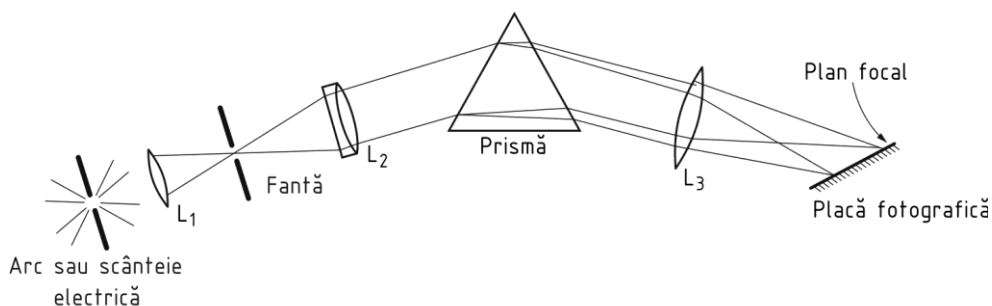


Fig. 1.26. Schema unui spectrograf cu prismă.

Radiațiile emise de sursa de excitație sunt focalizate de lentila L_1 pe fanta de intrare a aparatului, apoi sunt transformate într-un fascicul paralel de lentila colimatoare L_2 , sunt separate în funcție de lungimea de undă de către prismă și sunt focalizate de lentila L_3 pe placa fotografică.

Spectrometrele se deosebesc de spectrografe prin faptul că nu se face o înregistrare simultană a întregului spectru, ci se măsoară numai anumite radiații cu frecvențe caracteristice emise de către atomii probei de analizat. Pentru aceasta, în planul focal al monocromatorului, în dreptul unor fante, este plasat pentru fiecare lungime de undă caracteristică câte un detector fotoelectric. În acest mod se pot înregistra simultan intensitățile radiațiilor emise de un număr mare de specii atomice (de ordinul zecilor) care pot fi astfel determinate simultan.

1.3.2. Analiza calitativă și semicantitativă

Analiza calitativă

Se face pe baza faptului că radiațiile emise la anumite lungimi de undă și ansamblul de radiații ce constituie spectrul sunt caracteristice pentru un anumit element.

La utilizarea plăcii fotografice drept detector de radiații, spectrul înregistrat este format dintr-o multitudine de linii, fiecărei linii corespunzându-i o radiație de o anumită lungime de undă, emisă de un anumit element din proba de analizat.

Cea mai simplă metodă de a face o analiză calitativă constă în compararea spectrului probei de analizat cu un spectru cunoscut, ambele înregistrate alături, pe o placă fotografică. Drept spectru față de care se determină liniile elementelor de analizat se folosește spectrul fierului, care este foarte bogat în linii și constituie un bun etalon pentru lungimile de undă.

Cu ajutorul unui dispozitiv optic numit spectroproiector se obține pe un ecran imaginea mărită a spectrelor înregistrate. În continuare, cu ajutorul unor atlase în care este figurat spectrul fierului și pozițiile liniilor diferitelor elemente intercalate

între liniile fierului se pot atribui liniile spectrale ce apar în proba necunoscută.

O a doua metodă de efectuare a unei analize calitative se bazează pe determinarea exactă a lungimilor de undă ale radiațiilor emise de elementele din proba de analizat. În acest scop se întrebuițează un microscop mobil cuplat cu o scală micrometrică (sau un microscop fix și o placă mobilă cuplată cu un șurub micrometric) care permite observarea directă a spectrului probei și a spectrului cunoscut. Acest instrument se numește microscop comparator. Lungimile de undă ale radiațiilor determinate astfel vor fi atribuite elementelor de analizat folosind atlase de spectre.

Analiza semicantitativă

Permite determinarea ordinului de mărime al concentrațiilor unor elemente. La utilizarea plăcii fotografice ca receptor de radiații se poate face o analiză semicantitativă prin compararea vizuală a spectrului probei cu o serie de spectre etalon, obținute de la probe sintetice de concentrație cunoscută și cu o compoziție asemănătoare cu a probei de analizat. Prezentăm în continuare următoarele metode de analiză semicantitativă:

- Metoda spectrelor de comparație: se înregistrează pe aceeași placă fotografică mai multe spectre ale unor probe etalon alături de spectrul probei de analizat și se compară vizual. Concentrația unui element în proba necunoscută va fi aproximativ egală cu concentrația unui element din etalon, pentru care liniile elementului de analizat prezintă înnegriri asemănătoare.

- Metoda diluției: se înregistrează spectrul probei de analizat diluată cu praf de grafit în raport cunoscut (de exemplu 1/10, 1/100, 1/1000) și se compară cu spectrele obținute pentru anumite probe etalon.

- Metoda sectorului logaritmice: se înregistrează spectrul probei în condițiile în care un disc dintr-un material opac ce are marginea tăiată după o curbă logaritmice se rotește în fața fantei de intrare a spectrografului (fig. 1.27). Deoarece densitatea de înnegrire a plăcii fotografice este funcție logaritmice de intensitatea radiației (relațiile (1.23) și (1.24)), liniile spectrale vor apărea în acest caz sub forma unor pene a căror înălțime va fi proporțională cu concentrația elementului de analizat. Comparând înălțimea liniilor spectrale astfel înregistrate pentru un etalon și proba de analizat, se poate evalua semicantitativ concentrația în proba necunoscută.

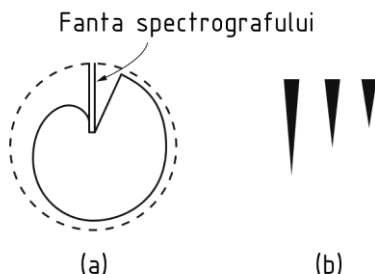


Fig. 1.27. Sectorul logaritmic (a), și aspectul unei linii înregistrate pentru diferite concentrații (b).

1.3.3. Analiza cantitativă

Se face determinând intensitatea radiațiilor emise în funcție de concentrația speciei de analizat. Se aleg liniile cele mai intense, mai sensibile și mai caracteristice ale elementelor de analizat. Intensitatea radiației emise este dată de relația:

$$I = ac^b \quad (1.25)$$

unde I este intensitatea radiației emise, c este concentrația elementului care emite radiațiile, a este un factor legat de natura elementului și condițiile de excitare iar b este un factor datorat autoabsorbției liniei spectrale ($b \leq 1$). Cu cât autoabsorbția unei linii spectrale este mai mare cu atât b ia valori mai mici. Autoabsorbția unei linii spectrale crește cu concentrația elementului din vaporii atomici care emit linia spectrală respectivă.

Deoarece intensitatea radiațiilor emise este funcție de o serie de parametri ai surselor de excitare, greu de reprodus și de controlat, intensitatea unei linii spectrale se măsoară față de intensitatea liniei unui element numit standard sau etalon intern, conținut de proba de analizat. Condițiile de excitare fiind aceleași pentru ambele elemente, ele nu vor influența valoarea raportului între intensitățile celor două linii.

Elementul de analizat ales drept standard intern trebuie să îndeplinească o serie de condiții. Astfel, este necesar să fie în concentrație constantă (de obicei mare) atât în etaloane, ce conțin cantități cunoscute din elementul de analizat, cât și în probele de analizat. Linia standardului intern trebuie să fie în vecinătatea celei a elementului de analizat, pentru a evita erorile ce pot apărea datorită variației sensibilității detectorului în funcție de lungimea de undă. Standardul intern trebuie să aibă volatilitate și condiții de excitare cât mai apropiate de ale elementului de analizat.

Raportul dintre intensitatea unei radiații emise la o anumită lungime de undă

de către elementul de analizat, I_x , și a radiației emise de standardul intern, I_{st} , va fi dat de relația:

$$\frac{I_x}{I_{st}} = \frac{a_x c_x^{b_x}}{a_{st} c_{st}^{b_{st}}} \quad (1.26)$$

notând a_x/a_{st} cu A și logaritmând, obținem:

$$\log \frac{I_x}{I_{st}} = b_x \log c_x + k \quad (1.27)$$

unde $k = \log A - b_{st} \log c_{st}$

Relația (1.27) ne arată că între $\log I_x/I_{st}$ și $\log c_x$ este o dependență liniară. Lucrând cu probe etalon ce au concentrații cunoscute în elementul de analizat, vom putea trasa un grafic de calibrare reprezentând $\log I_x/I_{st}$ funcție de $\log c_x$ pe baza căruia vom putea determina concentrațiile elementului de analizat din probe necunoscute.

La utilizarea sistemelor de detecție fotoelectrice, radiațiile emise la anumite lungimi de undă de elementul de analizat și standardul intern sunt convertite în curent electric care încarcă un circuit de integrare format dintr-un condensator și o rezistență. Tensiunea la care ajunge condensatorul după un anumit timp (sau cantitatea de electricitate înmagazinată) va fi funcție de intensitatea radiației.

În cazul spectrometrelor performante, prin această metodă se măsoară simultan intensitățile corespunzătoare radiațiilor emise de un mare număr de elemente. Aceste intensități sunt apoi convertite în concentrații pe baza unor curbe de etalonare de către un calculator, rezultatul fiind dat într-un timp foarte scurt. Precizia determinărilor este bună, eroarea relativă fiind de ordinul 0,5%.

La utilizarea plăcii fotografice ca receptor de radiații, se măsoară densitatea de înnegrire D a liniilor spectrale cu ajutorul microfotometrelor. Dacă ne vom plasa pe domeniul liniar al curbei caracteristice de înnegrire a plăcii fotografice (fig. 1.25) vom putea scrie:

$$D_x = \gamma \log E_x - g \quad (1.28)$$

$$D_{st} = \gamma \log E_{st} - g \quad (1.29)$$

$$D_x - D_{st} = \Delta D = \gamma \log \frac{E_x}{E_{st}} \quad (1.30)$$

Dar timpul de expunere este același pentru linia elementului de analizat și linia standardului intern, fiind conținute în același spectru, deci:

$$\Delta D = D_x - D_{st} = \gamma \log \frac{I_x}{I_{st}} \quad (1.31)$$

înlocuind pe $\log I_x/I_{st}$ cu valoarea dată de relația (1.27), obținem:

$$\frac{\Delta D}{\gamma} = b_x \log c_x + k \quad (1.32)$$

Reprezentând $\Delta D/\gamma$ în funcție de $\log c$, pentru probe de concentrație cunoscută, se va obține un grafic de etalonare pe baza căruia se vor putea determina concentrațiile unor probe necunoscute.

1.4. SPECTROMETRIA DE EMISIE ÎN FLACĂRĂ

Principiul metodei constă în transformarea în vapori atomici a elementelor de determinat și excitarea acestora prin introducerea probei de analizat într-o flacără și separarea radiațiilor emise în funcție de lungimea de undă, urmată de înregistrarea și interpretarea acestora.

Prin această metodă sunt analizate în special probe lichide care sunt introduse în flacără sub formă de aerosoli.

Analiza calitativă se face prin determinarea lungimilor de undă ale radiațiilor emise, care sunt caracteristice diferitelor specii atomice, iar analiza cantitativă se face prin măsurarea intensității acestor radiații.

Spectrometria de emisie atomică în flacără se aplică în special pentru analiza unor elemente cu energie de excitare mică, cum ar fi metalele alcaline și alcalino-pământoase, aceasta deoarece flăcările au temperaturi mai mici decât ale celorlalte surse de excitare folosite în spectrometria de emisie atomică (arcul electric, scânteia electrică sau plasma); totuși, prin perfecționarea aparaturii și prin folosirea unor flăcări calde, spectrometria de emisie atomică a fost extinsă la determinarea unui număr mare de elemente (aproximativ 40).

1.4.1. Flacără ca sistem de atomizare și excitare

Proba de analizat este transportată în flacără sub forma unui aerosol. Se poate proceda în două moduri: 1) – comburantul (gazul care întreține arderea) și carburantul sunt preamestecate înainte de a ajunge la arzător (transportând proba de analizat sub formă de aerosol); 2) – cele două gaze vin în contact chiar în flacără, în care este pulverizată proba de analizat.

În fig. 1.28 se prezintă schemele unor arzătoare bazate pe cele două modalități de lucru; în tabelul 1.3 se prezintă câțiva dintre carburanții și comburanții folosiți pentru obținerea flăcărilor utilizate în spectrometrie și temperaturile acestora.

Tabelul 1.3. Caracteristici ale unor flăcări utilizate în spectrometria de emisie atomică

Carburant	Comburent	Temperatura °C
Acetilenă	aer	2400
”	N ₂ O	2800
”	oxigen	3140
Hidrogen	aer	2050
”	N ₂ O	2700
”	oxigen	2700
Propan	aer	1900

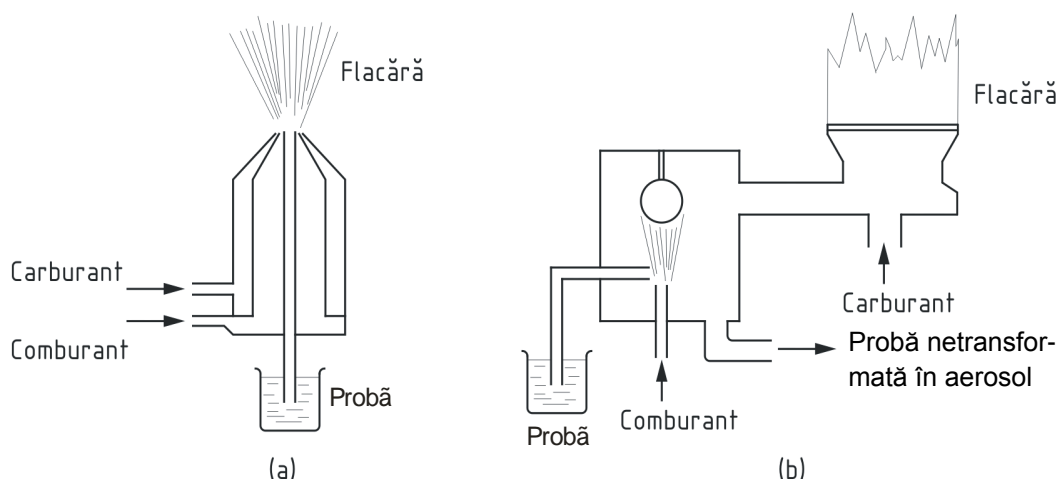
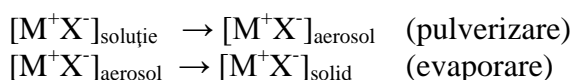
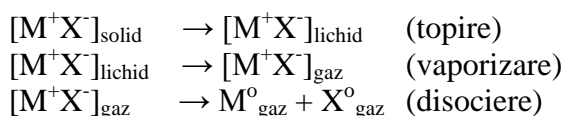


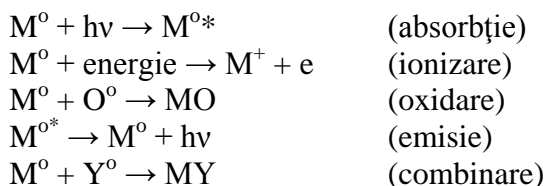
Fig. 1.28. Schemele unor arzătoare folosite în spectrometria de emisie: a) fără preamestecarea gazelor, b) cu preamestecarea gazelor.

Să considerăm o soluție apoasă a unei sări MX. La pulverizarea soluției în flacără pot să aibă loc următoarele procese:





Procesele care pot avea loc pentru atomii M^0 în faza gazoasă sunt:



unde O reprezintă oxigenul iar Y un atom străin.

Radiațiile sunt emise de atomii excitați M^{0*} prin revenire la starea fundamentală. Este de dorit ca flacăra să producă o populație cât mai mare de atomi neutri care să poată fi apoi excitați.

Ionizarea, oxidarea și combinarea sunt fenomene nedorite, deoarece acestea reduc sau chiar elimină populația de atomi liberi a elementului respectiv. Folosirea unei flăcări cu temperatura ridicată va determina ionizarea unui număr mare de atomi, în cazul unor elemente ușor ionizabile (ca metalele alcaline) și din acest motiv, pentru acestea se recomandă folosirea unei flăcări cu temperatura mai coborâtă.

Oxidarea și combinarea apar în special la utilizarea unor flăcări cu temperaturi mici și în cazul unor elemente ce formează oxizi refractari (aluminiiu, vanadiu, titan etc.). Pentru determinarea acestor elemente se utilizează flăcări cu temperatura ridicată (ca acetilenă – protoxid de azot) cu exces de combustibil (atmosferă reducătoare).

Interferențe ce pot apărea în flăcări

În principiu, la utilizarea flăcărilor apar aceleași interferențe, atât în cazul spectrometriei de absorbție atomică, cât și în cazul spectrometriei de emisie atomică. Astfel, apar interferențe datorită:

- 1) – suprapunerii parțiale sau totale a unor linii de emisie sau absorbție a unor elemente;
- 2) – absorbției de fond, sau emisiei de fond;
- 3) – efectelor de ionizare;
- 4) – vaporizării.

Interferențele datorită *suprapunerii liniilor spectrale* pot fi reduse prin utilizarea unor monocromatoare cu rezoluție mai bună. Acest tip de interferențe este cel mai frecvent întâlnit în spectrometria de emisie atomică, deoarece numeroase specii atomice aflate într-o flăcăre emit radiații. Aceasta dă naștere unui spectru complex care trebuie rezolvat. Probabilitatea suprapunerii liniilor spectrale în emisie va fi mai mare decât în absorbție.

Spectrele de absorbție atomică sunt mai simple decât cele de emisie, iar aceasta face ca și interferențele spectrale să fie mai reduse.

Absorbția de fond apare în spectrometria de absorbție atomică, drept urmare a absorbției moleculare și a difuziei radiației de către particulele solide neevaporizate prezente în flacără, care provin din proba de analizat.

Absorbția moleculară se datorează unor compuși ce constituie matricea chimică a probei și care sunt vaporizați împreună cu elementul de analizat. O parte din radiația dată de lampa cu catod cavitat va fi absorbită nespecific de acești compuși.

Se poate face o corecție a absorbției de fond și datorită difuziei radiației măsurând semnalul total de absorbție și scăzând din el valoarea care nu se datorează absorbției de către atomi. Aceasta este posibil deoarece atomii absorb radiații ce corespund unor benzi spectrale mult mai înguste decât benzile de absorbție moleculară. De asemenea, difuzia radiației este practic constantă pentru radiații din benzi spectrale mult mai largi decât cele pe care le absorb atomii. Rezultă deci că la lungimi de undă apropiate de cele absorbite de atomi, absorbția radiației de către aceștia va fi practic zero, în timp ce scăderea intensității radiației datorită absorbției moleculare sau difuziei va fi aceeași cu cea de la lungimea de undă absorbită de atomi.

În spectrometria de emisie atomică poate apărea o *radiație de fond* ce însoțește radiația emisă de atomii de analizat. Radiația de fond se poate datora flăcării sau celorlalți componenți ai probei de analizat. Pentru a determina intensitatea radiației emise numai de atomii de analizat, din intensitatea totală emisă la o lungime de undă de o specie atomică se scade valoarea fondului măsurat în apropierea liniei spectrale respective.

Efecte de ionizare. În flacără poate să aibă loc și o ionizare a atomilor unor elemente. Metalele alcaline sunt în mod deosebit ionizate. Ionizarea reduce populația de atomi neutri aflați atât în stare fundamentală cât și în stare excitată și deci va reduce sensibilitatea determinărilor.

Pentru a reduce ionizarea atomilor în flacără se adaugă probelor un exces de element ușor ionizabil, ca de exemplu potasiu sau cesiu.

Interferențe datorită vaporizării. O serie de fosfați, silicați și aluminați ai unor elemente sunt termic stabili. Pentru a aduce la stare de vapori atomici elementul respectiv trebuie utilizate flăcări suficient de calde, de exemplu o flacără protoxid de azot/acetilenă. Variații ale temperaturii flăcării vor determina deplasări ale echilibrului de disociere. Aceasta duce la o variație a populației de atomi și a sensibilității atât în cazul spectrometriei de emisie, cât și de absorbție atomică. Metale ca: aluminiul, titanul și lantanul formează oxizi refractari care sunt foarte stabili. Pentru a obține o populație de atomi suficient de mare în cazul acestor elemente este necesar să lucrăm în flăcări calde în exces de carburant, cu scopul de a crea o atmosferă reducătoare. Pentru a reduce interferențele datorită vaporizării, la probele de analizat se adaugă elemente care se pot combina ușor cu anionii ce formează compuși puțin volatili.

Dezavantajele atomizării și excitării în flacără

Flacăra ca sistem de atomizare și excitare prezintă unele dezavantaje pe care le prezentăm în continuare:

La utilizarea unui arzător pentru care gazele sunt preamestecate înainte de a ajunge în flacără, numai o mică parte din proba de analizat (aproximativ 10%) ajunge în flacără sub formă de aerosol, restul de probă separându-se sub formă lichidă.

Timpul în care atomii se găsesc efectiv în drumul optic al spectrometrului este deosebit de scurt (aproximativ 10^{-3} s), depinzând de viteza gazelor în flacără.

Are loc o diluare a vaporilor atomici formați, de către gazele transportoare.

Instabilitatea flăcării duce la un zgomot de fond destul de mare ce limitează determinarea elementelor la concentrații mici.

În flacără se formează radicali liberi care se pot combina cu atomii, reducând numărul acestora.

1.4.2. Principiul aparaturii

Schema unui spectrometru de emisie atomică în flacără este prezentată în fig. 1.29. Proba de analizat în stare lichidă este introdusă sub forma unui aerosol în flacără, în care are loc vaporizarea solventului, disocierea moleculelor, transformarea elementului de analizat în atomi și excitarea acestora. Radiațiile emise de atomi prin revenirea la stări electronice cu energie mai mică sunt trecute printr-un sistem de separare (monocromator sau filtre) care izolează radiația dorită. Intensitatea acesteia este apoi măsurată cu ajutorul detectorului. Semnalul furnizat de detector (amplificat sau nu) ajunge la sistemul de evaluare care constă de obicei într-un instrument de măsură sau un înregistrator.

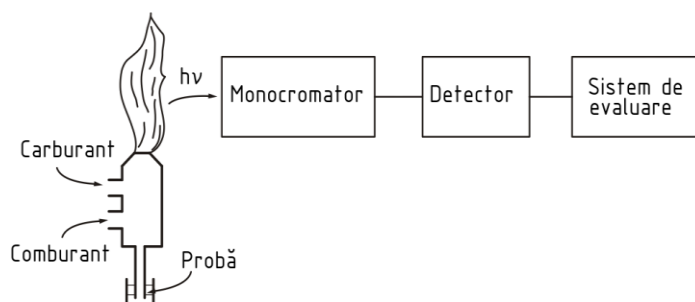


Fig. 1.29. Schema unui spectrometru de emisie atomică în flacără.

1.4.3. Analiza cantitativă

În condiții de echilibru termic, raportul între numărul de atomi aflați în stare excitată, N^* , și numărul de atomi aflați în stare fundamentală, N_o , este dat de relația:

$$\frac{N^*}{N_o} = \frac{g^*}{g_o} e^{-\frac{\Delta E}{kT}} \quad (1.33)$$

unde:

g^* și g_o sunt ponderile statistice ale nivelurilor respective, ΔE , diferența de energie între cele două stări, k , constanta lui Boltzmann și T , temperatura absolută.

În tabelul 1.4 se dau valorile unor raporturi N^*/N_o pentru liniile de rezonanță ale unor elemente:

Tabelul 1.4. Valorile N^*/N_o pentru liniile de rezonanță ale unor elemente

Element	Linii de rezonanță	E (eV)	N [*] /N _o	
			2000 K	3000 K
Na	589	2,10	9,86 10 ⁻⁶	5,88 10 ⁻⁴
Cs	852,1	1,45	4,44 10 ⁻⁴	7,24 10 ⁻³
Ca	422,7	2,93	1,21 10 ⁻⁷	3,69 10 ⁻⁵
Cu	324,8	3,82	4,82 10 ⁻¹⁰	6,65 10 ⁻⁷
Zn	213,9	5,80	7,45 10 ⁻¹⁵	5,50 10 ⁻¹⁰

Analiza cantitativă se face cu ajutorul unor curbe de calibrare obținute cu soluții de concentrație cunoscută. În fig. 1.30 se prezintă aspectul unei curbe de calibrare obținute în spectrometria de emisie atomică. Curba de calibrare este liniară numai pentru un anumit domeniu de concentrații. La concentrații mari, curba se aplatizează datorită fenomenului de autoabsorbție. Autoabsorbția se datorează faptului că atomii elementului de analizat din zona mai rece a flăcării absorb radiațiile emise de către atomii din zona mai caldă.

La concentrații mici se accentuează influența fenomenului de ionizare care duce la micșorarea intensității semnalului emis de atomi.

Pentru un debit constant al gazelor ce alimentează flacăra, vor fi transportate aceleași volume de soluție în flacăra, iar semnalul înregistrat va depinde de concentrația elementului de analizat din probă.

Pentru a elimina erorile ce pot apărea datorită efectelor de matrice, etaloanele trebuie să aibă o compoziție cât mai asemănătoare cu a probelor de analizat sau se poate utiliza metoda adausrilor.

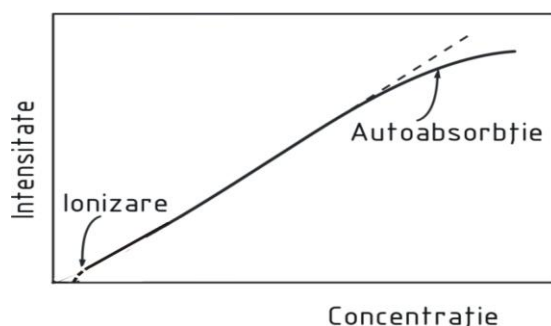


Fig. 1.30. Aspectul unei curbe de calibrare obținute în spectrometria de emisie atomică.

Spectrometria de emisie atomică în flacără se aplică cu cele mai bune rezultate pentru determinarea elementelor alcaline, alcalino-pământoase și a unor lantanide pentru care sensibilitatea este mai mare decât în cazul absorbției atomice. Pentru celelalte elemente, cu puține excepții, sensibilitatea determinărilor prin spectrometrie în flacără este mai mică sau cel mult egală cu a absorbției atomice. În ambele metode, deviația relativă standard este de ordinul 0,5-1%. Totuși, spectrometria de emisie atomică în flacără prezintă avantajul, față de spectrometria de absorbție atomică, prin faptul că permite determinarea simultană a unui număr mare de elemente din aceeași probă.

1.5. SPECTROMETRIA DE ABSORBȚIE ATOMICĂ

Fenomenul de absorbție a radiațiilor de către atomi a fost utilizat de către fizicieni încă din prima parte a secolului al nouăsprezecelea, când Fraunhofer a observat un număr de linii întunecate în spectrul soarelui. Prima aplicație analitică a absorbției atomice a fost la determinarea mercurului, de către Müller (în anul 1930); dar numai în 1955, când Walsh, în Australia și independent de acesta, Alkemade și Milatz, în Olanda, au descoperit aplicabilitatea generală a fenomenului de absorbție atomică la determinarea unor elemente, a apărut practic noua metodă analitică, spectrometria de absorbție atomică.

Pentru efectuarea unei determinări prin absorbție atomică, radiația de la sursa de excitație, de obicei o lampă cu catod cavită, este trecută prin vaporii atomici ai elementului de determinat, obținuți pe cale termică și se măsoară atenuarea intensității radiației transmise.

Pentru a avea loc absorbția, energia radiației trebuie să fie egală cu diferența de energie între starea cu energie mai mică, în care atomul se găsește și o stare cu energie mai mare, corespunzătoare unei stări excitate. Deoarece starea

fundamentală este aproape întotdeauna cu populația cea mai numeroasă, cel mai important proces este absorbția de rezonanță.

O parte din radiația absorbită va fi emisă spontan la aceeași lungime de undă, prin revenirea atomului la starea cu energie mai mică, dar, deoarece această radiație este emisă izotropic, fracțiunea ce ajunge la detectorul de radiații este practic nesemnificativă.

În fluorescența atomică, radiația de la o sursă de excitare este trecută prin vaporii atomici, dar detectorul nu primește radiația primară, între direcția de observare și a fasciculului incident fiind un unghi, de obicei de 90° . O parte din atomii excitați prin absorbție revin la starea fundamentală prin emisie spontană de fotoni. Astfel, fluorescența atomică diferă de emisia atomică numai prin modul de excitare.

În cazul spectrelor de emisie atomică, care sunt produse de obicei termic, utilizând flăcări, arcuri sau scânteii electrice, pentru un anumit element, numai o mică parte din atomi trec în stare excitată și pot deci emite radiații, iar această parte este puternic influențată de temperatura sursei de excitare. Din acest motiv, mici fluctuații ale temperaturii determină variații apreciabile ale intensității radiațiilor emise.

În cazul absorbției atomice, importantă este populația de atomi aflată în stare fundamentală, care este mai puțin influențată de mici fluctuații de temperatură.

Spectrul de emisie este de obicei mai complex decât cel de absorbție, deoarece numeroase specii atomice prezente în sursa de excitare emit radiații. Aceste radiații trebuie separate utilizând un monocromator de rezoluție înaltă. Probabilitatea suprapunerii liniilor spectrale în emisie este mult mai mare decât în absorbție.

Spre deosebire de spectrele de emisie, spectrele de absorbție sunt mai simple, pentru rezolvarea lor necesitând utilizarea unui monocromator mai puțin pretențios.

1.5.1. Absorbția radiațiilor de către atomi

La trecerea unui fascicul de radiații de diferite lungimi de undă printr-o celulă ce conține vaporii atomici ai unui element, radiația transmisă va arăta o distribuție în funcție de frecvență după cum se vede în fig. 1.31.

Specia atomică posedă deci o linie de absorbție la frecvența ν_0 , unde ν_0 este frecvența centrului liniei.

Intensitatea radiației transmise de către atomi (sub formă de vaporii) la o anumită frecvență, ν , este dată de relația:

$$I_\nu = I_{o(\nu)} e^{-k_\nu l} \quad (1.34)$$

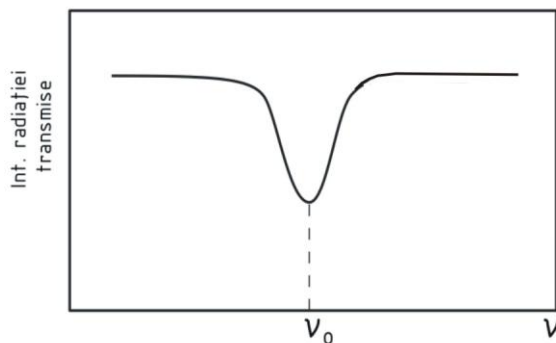


Fig. 1.31. Profilul de absorbție al unei linii spectrale.

unde $I_{o(\nu)}$ și I_ν reprezintă intensitatea radiației incidente, respectiv transmise, de frecvență ν , k_ν este coeficientul de absorbție al vaporilor atomici pentru radiația de frecvență ν , iar l este grosimea stratului absorbant.

Absorbția integrală a liniei spectrale este dată de relația:

$$\int k_\nu d\nu = \frac{\pi e^2}{mc} N_\nu f \quad (1.35)$$

unde N_ν este numărul de atomi pe cm^3 care pot absorbi în domeniul de frecvență corespunzător liniei spectrale, f este tăria oscilatorului (numărul mediu de electroni pe atom ce pot fi excitați de radiația incidentă), e este sarcina unui electron, c este viteza luminii și m masa unui electron.

Lățimea naturală a unei linii spectrale este de ordinul 10^{-5} nm. În realitate lățimea unei linii spectrale de absorbție a atomilor aflați într-o flacără sau alt sistem de atomizare este mai mare, ajungând la 0,01-0,001 nm. Lățirea liniei apare datorită autoabsorbției, efectului Doppler și proceselor de coliziune, lățire Lorentz (capitolul 1.1.2).

În majoritatea cazurilor, cel mai important factor ce contribuie la lățirea liniilor spectrale se datorează ciocnirii atomilor de analizat cu atomii gazelor străine.

Spre deosebire de linia de absorbție a atomilor într-o sursă de atomizare, care funcționează la presiunea atmosferică, linia de emisie a unei lămpi cu catod cavităar este mult mai îngustă, presiunea în interiorul acesteia fiind de ordinul 1 torr și deci numărul de ciocniri este mult mai redus.

În fig. 1.32 se prezintă, pentru același element, profilul unei linii de absorbție în flacără și respectiv al unei linii de emisie provenite de la o lampă cu catod cavităar:

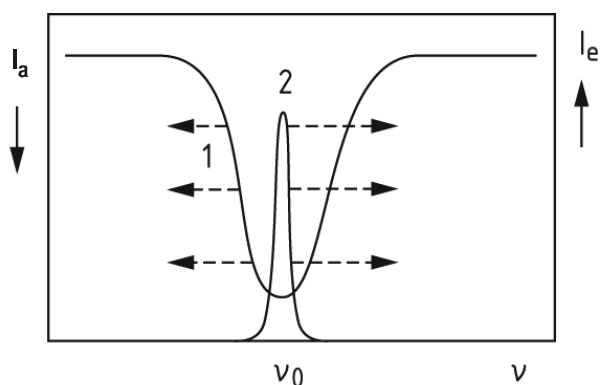


Fig. 1.32. Profilul unei linii de absorbție (1) în flacără și al unei linii de emisie (2) de la o lampă cu catod cavitărilor.

Din relația (1.35) rezultă că absorbția radiației este proporțională cu numărul de atomi din sursa de atomizare, deci cu concentrația. Determinarea absorbției integrate este însă foarte dificilă, deoarece necesită măsurarea valorilor I_ν , pentru un mare număr de frecvențe, corespunzând liniei spectrale de absorbție, deci utilizarea unui spectrometru cu o rezoluție foarte înaltă.

Se poate proceda, însă, în mod mult mai simplu, determinând absorbția unei radiații cu o bandă spectrală foarte îngustă, plasată exact la maximul benzii de absorbție de către atomi. O astfel de radiație este furnizată de lampa cu catod cavitărilor, ce are catodul din același element cu elementul de analizat. Se va măsura în acest caz coeficientul de absorbție maximă, k_{ν_0} , la centrul liniei de absorbție, care este proporțional cu numărul de atomi capabili să absoarbă radiația, aflați în sursa de atomizare.

$$k_{\nu_0} = KN_{\nu} \quad (1.36)$$

deci absorbția:

$$A = \log \frac{I_{o(\nu_0)}}{I_{\nu_0}} = \frac{KN_{\nu}l}{\log 10} = K'c \quad (1.37)$$

unde I_o și I reprezintă intensitatea incidentă, respectiv transmisă a radiației provenite de la lampa cu catod cavitărilor, iar C este concentrația elementului de analizat în vaporii atomici ai sursei de atomizare (C fiind proporțional cu N_ν).

Radiațiile emise de lampa cu catod cavitărilor vor trebui să aibă o bandă spectrală mai mică de 0,001 nm, care este lățimea unor linii înguste de absorbție, care există în spectrele de absorbție ale unor atomi.

1.5.2. Principiul aparaturii

În fig. 1.33 este prezentată schema bloc și principiul de funcționare al unui spectrometru de absorbție atomică. Pentru simplificarea reprezentării s-a considerat că linia de emisie a lămpii cu catod cavitărilor și linia de absorbție a radiației de către atomi au aceeași lățime a benzii spectrale.

Prin măsurarea intensității radiației transmise $I = (1 - x)I_0$, se poate determina absorbanta ce are valoarea $A = \log I_0/I$ și este proporțională cu concentrația speciei atomice în sistemul de atomizare (relația (1.37)).

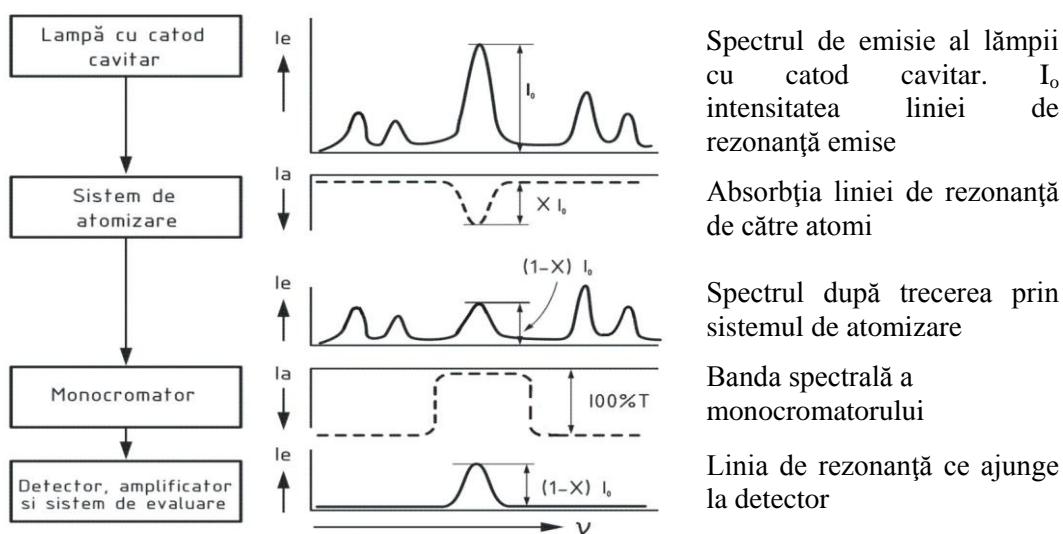


Fig. 1.33. Schema bloc și principiul de funcționare ale unui spectrometru de absorbție atomică.

Cel mai utilizat sistem de atomizare este flacăra, fiind ușor de folosit. Acest sistem de atomizare precum și interferențele care pot apărea la utilizarea lui au fost discutate în cadrul cap. 1.4.1. Pentru evitarea unora dintre deficiențele flăcărilor ca sisteme de atomizare, s-au propus sistemele de atomizare electrotermice. Dintre acestea menționăm cuptoarele de grafit tip Lvov și Massmann și filamentul de cărbune tip West.

La utilizarea unui sistem de atomizare electrotermică toți atomii de analizat dintr-o probă sunt transformați în vapori atomici practic în același timp și rămân în sistemul de atomizare putându-se măsura absorbția de către aceștia a radiației date de către lampa cu catod cavitărilor. Din acest motiv, sensibilitatea determinărilor este mare ($10^{-8} - 10^{-11}$ g). Pentru efectuarea unei determinări sunt necesare probe lichide cu volum foarte mic (5-10 μ L) sau se pot analiza chiar probe solide.

Efectele de matrice sunt însă mai importante decât în flacără, iar eroarea relativă a determinărilor este de 5-10% (mai mare decât în flacără).

Cel mai utilizat sistem de atomizare electrotermică este cuptorul de tip Massmann, prezentat în fig. 1.34.

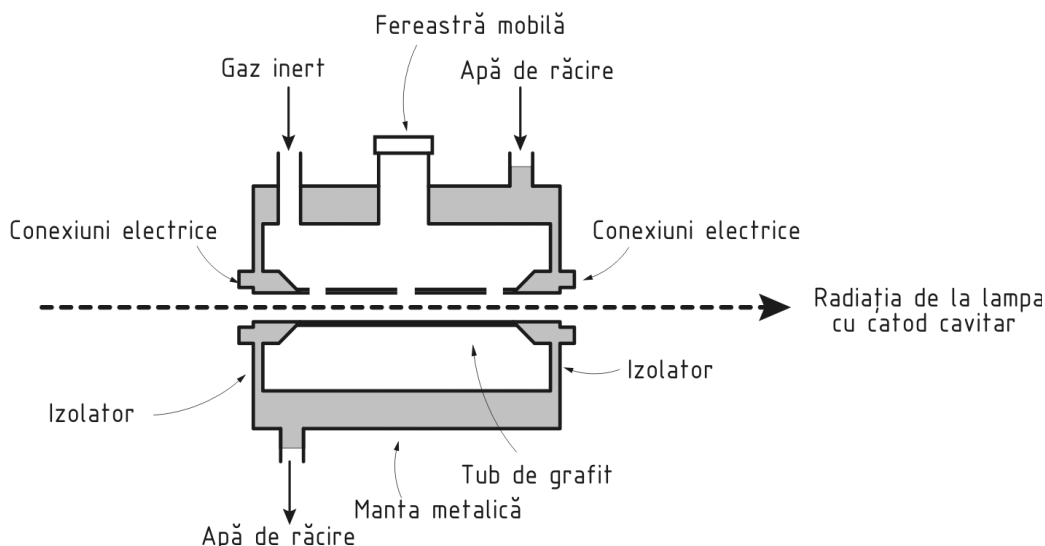


Fig. 1.34. Secțiune transversală printr-un cuptor de grafit de tip Massmann.

Cuptorul de grafit este de fapt un tub de grafit cu lungimea de aproximativ 30 mm și diametrul de 8 mm plasat orizontal, astfel ca radiația de la lampa cu catod cavităar să poată trece prin el. În interior, tubul este acoperit cu grafit pirolitic, pentru ca probele lichide sau vaporii rezultați în urma descompunerii termice să nu pătrundă în el. Acesta este conectat la capete la o sursă electrică de tensiune mică și intensitate mare. Probele lichide sunt introduse cu o seringă printr-un orificiu în partea centrală a tubului, prin îndepărtarea ferestrei mobile (fig. 1.34). Probele solide pot fi introduse pe la capetele acestuia în micronacele de tungsten. Un sistem de răcire cu apă, plasat în jurul tubului, permite revenirea acestuia la temperatura ambiantă în scurt timp după efectuarea unei analize. Un flux de gaz inert (argon sau azot) este introdus pe la capetele tubului, având rolul de a îndepărta din interiorul acestuia componentele matricei vaporizate din probă în etapa de calcinare și care, în etapa de atomizare, ar putea da naștere unei absorbții de fond pronunțate. Un al doilea flux de gaz inert circulă între tubul de grafit și mantaua exterioară, aceasta având rolul de a evita oxidarea grafitului la temperatura de lucru cu oxigenul din aer.

Pentru efectuarea unei analize se introduce o cantitate de probă în cuptorul de grafit și acesta este încălzit după un anumit program de temperatură. Programul de temperatură este stabilit în funcție de natura probei și constă din trei etape: uscare, calcinare și atomizare.

În prima etapă, proba este încălzită la 110-125 °C, timp de 20-30 s pentru evaporarea solventului și a componentelor mai volatile ale matricei.

În etapa a doua, temperatura este mărită, având loc volatilizarea unor compuși și piroliza componentelor ce constituie matricea probei, ca de exemplu, compușii organici.

În etapa a treia, proba este încălzită la temperaturi înalte (2000-3000 °C), când are loc transformarea în vapori atomici a elementului de analizat. În această etapă se înregistrează absorbția radiației emise de lampa cu catod cavitat de către vaporii atomici, în funcție de timp.

Durata totală a atomizării este de ordinul 4-8 s. Semnalul înregistrat este sub forma unui maxim de absorbție a cărui înălțime (sau suprafață pentru determinări mai precise) este proporțională cu cantitatea din elementul de analizat.

Limita de detecție pentru absorbția atomică fără flacără este cu 2-3 ordine de mărime mai coborâtă (deci concentrațiile determinate sunt mai mici) decât pentru absorbția atomică în flacără, atomii volatilizați rămânând un timp mult mai lung în drumul optic al radiației provenite de la lampa cu catod cavitat.

1.5.3. Analiza cantitativă

În fig. 1.35 se prezintă tipuri de grafice de calibrare pe baza cărora se pot face determinări cantitative prin absorbție atomică. Domeniul de concentrații pentru un element care poate fi determinat este de 4-5 ordine de mărime.

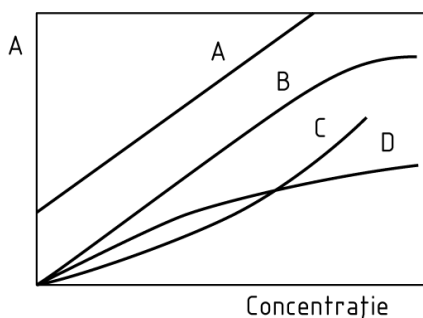


Fig. 1.35. Tipuri de grafice de calibrare în spectrometria de absorbție atomică. Explicații în text.

Pentru concentrații mari, frecvent apare o curbă a dreptei spre axa de concentrații (curbă *B*). Mai puțin frecvent, graficul de calibrare este curb pe întregul domeniu de concentrații (curba *D*). Curba *A* nu trece prin origine datorită absorbției nespecifice, adică absorbției radiației date de lampa cu catod cavitat nu numai de către atomii probei de analizat, ci și de alte specii prezente în flacără.

Aceasta determină existența unei absorbții de fond.

Legea Lambert-Beer este respectată pentru o radiație cu o bandă spectrală foarte îngustă practic monocromatică, dacă însă monocromatorul nu separă o radiație practic monocromatică, va rezulta o curbă de calibrare nelineară (curbele *B* și *D*). Radiația poate fi nemonocromatică datorită faptului că prin monocromator trec mai multe linii cu coeficienți de absorbție diferiți (multipleți nerezolvați sau linii care nu sunt absorbite). De asemenea, se obține o curbă de calibrare de tip *D* atunci când lățimea liniei de emisie este egală sau mai mare decât a liniei de absorbție (aceasta datorită variației lui *k* cu frecvența).

Procese de ionizare în sursa de atomizare determină o curbă de calibrare spre axa absorbanțelor (curba *C*). Aceasta deoarece ionizarea atomilor crește la concentrații mici și descrește la concentrații mari.

Interferențele care pot avea loc la atomizarea probelor în flacără au fost discutate în capitolul 1.4.1. Din cauza lățimii reduse a liniilor atomice de absorbție ale elementelor, numai în puține cazuri apare o suprapunere a acestora.

Interferențele datorită blocării atomilor de analizat în compuși care nu sunt volatilizați și descompuși în atomi (interferențe chimice) și interferențele datorită ionizării pot fi eliminate prin introducerea în proba de analizat a unui element ce se combină cu specia ce formează compusul greu dissociabil și/sau a unui element ușor ionizabil.

Prin absorbție atomică se pot determina aproximativ 60 elemente.

Sensibilitatea și limita de detecție

Prin sensibilitate în cazul acestei metode de analiză se înțelege concentrația unui element în $\mu\text{g/mL}$ (sau ppm) care produce un semnal cu valoarea de 99% în transmitanță, deci o scădere a transmitanței cu 1% (la care corespunde o valoare a absorbanței de 0,0044, $A = \log(1/0.99)$).

Limita de detecție se definește drept concentrația elementului care produce un semnal de două ori (sau de trei ori) mai mare decât deviația standard a zgomotului de fond al aparatului. Limita de detecție este mai coborâtă decât sensibilitatea, dar la aceste concentrații nu se pot face determinări cantitative.

În tabelul 1.5 se prezintă sensibilitatea determinării unor elemente prin absorbție atomică în flacără și cu atomizare electrotermică.

Valorile prezentate în tabelul 1.5 nu trebuie luate în mod absolut, ele depinzând de o serie de factori cum ar fi lățimea benzii spectrale a monocromatorului, temperatura sursei de atomizare, sensibilitatea detectorului aparatului etc.

La utilizarea cuptorului de grafit drept sistem de atomizare, atât sensibilitatea cât și limita de detecție sunt în general cu aproximativ două-trei ordine de mărime mai coborâte (deci sensibilitatea determinărilor este mai mare) decât la utilizarea flăcării.

Tabelul 1.5. Sensibilitatea determinării unor elemente prin absorbție atomică în flacără și cu atomizare electrotermică

Element	AA în flacără (ppm)	AA cu atomizare electrotermică (ppm)
As	0,1	0,0002
Ba	0,2	0,00006
Ca	0,02	0,0004
Cd	0,01	0,000003
Co	0,07	0,00006
Cu	0,04	0,00004
Fe	0,06	0,000008
Hg	2,20	0,0005
Mg	0,003	0,000007
Pb	0,1	0,00005
Zn	0,009	0,000002

Deși selectivitatea determinărilor prin absorbție atomică este bună, în unele cazuri pot să apară efecte de matrice. Pentru ca efectele de matrice să nu denatureze rezultatul analizei, este necesar ca etaloanele și probele de analizat să aibă o compoziție cât mai asemănătoare. De asemenea, se poate aplica și metoda adaosurilor.

1.6. SPECTROMETRIA DE RAZE X

Razele X pot fi utilizate în chimia analitică pentru analize calitative, cantitative și de structură.

Într-o primă categorie de metode, analiza se face pe baza razelor X emise de atomii probei. Prin determinarea lungimilor de undă ale radiațiilor emise se poate face o analiză calitativă, iar prin determinarea intensității acestora, o analiză cantitativă.

Într-o a doua categorie de metode, analiza se face pe baza razelor X absorbite de atomii probei de analizat. În spectrele de absorbție a razelor X apar discontinuități caracteristice la anumite lungimi de undă, pentru care energia acestora este suficientă pentru a smulge un electron de pe un strat interior al

atomului (capitolul 1.1.3.2). Pe baza poziției acestor discontinuități se poate face analiza calitativă. Prin măsurarea coeficientului de absorbție de masă se poate face analiza cantitativă.

Spectrele de emisie și absorbție a razelor X pentru un anumit element sunt mult mai simple decât cele de emisie și absorbție în domeniul vizibil și ultraviolet. Aceasta deoarece spectrele de raze X apar în urma unor tranziții între stări energetice ale electronilor din straturile interne ale atomului, numărul de electroni, de stări energetice și de tranziții permise fiind mai redus pentru aceste straturi.

Cea de a treia categorie de metode se bazează pe difracția razelor X de către planurile de atomi ale unor cristale. Această metodă se utilizează în special pentru analize de structură și pentru determinarea fazelor cristaline, dar poate fi utilizată și pentru determinări cantitative. Difracția razelor X nu aparține metodelor spectrometrice de analiză și va fi discutată într-un capitol separat.

1.6.1. Principiul aparaturii

Pentru efectuarea unor determinări utilizând raze X sunt necesare: o sursă de radiații, un sistem de separare a radiațiilor și un detector.

O sursă de raze X (numită și tub de raze X) constă dintr-o incintă vidată în care se găsește un catod încălzit (ce emite electroni) și un anod (fig. 1.36). Electronii emiși de catod sunt accelerați de un câmp electric de înaltă tensiune spre anod. Între catod și anod se aplică o diferență de potențial de ordinul 10.000-100.000 V. Electronii transferă energia lor cinetică atomilor anodului. O parte din energia primită este emisă sub forma unui spectru continuu, așa numita radiație de frânare (fig. 1.37). Ea se datorează interacțiunii electronilor accelerați cu învelișurile de electroni ale atomilor.

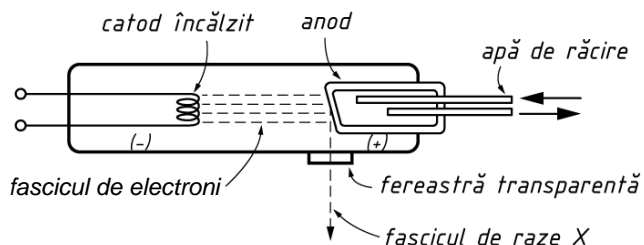


Fig. 1.36. Schema unui tub de raze X.

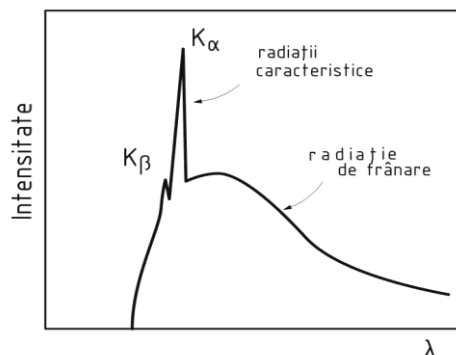


Fig. 1.37. Spectrul emis de un tub de raze X.

Dacă electronii care bombardează anodul au o energie suficientă ei pot smulge electroni de pe straturile interioare ale atomilor anodului. Locul rămas liber va fi ocupat imediat de un electron de pe un strat mai îndepărtat de nucleu, care va fi ocupat în continuare de un electron de pe un strat și mai îndepărtat (procesul repetându-se).

Atomul ionizat revine la starea normală într-o serie de etape, în cazul fiecăreia emițându-se radiații. În ultimele etape însă, fiind vorba de electroni din învelișurile exterioare, se vor emite radiații din domeniul vizibil și UV. Radiațiile emise se vor suprapune peste spectrul continuu dând naștere spectrului de raze X caracteristic atomilor anodului.

Spectrul de raze X al unui element poate fi obținut și prin iradierea probei cu un fascicul de raze X ce provine de la o sursă primară ce emite radiații cu o energie suficientă pentru a îndepărta electroni de pe învelișurile interne ale atomilor. Fenomenul se numește fluorescență de raze X.

Razele X mai pot fi produse și prin excitarea atomilor de către radiații ce provin de la surse radioactive, ca de exemplu ^{55}Fe sau ^{238}Pu .

Din razele X emise de o sursă se obține un fascicul paralel folosind colimatoare constituite din mai multe plăci metalice plasate paralel la mică distanță, care nu vor lăsa să treacă decât radiațiile paralele cu acestea.

Separarea razelor X în funcție de lungimea de undă se face cu cristale analizoare. În fig. 1.39 se prezintă drumul parcurs de razele X la reflexia pe planurile unui cristal. Vor fi separate radiațiile cu acele lungimi de undă care prezintă o interferență constructivă și pentru care este respectată relația lui Bragg:

$$n\lambda = 2d \sin \theta \quad (1.38)$$

unde:

d este distanța dintre planurile cristalului, θ este unghiul de incidență iar n este un număr întreg reprezentând ordinul de difracție.

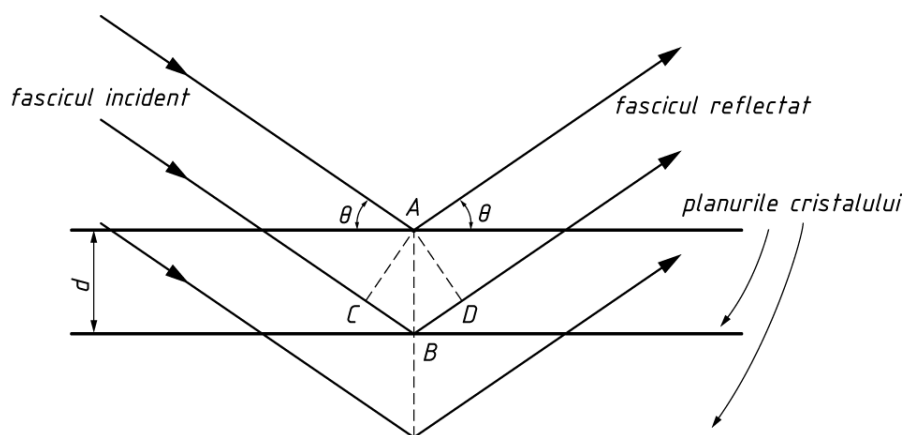


Fig. 1.38. Reflexia razelor X pe planurile unui cristal.

Din fig. 1.38 se vede că radiația reflectată de către al doilea plan al cristalului analizor parcurge o distanță \overline{CBD} în plus față de radiația reflectată de primul plan. Unghiurile CAB și BAD sunt egale cu θ . Deci $\overline{CB} = \overline{BD} = \overline{AB} \sin \theta$, iar \overline{AB} este distanța interplanară d . $\overline{CBD} = 2d \sin \theta$ va trebui să fie un multiplu întreg al lungimii de undă a razelor X reflectate pentru ca acestea să fie în fază și să interfere constructiv. Radiațiile cu alte lungimi de undă vor suferi o interferență distructivă.

Unghiul între prelungirea direcției fascicului incident și a celui reflectat este de 2θ . Pentru a separa razele X emise de probă în funcție de lungimea de undă, cristalul analizor este montat pe un goniometru (instrument ce măsoară unghiuri) și este rotit așa cum se prezintă în fig. 1.40. În tabelul 1.6 se prezintă mai multe cristale analizoare și caracteristicile acestora.

Tabelul 1.6. Cristale analizoare

Cristal	Distanța interplanară d , (nm)	Domeniul de utilizare (nm)	
		Maximum	Minimum
Topaz	0,136	0,262	0,0189
Fluorură de Li	0,201	0,389	0,0281
Aluminiu	0,234	0,452	0,0326
Clorură de Na	0,282	0,545	0,0393
Cuarț	0,334	0,646	0,0466

Grafit pirolitic	0,671	1,296	0,0936
Mică	0,996	1,925	0,139
Palmitat de plumb	4,560	7,830	0,639

Detectorii utilizați pentru razele X pot fi: camere de ionizare, contori Geiger-Muller, contori proporționali, detectori cu scintilație, cu semiconductori și emulsii fotografice.

1.6.2. Metode directe de analiză cu raze X

Se pot face analize calitative și cantitative pe baza spectrului de raze X emis de o probă plasată pe anodul unui tub de raze X. Metoda are însă dezavantaje: tubul de raze X trebuie vidat la efectuarea fiecărei analize, este necesar un anod demontabil, la interacția cu fasciculul de electroni proba se poate topi sau se poate volatiliza selectiv etc. Această metodă de analiză are o utilizare restrânsă.

Microsonda electronică. În cazul acestei metode, pe o suprafață foarte mică a probei de analizat, cu diametru de aproximativ 1 μm , este focalizat un fascicul de electroni. Bombardamentul cu electroni excită atomii, care emit spectrul caracteristic de raze X.

Limita de detecție este de ordinul 10^{-14} g. Exactitatea relativă este 1-2% cu condiția ca elementul de analizat să fie în concentrație mai mare (de câteva procente). Prin această metodă se pot analiza straturi foarte subțiri, fasciculul de electroni pătrunzând numai la 1-2 μm în proba de analizat.

În fig. 1.39 se prezintă schema unei microsonde electronice. Fasciculul de electroni este focalizat cu ajutorul unor lentile magnetice pe suprafața probei. Incinta în care se găsește proba este vidată.

Tot din cadrul metodelor directe de analiză cu raze X fac parte și metodele bazate pe absorbția razelor X, pe care însă nu le vom discuta, având o utilizare destul de restrânsă.

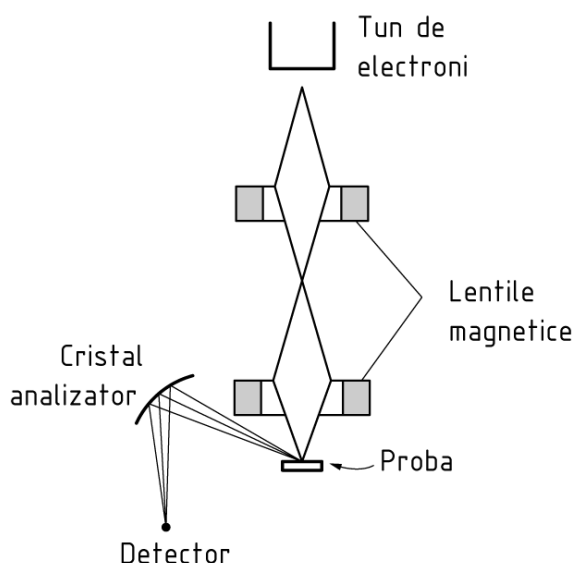


Fig. 1.39. Schema unei microsonde electronice.

1.6.3. Analiza prin fluorescență de raze X

Metoda constă în producerea spectrului de raze X caracteristic probei de analizat, folosind drept sursă de excitare un fascicul de raze X. Fasciculul incident trebuie să aibă o intensitate mare deoarece radiațiile X de fluorescență sunt aproximativ de 1000 de ori mai puțin intense decât cele obținute prin bombardarea directă cu electroni. De asemenea, pentru a excita fluorescența unui element, radiațiile primare trebuie să aibă o lungime de undă mai mică (energie mai mare) decât cele ale discontinuităților ce apar în spectrul de absorbție al elementului respectiv.

În fig. 1.40 se prezintă schema unui spectrometru de fluorescență de raze X. Razele X de fluorescență sunt colimate pe suprafața cristalului analizor care realizează separarea acestora în funcție de lungimea de undă, conform relației lui Bragg. Radiațiile reflectate de planurile cristalului trec printr-un al doilea colimator și ajung la detectorul de radiații. La rotirea cristalului cu unghiul θ detectorul se rotește cu unghiul 2θ . În acest fel se obține spectrul de raze X, în care se reprezintă intensitatea radiațiilor X în funcție de unghiul 2θ .

Analiza calitativă se face pe baza poziției picurilor de fluorescență în spectru. Analiza cantitativă se face determinând intensitatea radiațiilor caracteristice emise de un element. Pentru obținerea unor rezultate corecte, de mare importanță este pregătirea probelor pentru analiză. La analiza unor probe solide, acestea trebuie să fie într-o stare fizică cât mai asemănătoare cu a standardelor.

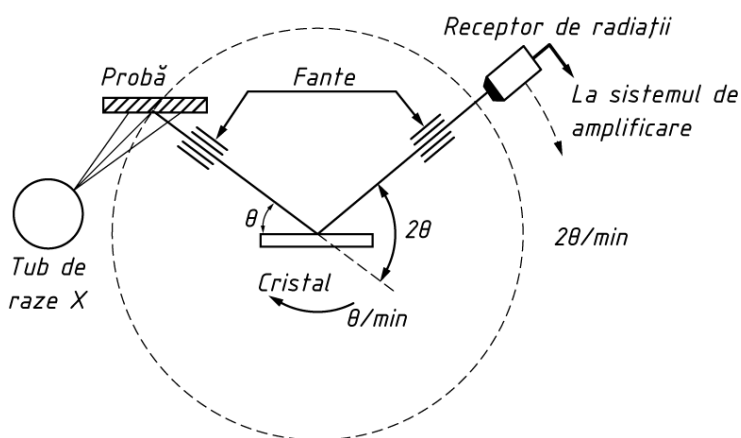


Fig. 1.40. Schema unui spectrometru de fluorescență de raze X.

Este importantă forma și mărimea particulelor, deoarece acestea determină gradul în care razele X incidente sunt absorbite sau împrăștiate. Pulberile sunt presate sub forma unor pastile pentru care se face analiza. Erorile sunt mult mai reduse dacă se lucrează cu probe lichide.

Pentru a reduce efectele de matrice, proba se poate dilua cu un material ce are o absorbție redusă, ca de exemplu: amidon, carbonat de litiu, borax etc. Efectul elementelor ce constituie matricea este micșorat apreciabil datorită diluării, având loc totodată o scădere corespunzătoare a intensității radiațiilor de fluorescență. O altă metodă pentru a reduce efectele de matrice constă în folosirea unui standard intern, față de care se măsoară intensitatea radiațiilor de fluorescență. Este însă necesar ca efectele de matrice să aibă aceeași influență asupra radiațiilor emise de standardul intern și de elementul de analizat.

Fluorescența de raze X este o metodă precisă de analiză. Pentru componenții aflați în concentrație mare, precizia este de același ordin de mărime cu a metodelor chimice de analiză. În general, pentru a putea fi determinat prin această metodă, un element trebuie să fie în concentrație mai mare de 0,01-0,1%. Limita absolută de detecție prin fluorescență cu raze X este însă 10^{-8} g.

Metoda este selectivă, apărând foarte puține interferențe spectrale datorită simplității relative a spectrului de raze X. Alt avantaj este acela că metoda este nedistructivă.

1.7. METODE SPECTROMETRICE DE ABSORBȚIE MOLECULARĂ ÎN DOMENIUL VIZIBIL ȘI ULTRAVIOLET

1.7.1. Legea fundamentală a absorbției radiației

În studiile cantitative de absorbție, un fascicul al radiației este trecut prin proba de analizat și se măsoară intensitatea radiației transmise. Să considerăm că radiația folosită este monocromatică și că scăderea intensității radiației transmise se datorează *numai absorbției*. Proba de analizat se introduce într-o celulă cu fețe plan paralele. Determinările se fac de obicei față de o probă de referință, de comparație, conținută într-o celulă de aceleași dimensiuni cu cea în care se află proba de analizat. Proba de referință conține în mod obișnuit solventul și constituenții probei, cu excepția speciei a cărei absorbantă o măsurăm. Cu o asemenea soluție de referință în celulă, intensitatea radiației transmise reprezintă intensitatea radiației incidente minus cea pierdută prin difuzie, reflecție și orice absorbție datorată altor constituenți.

Să notăm intensitatea radiației incidente cu I_0 și cea a radiației transmise prin proba de analizat cu I_t .

Referindu-ne la fig. 1.41, dI reprezintă scăderea intensității radiației în stratul infinit mic dl . dI este proporțional cu I , unde I , este intensitatea radiației în acel punct. Scriem $-dI$ deoarece este vorba de o scădere a intensității radiației.

$$-dI = kI dl \quad (1.39)$$

unde k este o constantă de proporționalitate caracteristică speciei absorbante și energiei fotonilor. Rearanjând relația (1.39) obținem:

$$-\frac{dI}{I} = k dl \quad (1.40)$$

Integrând ecuația (1.40) pentru întreg drumul parcurs de radiații, l :

$$-\int_{I_0}^{I_t} \frac{dI}{I} = k \int_0^l dl \quad (1.41)$$

obținem:

$$\ln \frac{I_0}{I_t} = kl \quad \text{sau} \quad I_t = I_0 e^{-kl} \quad (1.42)$$

care este legea Lambert.

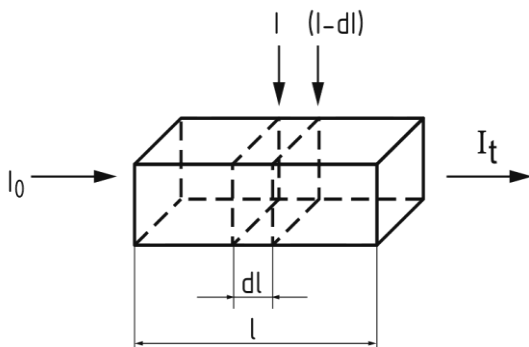


Fig. 41. Procesul de absorbție al radiației.

Trecând de la logaritmi naturali la cei în baza 10, obținem:

$$2,303 \log \frac{I_0}{I_t} = kl \quad \text{sau} \quad \log \frac{I_0}{I_t} = k'l \quad (1.43)$$

unde $k' = 0,4343 k$. Foarte frecvent intensitatea radiației transmise se notează cu I (fără indicele t) notație pe care o vom folosi în continuare.

Beer a stabilit că atunci când absorbția radiației se datorează unei specii dizolvate, constanta de proporționalitate k' este funcție de concentrația acesteia:

$$k' = ac \quad (1.44)$$

cele două legi combinate devin:

$$\log \frac{I_0}{I} = acl \quad (1.45)$$

care este expresia legii Lambert-Beer. Dacă grosimea probei este exprimată în cm și concentrația în grame de substanță pe litru de soluție, constanta a este numită absorbțivitate specifică și se exprimă în $L \, g^{-1} \, cm^{-1}$. Frecvent c se exprimă în moli/L iar l în cm, în aceste condiții constanta a se notează cu ϵ , care se numește absorbțivitate molară sau coeficient molar de absorbție. Ecuația (1.45) devine:

$$\log \frac{I_0}{I} = \varepsilon cl = A \quad (1.46)$$

unde A se numește absorbantă.

ε se exprimă în $L \text{ mol}^{-1} \text{ cm}^{-1}$. Valoarea ε este caracteristică unei specii absorbante, într-un mediu (solvent) anumit și pentru o anumită lungime de undă. Valoarea ε este independentă de concentrație.

Raportul I/I_0 se numește transmitanță (notată cu T) care este fracțiunea din intensitatea radiației incidente ce este transmisă de probă. Transmitanța procentuală este definită ca $T \times 100$ și se notează cu $T\%$:

$$-\log T = \log \frac{I_0}{I} = \varepsilon cl = A \quad (1.47)$$

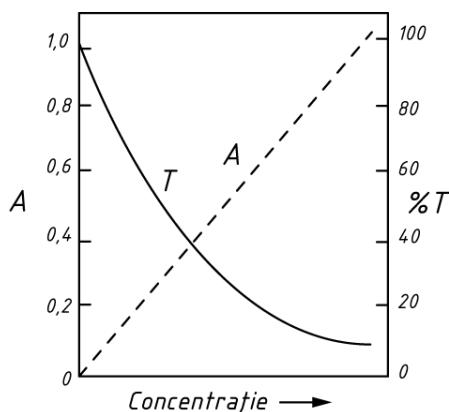
În deducerea legii Lambert-Beer, exprimată prin relația (1.46) s-a considerat că:

- radiația incidentă este monocromatică,
- speciile absorbante acționează independent una de alta în procesul de absorbție.

Ecuția (1.46) ne indică faptul că, măsurând absorbanta sau transmitanța se poate determina concentrația dacă se cunosc ε și l .

Relațiile dintre absorbantă, transmitanță și concentrație la o anumită lungime de undă sunt ilustrate în fig. 1.42.

Fig. 1.42. Absorbanta și transmitanța reprezentate în funcție de concentrație la o lungime de undă și grosime de strat date.



În fig. 1.43 este prezentată relația între transmitanța la sută și absorbantă.

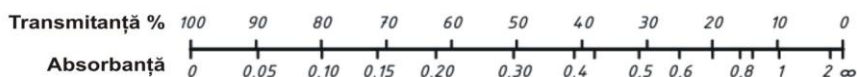


Fig. 1.43. Relația între $T\%$ și A .

Sisteme multicomponente

Pentru sisteme cu mai multe componente absorbante se poate considera că, în procesul de absorbție, acestea acționează independent una de alta și absorbanțele lor sunt aditive. O asemenea situație este prezentată în fig. 1.44:

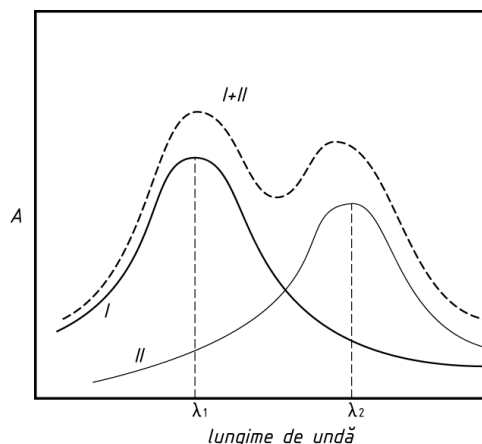


Fig. 1.44. Spectrele a două componente care se suprapun parțial și spectrul amestecului.

În general, dacă sunt n componente, expresia absorbanței amestecului la o lungime de undă λ se poate scrie astfel:

$$A^{\lambda} = \sum^n A_n^{\lambda} = \sum^n \epsilon_n^{\lambda} c_n l \quad (1.48)$$

În principiu, sunt necesare n măsurători de absorbanță la n lungimi de undă pentru a determina concentrația a n componente într-un amestec. Lungimile de undă trebuie astfel alese încât să fie diferențe cât mai mari între absorbivitățile molare ale diferitelor specii la λ respectiv. Se obține un sistem de n ecuații cu n necunoscute (concentrațiile c_n) prin a cărui rezolvare se află concentrațiile compuşilor de analizat.

Abateri de la legea Lambert-Beer

Legea Lambert-Beer se aplică pentru orice mediu solid, lichid sau gazos cu condiția ca radiația folosită să fie monocromatică și ca scăderea intensității acesteia să se datorească numai absorbției. Abaterile de la legea Lambert-Beer sunt de trei tipuri: reale, instrumentale și chimice.

Abateri reale apar pentru sistemele în care concentrația speciei absorbante este prea mare și are loc o modificare a indicelui de refracție al soluției de analizat față de cel al probei de comparație (o situație similară apare și la utilizarea unor amestecuri de solvenți organici cu apă). Din acest motiv, în general, concentrația

speciei de analizat trebuie să fie mai mică de $10^{-2}M$.

Abaterile instrumentale se datorează în primul rând faptului că nu se utilizează o radiație strict monocromatică pentru efectuarea măsurătorilor, așa cum s-a avut în vedere la deducerea legii Lambert-Beer. Este practic imposibil de a separa o radiație perfect monocromatică dintr-o sursă continuă. Se obține o bandă a cărei lățime depinde de elementul dispersiv și de lățimea fantelor.

Cu excepția cazului când absorbivitatea molară este aceeași pentru diferitele lungimi de undă din cadrul benzii spectrale utilizate, absorbanta măsurată ar trebui să fie o medie a absorbanțelor din cadrul benzii spectrale. Datorită însă naturii logaritmice a absorbanței, aceasta nu este o adevărată medie. Vor apărea erori atunci când absorbivitățile molare variază semnificativ pentru radiațiile de diferite lungimi de undă din cadrul benzii spectrale, deci atunci când determinările nu se fac la un maxim de absorbție ci pe porțiunea înclinată a curbei de absorbție (fig. 1.45).

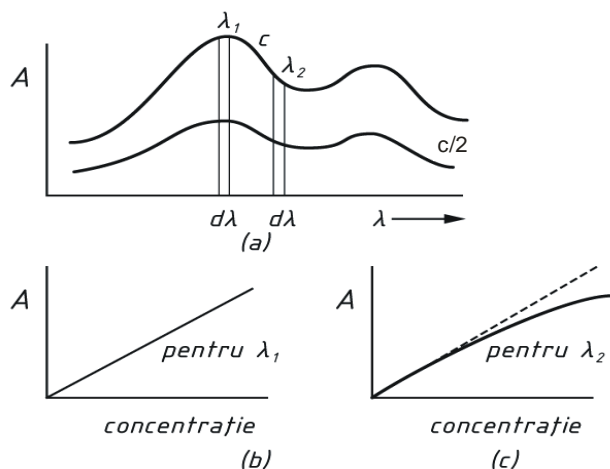


Fig. 1.45. Efectul utilizării unei benzi spectrale. (a) Un component la două concentrații, (b) Curbă de calibrare liniară la λ_1 . (c) Curbă de calibrare neliniară la λ_2

Este de dorit să lucrăm cu benzi spectrale înguste pentru exactitate mare, dar pe măsură ce banda se îngustează, la detector ajunge o energie din ce în ce mai redusă, ceea ce face mai dificile determinările. Abaterile de la legea Lambert-Beer sunt mai mari pentru benzi spectrale largi decât pentru benzi spectrale înguste.

Alte cauze de natură instrumentală ce determină abateri de la legea Lambert-Beer includ: 1) – variația în sensibilitatea detectorului; 2) – variația în timp a intensității radiației emise de sursă; 3) – radiația parazită a aparatului care ajunge la detector.

Celulele în care se fac determinările de absorbantă trebuie să fie perfect

calibrate și foarte curate, de asemenea, soluțiile utilizate nu trebuie să conțină suspensii, care ar conduce la scăderea intensității fasciculului incident prin difuzia radiației.

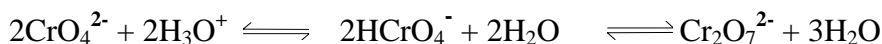
Abateri chimice. Sunt determinate de deplasarea unui echilibru chimic în care sunt implicate speciile absorbante.

Să considerăm cazul unui acid slab HA care, în soluție apoasă poate disocia. Absorbanța soluției la o anumită lungime de undă va fi dată de relația:

$$A = \varepsilon_{HA}(1 - \alpha)cl + \varepsilon_A \cdot \alpha cl$$

c este egal cu $[HA] + [A^-]$, $\varepsilon_{A^-} \neq \varepsilon_{HA}$, iar α este gradul de disociere. La diluarea soluției acidului respectiv, α va varia, fiind funcție de concentrație, ceea ce face să nu fie o dependență liniară între absorbanță și concentrație, deci să nu se respecte legea Lambert-Beer.

O soluție apoasă de bicromat ne oferă un alt exemplu de nerespectare a legii Lambert-Beer. În acest sistem sunt prezente speciile CrO_4^{2-} , $HCrO_4^-$, $Cr_2O_7^{2-}$ care, toate absorb radiații, având însă absorbivități molare diferite la o anumită lungime de undă. Concentrația relativă a celor trei specii depinde de concentrația totală a Cr(VI) și de pH. În soluție sunt prezente echilibrele:



La diluarea soluției cu apă, vor apărea abateri de la legea Lambert-Beer. În mediu puternic acid, practic tot Cr(VI) este trecut în $Cr_2O_7^{2-}$ iar în mediu puternic bazic, Cr(VI) este prezent sub forma CrO_4^{2-} . În ambele cazuri, legea Lambert-Beer se va respecta.

Temperatura influențează valorile absorbanței și în general creșterea ei are un efect batocrom asupra maximelor de absorbție. Totuși, nu este necesar de a se lucra în regim termostatat decât pentru determinări foarte precise, fluctuații mici ale temperaturii probelor ($\pm 1-2^\circ C$) influențând în mică măsură valorile absorbanțelor.

1.7.2. Eroarea fotometrică. Condiții pentru o eroare minimă la determinarea absorbanței

Există întotdeauna o eroare în determinarea absorbanței sau transmitanței. Avem astfel o eroare de citire a scalei instrumentului de măsură, care depinde de un număr de factori instrumentali și de zona scalei în care se face citirea. Aceste erori sunt mai pronunțate pentru valori mari ale absorbanței. Erorile datorită citirii scalei instrumentului de măsură pot fi reduse mult prin extensia scalei pe cale optică, mecanică sau electronică. La valori mici ale absorbanței, intensitățile

radiațiilor incidente și transmise sunt foarte apropiate, din acest motiv va fi o eroare relativ mare în determinarea absorbantei pe care instrumentul o determină ca logaritmul raportului celor două intensități (relația 1.46)). Pe de altă parte, la valori mari ale absorbantei, intensitatea radiației ce ajunge la detector este prea mică pentru a putea fi măsurată exact.

Pentru instrumentele moderne, factorul principal care limitează precizia determinărilor cantitative este zgomotul de fond al aparatului, aceasta chiar în condițiile unui mod de operare foarte atent. Zgomotul de fond reprezentând de fapt fluctuațiile aleatoare ale semnalului ce ajunge la detector și ale răspunsului detectorului.

Să discutăm influența zgomotului de fond al răspunsului detectorului asupra preciziei determinărilor. Zgomotul de fond al răspunsului detectorului poate fi independent de intensitatea radiației ce ajunge la el, cum este cazul detectorilor termici (termocuple, bolometre, celule pneumatice Golay) sau să fie proporțional cu rădăcina pătrată a intensității radiației ce ajunge la el, cum este în cazul detectorilor fotoemisivi (fotocelule, tuburi fotomultiplicatoare).

Să considerăm cazul în care zgomotul de fond în răspunsul detectorului este independent de intensitatea radiației ce ajunge la el. Eroarea relativă în determinarea unei concentrații c , este $\Delta c/c$, unde Δc reprezintă eroarea absolută și va fi determinată de fluctuațiile în răspunsul detectorului. Din legea Lambert-Beer obținem:

$$c = \frac{1}{\epsilon l} \log \frac{I_0}{I} \quad (1.49)$$

$$dc = \frac{-1}{2,3\epsilon l} \frac{dI}{I} \quad (1.50)$$

sau:

$$\frac{\Delta c}{c} = \frac{-\Delta I}{2,3AI} \quad (1.51)$$

Astfel, eroarea relativă în concentrație, $\Delta c/c$, este invers proporțională cu produsul absorbantei și al intensității radiației transmise. Să presupunem că ΔI , eroarea în măsurarea intensității radiației (datorită zgomotului de fond) este constantă. Valoarea minimă a erorii relative se determină punând condiția ca derivata să fie egală cu 0.

$$\frac{d}{dI} \left(\frac{\Delta c}{c} \right) = \frac{-\Delta I}{2,3} \frac{d}{dI} \left(I \log \frac{I_0}{I} \right)^{-1} = \frac{-\Delta I}{2,3} \left(I \log \frac{I_0}{I} \right)^{-2} \left(\log \frac{I_0}{I} - 0,4343 \right) = 0 \quad (1.52)$$

Această condiție va fi satisfăcută dacă:

$$A = \lg \frac{I_o}{I} = 0,4343$$

respectiv:
$$T = \frac{I}{I_o} = \frac{1}{e} = 0,3679 = 36,8\%$$

Din fig. 1.46 rezultă că eroarea relativă în determinarea concentrației este minimă și practic constantă în domeniul de absorbantă 0,3-0,7, domeniu în care este indicat să facem măsurătorile.

În al doilea caz, zgomotul de fond în răspunsul detectorului este proporțional cu radicalul intensității radiației ce ajunge la el, $\Delta I = kI^{1/2}$, unde k este o constantă de proporționalitate.

Înlocuind în relația (1.51) ΔI cu $kI^{1/2}$ obținem expresia erorii relative în concentrație:

$$\frac{\Delta c}{c} = \frac{-k}{2,3} \left(I^{\frac{1}{2}} \lg \frac{I_o}{I} \right)^{-1} \quad (1.53)$$

Diferențiind:

$$\frac{d}{dI} \left(\frac{\Delta c}{c} \right) = \frac{-k}{2,3} \frac{d}{dI} \left(I^{\frac{1}{2}} \lg \frac{I_o}{I} \right)^{-2} \left(\frac{1}{2} I^{\frac{1}{2}} \lg \frac{I_o}{I} - I^{\frac{1}{2}} (0,4343 I^{-1}) \right) = 0 \quad (1.54)$$

Eroarea relativă minimă va fi la acea concentrație careia îi corespunde o intensitate a radiației transmise pentru care avem:

$$A = \lg \frac{I_o}{I} = 2 \times 0,4343 = 0,8686$$

$$T = \frac{I}{I_o} = 0,135 = 13,5\%$$

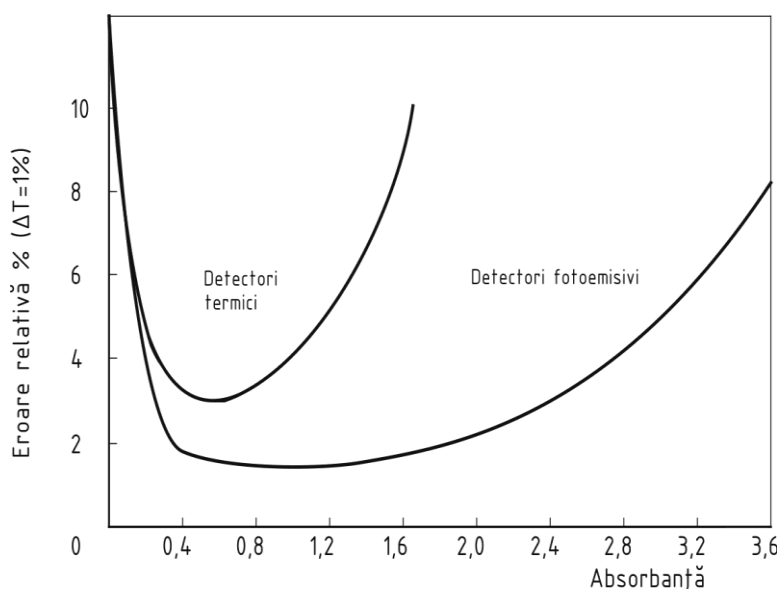


Fig. 1.46. Eroarea relativă, $\Delta c/c$, în procente, în funcție de absorbantă, pentru care eroarea în evaluarea transmitanței este constantă, de 1% ([21] p. 74).

Din fig. 1.46 se poate vedea că domeniul de absorbante pentru care eroarea relativă în determinarea concentrației este mică este mult mai larg în cazul detectorilor fotoemisivi față de cei termici.

1.7.3. Corelarea spectrelor electronice de absorbție cu structura moleculară

Spectrele de absorbție moleculară în domeniul vizibil și UV se datoresc tranziției unor electroni din orbitali moleculari de legătură sau nelegătură aflați în stare fundamentală, în orbitali moleculari de antilegătură care corespund unor stări excitate. Energiile electronilor din stările moleculare fundamentale și stările excitate sunt determinate de structura moleculei. Peste tranzițiile electronice se suprapun tranziții între stări energetice de vibrație și rotație. Din acest motiv, spectrele obținute au maxime de absorbție late.

Poziția benzilor de absorbție electronică este caracteristică unei anumite dispoziții a electronilor în moleculă. Spectrul va fi determinat însă în primul rând de întreaga structură a moleculei și mai puțin de prezența unor anumite legături. Informațiile calitative și structurale date de un spectru molecular în domeniul vizibil și ultraviolet sunt mult mai reduse decât cele oferite de un spectru în domeniul IR.

În domeniul spectral cuprins între 200 și 800 nm, cele mai obișnuite tranziții sunt cele de la un orbital π sau n la orbitali de antilegătură π^* , notate cu $\pi \rightarrow \pi^*$ și

$n \rightarrow \pi^*$.

Termenii uzuali folosiți la discutarea spectrelor electronice sunt: cromofor, auxocrom; efecte: batocromic, hipsocromic, hipercromic și hipocromic.

Cromoforii sunt grupări de atomi care absorb radiații din ultravioletul apropiat, $\lambda > 200$ nm sau din domeniul vizibil, atunci când ei sunt legați de un schelet neabsorbant saturat care nu posedă electroni neparticipanți (de exemplu un lanț de hidrocarbură). Cei mai mulți cromofori au legături duble sau triple.

Auxocromii sunt grupări de atomi, ca de exemplu -OH, -NH₂, -Cl etc., care au electroni de valență de nelegătură (neparticipanți) și care nu absorb radiații la $\lambda > 200$ nm (prezintă însă absorbantă intensă în UV îndepărtat, prin tranziții $n \rightarrow \sigma^*$).

Atunci când un auxocrom este atașat la un cromofor, banda de absorbție a cromoforului se deplasează de obicei la lungimi de undă mai mari (efect batocromic) și are loc o intensificare a absorbției, efect hipercromic (crește valoarea absorbtivității molare ϵ , la λ_{\max}).

Efectul auxocromic este determinat aparent de interacția electronilor de nelegătură, electroni liberi de valență, cu norul de electroni π delocalizați, ca urmare stabilizându-se starea excitată π^* .

Efectul hipsocromic constă în deplasarea benzilor de absorbție la lungimi de undă mai mici, iar efectul hipocromic în micșorarea absorbției radiației (micșorarea lui ϵ , la o anumită lungime de undă).

În tabelul 1.7 se prezintă maximele de absorbție pentru unii cromofori. Benzile de absorbție mai intense corespund unor tranziții cu probabilitate mai mare, $\pi - \pi^*$, iar benzile de intensitate mai mică sunt datorare unor tranziții cu probabilitate mai redusă.

Moleculele cu doi sau mai mulți cromofori izolați, de același tip, separați prin mai multe legături simple, vor absorbi radiația practic la aceeași lungime de undă ca și moleculele cu un singur cromofor. Intensitatea absorbției va fi însă proporțională cu numărul cromoforilor.

Când doi cromofori sunt separați printr-o legătură simplă, apare conjugarea electronilor, ceea ce duce la o schimbare importantă a spectrului de absorbție.

Tabelul 1.7. Benzi caracteristice pentru unii cromofori comuni

Cromofor	Tipul de compus	Exemplu	Solvent	Benzi de absorbție	
				λ_{\max} (nm)	ϵ_{\max} (L mol ⁻¹ cm ⁻¹)
0	1	2	3	4	5
Carbonil	$\begin{array}{c} \text{R} \\ \diagdown \\ \text{C} = \text{O} \\ \diagup \\ \text{R} \end{array}$	Acetonă	Hexan	189	900
Carbonil (aldehidă)	$\begin{array}{c} \text{O} \\ \parallel \\ \text{R} - \text{C} \\ \diagdown \\ \text{H} \end{array}$	Acetaldehidă	Hexan	180 290	10000 17
Carboxil	$\begin{array}{c} \text{O} \\ \parallel \\ \text{R} - \text{C} \\ \diagdown \\ \text{OH} \end{array}$	Acid acetic	Etanol 95%	208	32
Amido	$\begin{array}{c} \text{O} \\ \parallel \\ \text{R} - \text{C} \\ \diagdown \\ \text{NH}_2 \end{array}$	Acetamidă	Apă	220	63
Nitro	$\text{R} - \text{NO}_2$	Nitrometan	Metanol	201	5000
Nitrozo	$\text{R} - \text{N} = \text{O}$	Nitrozobutan	Eter etilic	300 665	100 20
Azo	$\text{R} - \text{N} = \text{N} - \text{R}'$	Azometan	Etanol 95%	338	4

În sistemele conjugate, distribuția electronilor π este delocalizată pe cel puțin patru atomi ceea ce determină o descreștere în energia tranzițiilor $\pi \rightarrow \pi^*$. Absorbția radiației va crește datorită unei probabilități mai mari a tranziției. Pe măsură ce lungimea sistemelor conjugate crește, benzile de absorbție se deplasează la lungimi de undă mai mari.

Compușii carotenoizi prezenți în plante conțin un mare număr de duble legături alchenice conjugate. β -carotenul (cu o structură asemănătoare cu a două molecule de vitamina A₁ cuplate cap la cap) este un carotenoid cu 11 duble legături conjugate. Maximul său de absorbție, foarte intens, datorat unei tranziții $\pi \rightarrow \pi^*$, este complet deplasat în domeniul vizibil, $\lambda_{\max} = 451$ nm, $\epsilon_{\max} = 13800$ L mol⁻¹cm⁻¹ (tranziția $\pi \rightarrow \pi^*$ apare pentru etilenă la 165 nm). Structura și

spectrul de absorbție al trans- β -carotenului sunt prezentate în fig. 1.47.

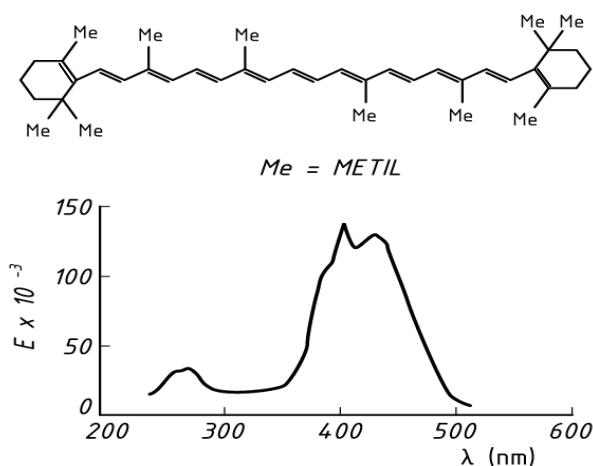


Fig. 1.47. Structura și spectrul de absorbție al trans- β -carotenului

Spectrometria în UV permite diferențierea izomerilor geometrici ai unor acizi grași nesaturați în lipide (fig. 1.48) [1]:

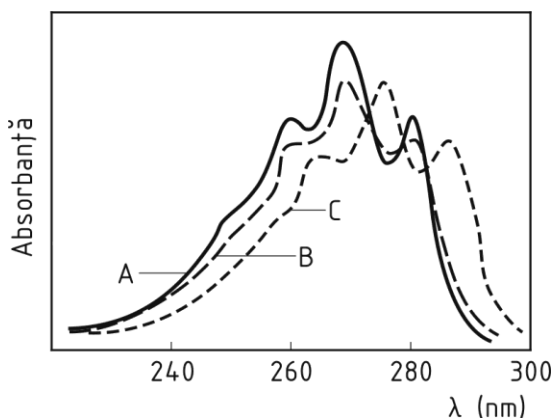


Fig.1.48. Spectrele izomerilor geometrici ai acidului octadeca-9, 11, 13-trienoic în ciclohexan. A) acid β -elaeostearic (trans-trans-trans); B) acid α -elaeostearic (cis-trans-trans); C) acid punicic (cis-cis-trans)

Prin spectrometria în UV poate fi studiată conformația unei proteine. Poziția, intensitatea și structura fină de absorbție a grupării amidă depind de forma în care este aranjat lanțul polipeptidic (fig. 1.49)[2]. Apare un pronunțat efect hipocromic, un efect hipsocromic de intensitate redusă și se formează un umăr la aproximativ 205 nm. La formarea structurii β , apar efecte hipercromice și batocromice de

intensitate redusă.

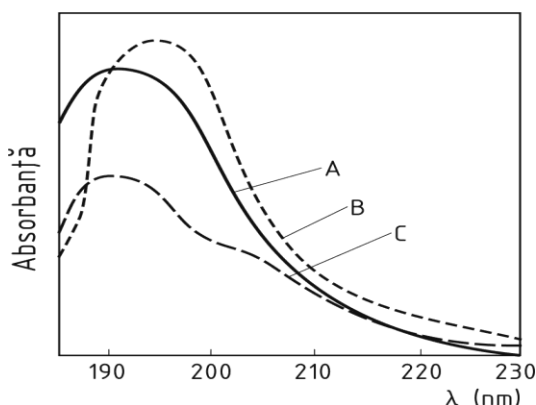


Fig. 1.49. Spectrele de absorbție ale legăturii peptidice în poli L-lizină pentru diferite conformații: A) lanțul peptidic distribuit întâmplător, B) structură β , C) α -elice.

Spectrometria în UV și vizibil este utilizată și pentru a studia legarea grupelor proteice și a substratului la enzime. De obicei, aceasta determină deplasări în spectrele proteinei sau a moleculei care interacționează.

Atunci când o coenzimă flavinică se leagă la o proteină, maximul de absorbție se deplasează de obicei la lungimi de undă mai mari decât al moleculei libere [3] (fig. 1.50):

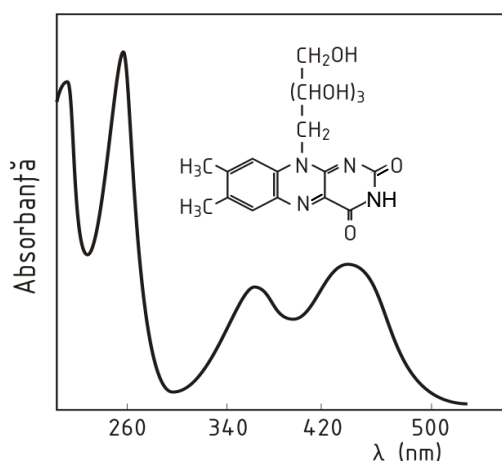


Fig. 1.50. Structura moleculară și spectrul de absorbție al riboflavinei.

Uneori poate apărea o nouă bandă de absorbție, de exemplu la interacția gliceraldehid-3-fosfat dehidrogenazei cu nicotinamidadenin dinucleotidul.

Spectrometria de absorbție în UV și vizibil își găsește numeroase aplicații în

biochimie.

1.7.4. Analiza cantitativă

Se poate face o determinare cantitativă a proteinelor pe baza absorbției de la 190-220 nm datorată legăturii peptidice, dar foarte multe alte substanțe pot interfera, absorbind radiații la această lungime de undă.

Dintre aminoacizi, cei aromatici absorb la lungimi de undă mai mari de 230 nm, iar spectrele lor sunt suficient de diferite între ele pentru a se putea determina spectrometric cantitatea prezentă din fiecare într-o proteină. Se poate face și o caracterizare a moleculei de proteină pe baza structurii fine a benzilor de absorbție datorate ciclurilor aromatice, deoarece aceasta diferă de la o proteină la alta, în special în cazul fenilalaninei.

În fig. 1.51 se prezintă spectrele de absorbție ale tirozinei, fenilalaninei și a unei proteine ce conține tirozină. Se constată că maximul de absorbție datorită aminoacidului este deplasat în proteină dar aceasta nu împiedică efectuarea unei determinări cantitative.

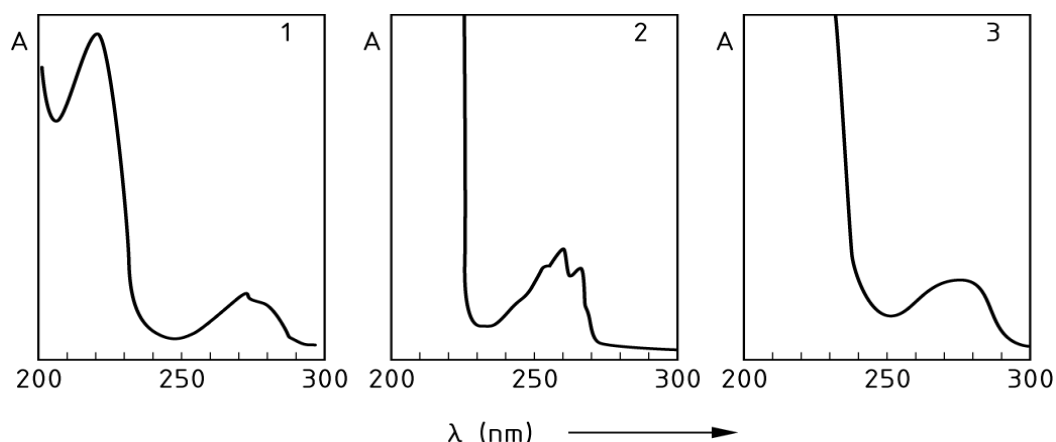


Fig. 1.51. Spectrele de absorbție ale: 1) tirozinei, 2) fenilalaninei și 3) unei proteine ce conține tirozină.

Proteinele pot fi determinate cantitativ pe baza complexului pe care îl formează cu ionul de cupru(II) prin grupările -NH- din legătura peptidică (reacția biuretului). Complexul prezintă maxime de absorbție la 330 nm și 540 nm (fig. 1.52):

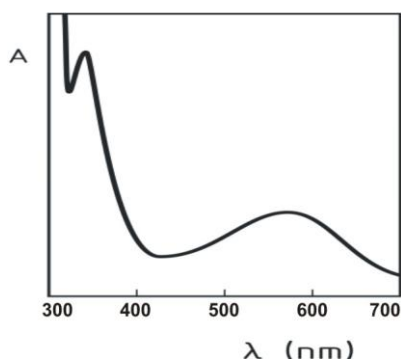


Fig. 1.52. Spectrul de absorbție al complexului format de cupru cu proteine (reacția biuretelui).

Metoda este simplă și destul de sensibilă. Toate proteinele reacționează într-un mod asemănător, fiind foarte mici diferențe de la o proteină la alta.

Prin spectrometrie în vizibil proteinele mai pot fi determinate cantitativ, pe baza proprietății pe care o au de a lega anumiți coloranți, cum ar fi verde de bromcrezol și purpura de bromcrezol. Pentru efectuarea determinărilor este necesar un foarte strict control al pH-ului. În fig. 1.53 se prezintă spectrele de absorbție ale verdelui de bromcrezol și al compusului format cu albumina.

Când compusul de analizat nu absoarbe radiații din domeniul în care se lucrează, se obține mai întâi un derivat colorat al acestuia. De exemplu, creatinina din sânge reacționează cu ionul picrat, în mediu alcalin, pentru a forma un produs colorat ce absoarbe la 490 nm, acidul uric este oxidat cu fosfotungstat în mediu alcalin și absorbanta produsului de reacție a fosfotungstatului de culoare albastră este măsurată la 680 nm.

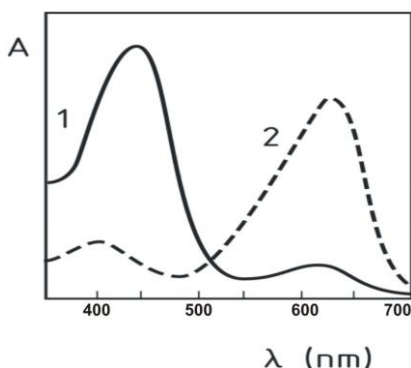


Fig. 1.53. Spectrele de absorbție ale: 1) verde de bromcrezol; 2) compusul său cu albumina.

Un mare număr de ioni metalici formează cu o serie de reactivi organici complecși colorați pe baza cărora pot fi determinați (astfel de reactivi sunt: ditizona, oxina, dietilditiocarbamatul de sodiu etc.).

Multe reacții enzimatică pot fi urmărite pe baza unor determinări de absorbantă, acestea vor fi însă discutate la capitolul de metode enzimatică de analiză.

Metodele spectrometrice în vizibil și UV își găsesc largi aplicații și la studiul unor echilibre de extracție sau de complexare ale unor ioni metalici cu o multitudine de reactivi.

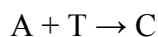
1.7.5. Titrări spectrometrice

Toate titrările implică transformarea unor specii chimice în altele, de aceea gradul de avansare al unei titrări poate fi urmărit și prin măsurarea absorbantei soluției în cursul procesului de titrare. Deoarece ceea ce se urmărește este de fapt variația absorbantei și nu valoarea absolută a acesteia, erorile care pot apărea datorită reflecției, refracției sau difuziei radiației de către pereții celulei sau de către probă sunt diminuate.

Prin folosirea unei reacții chimice de dozare crește mult specificitatea determinării, aceasta deoarece vor interfera, în general, numai acele substanțe (mai reduse la număr) care intervin în reacția de dozare și mai puțin cele care pot absorbi radiația.

Se poate efectua o titrare spectrometrică cu condiția ca substanța care se titrează, substanța formată în timpul titrării, sau titrantul să prezinte proprietăți absorbante caracteristice. În aceste cazuri, curba de titrare spectrometrică (care se obține prin reprezentarea absorbantei în funcție de volumul de titrant) constă din două segmente de dreaptă, punctul lor de intersecție corespunzând volumului de echivalență.

Să considerăm o reacție generală de titrare:



unde A este specia titrată, T titrantul și C compusul format în reacția de titrare. În fig. 1.54 se prezintă aspectele curbelor de titrare spectrometrică ce se pot obține în funcție de proprietățile absorbante ale lui A, T și C.

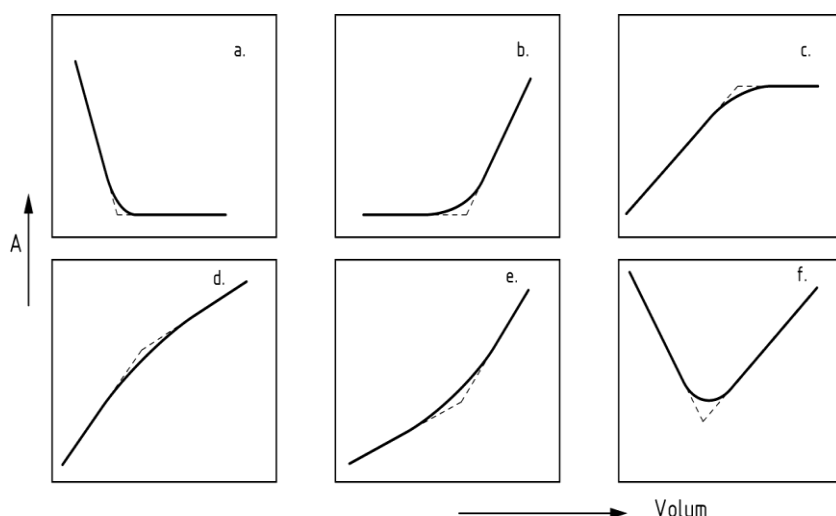


Fig. 1.54. Curbe de titrare spectrometrică pentru reacția $A + T \rightarrow C$. (a) absoarbe numai A; (b) absoarbe numai T; (c) absoarbe numai C; (d) A nu absoarbe dar absorbtivitatea molară a lui C este mai mare decât a lui T; (e) A nu absoarbe dar absorbtivitatea molară a lui T este mai mare decât cea a lui C; (f) C nu absoarbe dar absorbtivitatea molară a lui T este aproximativ aceeași cu cea a lui A.

Pentru a obține corect cele două segmente de dreaptă dintr-o curbă de titrare, este necesar ca legea Lambert-Beer să se respecte. Pentru exactitatea mai mare a determinărilor se poate face o corecție a absorbanței măsurate, ținând seama de diluarea probei în cursul procesului de titrare.

1.8. SPECTROMETRIA DE FLUORESCENȚĂ ȘI FOSFORESCENȚĂ MOLECULARĂ

Fluorescența și fosforescența constau în reemisia de energie radiantă ce are loc după un proces de absorbție. Determinările fluorimetrice se fac de obicei la temperatura obișnuită pentru probe dizolvate. Fosforescența este studiată în cele mai multe cazuri la temperaturi foarte scăzute în medii rigide (înghețate). Intensitatea radiațiilor emise prin fluorescență și fosforescență (dar nu și poziția spectrului emis) depinde de lungimea de undă a radiației excitatoare. Emisia de fosforescență are loc de obicei la lungimi de undă mai mari decât emisia de fluorescență. Spectrele de fluorescență și fosforescență, pentru o anumită substanță, sunt frecvent imaginea în oglindă a spectrului de absorbție. Prezentarea principiilor fenomenelor de fluorescență și fosforescență s-a făcut la capitolul 1.1.4.2.

Metodele fluorimetrice de analiză sunt utilizate mai mult în practică decât cele fosforimetrice, necesitând o aparatură mai simplă.

1.8.1. Relația între intensitatea radiației de fluorescență (sau fosforescență) și concentrație

Între intensitatea radiației emise prin fluorescență (sau fosforescență) I_e și intensitatea radiației absorbite, I_a , este o proporționalitate:

$$I_e = \emptyset I_a \quad (1.55)$$

unde \emptyset este randamentul cuantic de fluorescență (sau fosforescență) o constantă de proporționalitate care ne indică fracțiunea din radiația absorbită care este convertită în radiație emisă.

Dar $I_a = I_o - I$, unde I_o este intensitatea radiației incidente iar I intensitatea radiației transmise.

Înlocuind I , dat de legea Lambert-Beer (relația (1.46)), obținem:

$$I_a = I_o \left(1 - 10^{-\epsilon cl} \right) \quad (1.56)$$

Trecând la baza e și dezvoltând în serie exponențială, vom avea:

$$I_a = I_o \left(2,303\epsilon cl - \frac{(2,303\epsilon cl)^2}{2!} + \frac{(2,303\epsilon cl)^3}{3!} + \dots + \frac{(2,303\epsilon cl)^n}{n!} \right) \quad (1.57)$$

Pentru soluții foarte diluate și pentru care termenul ϵcl este mai mic de 0,05 (în cazul fluorescenței) sau 0,01 (în cazul fosforescenței) putem scrie:

$$I_a = 2,303 I_o \epsilon cl \quad (1.58)$$

Deoarece termenii superiori pot fi neglijăți, având valori foarte mici, valoarea lui I_e va fi dată de relația:

$$I_e = 2,303 \emptyset I_o \epsilon cl \quad (1.59)$$

Obținând ecuația de mai sus, s-a presupus că radiația de fluorescență s-a măsurat în aceeași direcție cu radiația excitatoare. Totuși, din motive practice, radiația de fluorescență se măsoară la un unghi de 90° față de cea excitatoare

(pentru a nu ajunge la detector și radiația excitatoare mult mai intensă decât cea de fluorescență).

Valabilitatea relației (1.59) se păstrează, dar l trebuie înlocuit cu l' ce reprezintă grosimea stratului de soluție în direcția detectorului de radiații.

Relația (1.59) ne indică faptul că pentru concentrații mici, intensitatea radiației de fluorescență este direct proporțională cu concentrația substanței de analizat. Deoarece valoarea intensității radiației provenite de la sursă, I_o , se poate modifica în timp, intensitatea radiației de fluorescență nu este măsurată în mod absolut, ci relativ. Determinările se fac față de un standard de fluorescență de concentrație cunoscută. Curba de calibrare se construiește reprezentând fluorescența relativă funcție de concentrație.

Relația (1.59) este valabilă pentru concentrații mici, până la câteva părți per milion, depinzând de substanța analizată. La concentrații mai mari, intensitatea radiației de fluorescență descrește cu creșterea concentrației.

1.8.2. Principiul aparaturii

Schema unui fluorimetru fotoelectric monofascicul cu filtre este prezentată în fig. 1.55. Această schemă este asemănătoare cu a unui aparat utilizat pentru măsurarea absorbției în domeniul vizibil și UV al spectrului, cu două excepții: 1) detectorul este rotit cu 90° față de direcția radiației incidente; 2) un al doilea sistem de separare a radiațiilor este plasat înaintea detectorului.

Sursa de radiații (1) constă de obicei dintr-o lampă cu vapori de mercur sau o lampă cu xenon. Ambele surse emit intens în domeniul UV al spectrului. Filtrul (2) permite trecerea unor radiații excitatoare de anumite lungimi de undă, iar filtrul (4) a radiației de fluorescență.

Semnalul produs de detector, care este un curent proporțional cu intensitatea radiației de fluorescență, este amplificat sau acționează direct sistemul de evaluare, care este un instrument de măsură, un înregistrator etc.

Aparatele în care separarea radiațiilor excitatoare și de fluorescență se face cu ajutorul unor monocromatoare se numesc spectrofluorimetre.

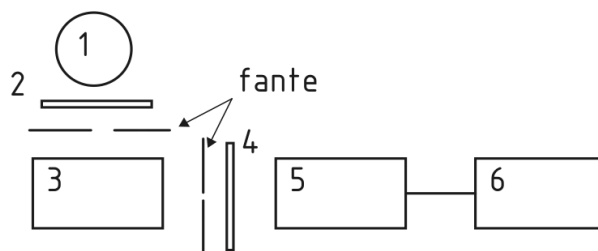


Fig. 1.55. Schema unui fluorimetru fotoelectric monofascicul cu filtre. 1) lampă cu vapori de mercur, 2) și 4) filtre, 3) celulă ce conține proba de analizat, 5) fotocelulă, 6) instrument de măsură

Pentru majoritatea aparatelor măsurarea radiației de fluorescență se face la un unghi de 90° față de direcția radiației excitatoare, în aceste condiții obținându-se cel mai redus fond dat de radiația excitatoare.

Un fosforimetru este asemănător cu un fluorimetru însă are în plus un dispozitiv optic care permite alternativ excitarea probei la anumite intervale de timp, excitări urmate de măsurarea radiației de fosforescență. Pentru efectuarea determinărilor, proba de analizat este răcită frecvent la temperatura azotului lichid.

1.8.3. Factorii structurali care determină fluorescența

Fluorescența apare în general pentru molecule aromatice și heterociclice sau care conțin mai multe duble legături conjugate. Ambele clase de substanțe au electroni delocalizați care pot fi trecuți în stări excitate de singlet cu energie mică (tranziții $\pi \rightarrow \pi^*$).

Substituenții influențează accentuat fluorescența. Un substituent care delocalizează electronii π , ca de exemplu grupările $-\text{NH}_2$, $-\text{OH}$, $-\text{F}$, $-\text{OCH}_3$, deseori mărește fluorescența, deoarece mărește probabilitatea tranziției între starea de singlet cu energia cea mai mică și starea fundamentală. Grupările atrăgătoare de electroni ($-\text{Cl}$, $-\text{Br}$, $-\text{I}$, $-\text{NO}_2$ sau $-\text{COOH}$) descresc sau sting fluorescența.

Rigiditatea moleculei are ca efect o creștere a fluorescenței acesteia, reducând amplitudinea vibrațiilor care de fapt determină tranzițiile neradiative. De exemplu, fluoresceina și eozina sunt puternic fluorescente dar un compus asemănător, fenolftaleina, care nu are o structură rigidă și pentru care sistemul conjugat este întrerupt, nu este fluorescentă.

Formarea chelaților cu ionii metalici determină frecvent apariția fenomenului de fluorescență deoarece crește rigiditatea moleculei și micșorează vibrațiile interne.

Factorii de mediu cei mai importanți care determină fluorescența sunt: pH-ul, temperatura, ionii metalici și oxigenul dizolvat. Pentru a obține bune rezultate în determinările de fluorescență trebuie utilizați solvenți foarte puri. pH-ul influențează fluorescența prin schimbările mari pe care le poate produce în structura anumitor molecule în urma unor fenomene de disociere sau protonare. Oxigenul molecular dizolvat precum și unii ioni metalici pot determina fenomenul de stingere a fluorescenței.

Scăderea temperaturii determină de obicei o creștere a intensității fluorescenței. Aceasta deoarece procesele competitive neradiative (prin care se pierde energia stării excitate) decurg cu o viteză mai mică la temperaturi coborâte.

1.8.4. Analiza cantitativă

Metodele fluorimetrice își găsesc aplicații deosebite în analiza biochimică, în cercetări biomedicale și pentru analizele chimice obișnuite ale unor probe de origine biologică. Aceste metode prezintă avantajul că pot fi aplicate frecvent fără o separare prealabilă a compușilor analizați din matricea în care se găsesc (separare care poate fi destul de dificilă).

De asemenea, metodele fluorimetrice pot fi utilizate cu rezultate foarte bune pentru cercetarea proceselor celulare la nivel molecular ca și în studiul compușilor activi biologic, ca acizii nucleici sau în studiul structurii și funcțiilor proteinelor.

Un mare număr de compuși de interes biochimic pot fi determinați fluorimetric, cum ar fi: aminoacizi, vitamine, steroizi, clorofile, medicamente, droguri etc. Metoda se aplică și la determinarea unor insecticide, poluanți și a altor compuși organici.

Unii compuși prezintă o fluorescență proprie și pot fi determinați direct, alții, care nu prezintă fluorescență, pot fi transformați folosind reactivi adecvați, în compuși fluorescenți. În acest mod pot fi analizați numeroși ioni metalici pe baza unor compuși fluorescenți pe care îi formează.

Aminoacizi ca: fenilalanina, tirozina și triptofanul prezintă fluorescență proprie ce permite determinarea lor directă. În fig. 1.56 se prezintă spectrele de absorbție, de fluorescență și fosforescență ale triptofanului.

Unele vitamine, ca de exemplu vitamina A, pot fi determinate fluorimetric direct, la concentrații de ordinul ppm și fracțiuni de ppm.

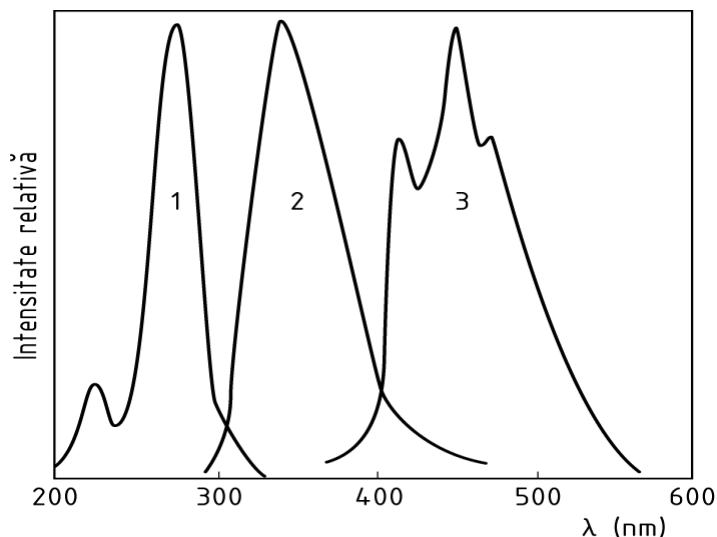


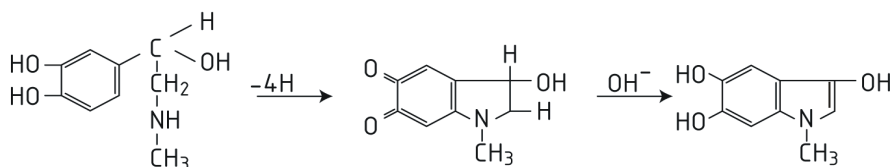
Fig. 1.56. Spectrele de absorbție (1), de fluorescență (2) și de fosforescență (3) ale triptofanului

Alte vitamine, ca de exemplu vitamina A și riboflavina, ce nu prezintă fluorescență proprie, pot fi convertite la fluorofori (compuși ce prezintă fluorescență intensă) printr-o reacție simplă, ceea ce permite determinarea lor cu o mai mare sensibilitate. Astfel,

Tiamina \rightarrow Tiocrom ($\lambda_{\text{ex.}} = 368 \text{ nm}$; $\lambda_{\text{em.}} = 440 \text{ nm}$)

Riboflavina \rightarrow Lumiflavina ($\lambda_{\text{ex.}} = 440 \text{ nm}$; $\lambda_{\text{em.}} = 550 \text{ nm}$)

Adrenalina poate fi determinată fluorimetric prin formarea unui fluorofor derivat de la indoxil:



Colesterolul, prin tratare cu acid sulfuric, formează un fluorofor ce permite determinarea lui în cantități de 0,1-2 μg ($\lambda_{\text{ex.}} = 546 \text{ nm}$; $\lambda_{\text{em.}} = 590 \text{ nm}$) [4].

Multe purine, pirimidine și coenzime pot fi determinate fluorimetric, prezentând fluorescență proprie [5]. În fig. 1.57 se prezintă spectrele de fluorescență ale adeninei și ale nucleozidelor și nucleotidelor sale:

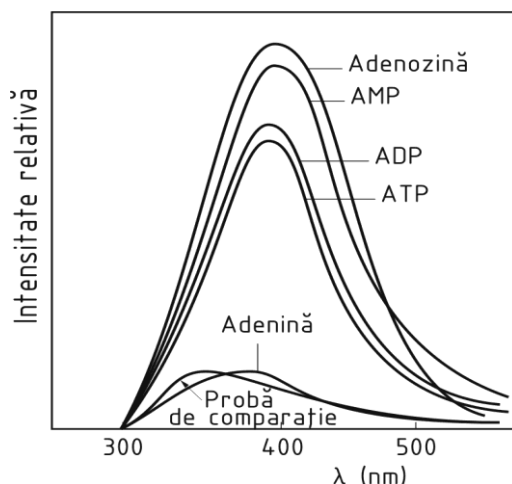


Fig. 1.57. Spectrele de fluorescență ale adeninei și ale nucleozidelor și nucleotidelor sale în 7N H_2SO_4 . Excitarea s-a făcut la 265 nm. Concentrațiile sunt în toate cazurile de 5 $\mu\text{g/mL}$.

Porfirinele sunt printre compușii naturali ce prezintă cea mai intensă

fluorescență. Porfirinele sunt excitate în vizibil și emit radiații de fluorescență la lungimi de undă mari ale spectrului vizibil și în IR. Din cadrul porfirinelor naturale fac parte hemoglobina, mioglobina, citocromii, clorofilele precum și alți pigmenți.

Fluorescența a fost folosită cu rezultate foarte bune pentru determinarea mecanismului fotosintezei, deoarece diferitele clorofile: a, b, c, d etc., protoclorofila și alți produși implicați în fotosinteză sunt fluorescenți la anumite lungimi de undă.

Metodele fluorimetrice sunt aplicate la analiza unor medicamente sau droguri (tabelul 1.8).

Datorită sensibilității și specificității, metodele fluorimetrice își găsesc largi aplicații în enzimologie. Pentru determinarea activității unei enzime, se măsoară fluorimetric viteza reacției catalizate de aceasta. De exemplu, NADH și NADPH, formele reduse ale nicotinamidadenin dinucleotidului (NAD^+) și nicotinamidadenin dinucleotidfosfatului (NADP^+), au o fluorescență intensă. Astfel, toate reacțiile depinzând de NAD^+ și NADP^+ implicate în analiza enzimatică pot fi studiate fluorimetric. Sensibilitatea este însă cu două-trei ordine de mărime mai mare decât în cazul metodelor de analiză bazate pe absorbția radiației.

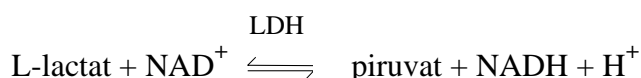
Tabelul 1.8. Metode fluorimetrice pentru determinarea unor medicamente și droguri.

Substanța	Condiții de lucru	$\lambda_{\text{ex.}}$	$\lambda_{\text{em.}}$	Sensibilitate (ppm)
Actinomicin D	H_2O_2 - HO^-	370	420	0,10
Antimicin	pH = 1	285	355	0,10
Aspirină	CHCl_3 – HOAc	280	335	0,01
Codeină	pH = 1	285	350	0,10
Estrogeni	pH = 13	490	546	0,10
LSD	pH = 7	325	365	0,002
Morfină	Fericianură	250	440	0,10
Fenobarbital	pH = 13	265	440	0,50
Procaină	pH = 11	275	345	0,01
Chinină	pH = 1	350	450	0,002
Tetraciclină	pH = 11	390	515	0,02

Dehidrogenazele, o importantă clasă de enzime care efectuează

dehidrogenarea hidroxicompușilor în prezența unui acceptor de hidrogen, pot fi determinate fluorimetric. Se măsoară viteza inițială de formare sau de descompunere a NADH și aceasta este corelată cu concentrația dehidrogenazei, substratului sau coenzimei.

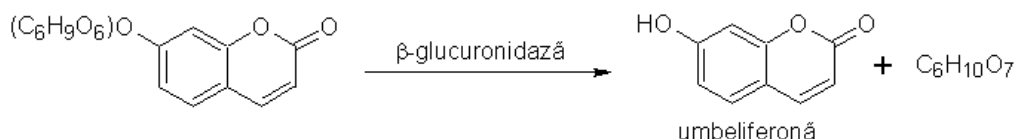
De exemplu, lactatul este transformat în piruvat la pH = 9 de către lactat dehidrogenaza (LDH) în prezență de NAD⁺. Reacția inversă se efectuează la pH = 7.



Viteza de formare a NADH la pH = 9 sau viteza de dispariție a acestei substanțe la pH = 7 este funcție de activitatea lactat dehidrogenazei, NAD⁺ (sau NADH) și a substratului.

Colinesteraza poate fi determinată specific prin acțiunea sa asupra unor substraturi nefluorescente cum ar fi butirat de rezorufină și acetat de indoxil, care sunt hidrolizate la compușii intens fluorescenți: rezorufina și indoxilul.

β-glucuronidaza poate fi determinată pe baza reacției de descompunere a glucuronidelor [6]:



Umbeliferona formată prezintă fluorescență intensă.

Metodele fluorimetrice sunt utilizate pentru determinarea unui mare număr de ioni metalici, după transformarea lor în chelați ce prezintă fluorescență. Câteva din aceste metode sunt prezentate în tabelul 1.9. Unele din acestea sunt cele mai sensibile și selective metode analitice pentru determinarea ionilor respectivi.

Metodele fosforimetrice sunt utilizate pentru analiza unor aminoacizi, proteine, acizi nucleici, nucleotide, nucleozide, purine, pirimide, enzime, medicamente, poluanți, pesticide etc.

Se poate spune că metodele fosforimetrice sunt mai selective decât metodele fluorimetrice de analiză (aceasta deoarece mai puține substanțe prezintă fosforescență). În ceea ce privește sensibilitatea, aceasta este asemănătoare cu a metodelor fluorimetrice.

Tabelul 1.9. Metode fluorimetrice pentru determinarea unor elemente.

Elementul	Reactiv	Sensibilitate (ppm)
Al	Saliciliden- <i>o</i> -aminofenol	0,0003
Au	Rodamină B	0,02
B	Dibenzoil metan	0,0005
Ca	Calceină	0,20
Cr	Triazinilstilbexonă	0,004
Mg	8-hidroxichinolină	0,01
Mo	Acid carminic	0,9
Zn	2,2'-metilen dibenzotiazol	0,002

Avantajele și dezavantajele metodelor fluorimetrice de analiză

Metodele fluorimetrice de analiză prezintă o foarte bună sensibilitate și selectivitate. Pot fi determinați compuși chiar la concentrații de 10^{-10} g/mL, ceea ce corespunde unei sensibilități de 1000 ori mai mare decât cea a celor mai multe metode bazate pe absorbția moleculară.

Aceasta se poate explica în primul rând pe baza faptului că în cazul metodelor fluorimetrice se măsoară direct radiația emisă, lucru destul de ușor de realizat, deoarece există o diferență între lungimea de undă a radiației excitatoare și cea de fluorescență. În principiu, este totdeauna mai ușor și mai precis să se măsoare direct un semnal mic decât o diferență (sau un raport) între două semnale mari, așa cum se face în spectrometria de absorbție moleculară (unde se măsoară raportul între intensitatea radiației incidente și cea transmisă).

Specificitatea metodelor fluorimetrice de analiză față de cele bazate pe absorbția radiației, se poate explica astfel: sunt mai puțini compuși fluorescenți decât cei care absorb radiații, în plus, compușii fluorescenți care absorb radiații de aceleași lungimi de undă este probabil să emită radiații la lungimi de undă diferite, putând fi determinați selectiv. Diferențele între lungimile de undă ale radiațiilor excitatoare și de fluorescență sunt cuprinse între (aproximativ) 10-280 nm.

Pot fi determinate substanțe care prezintă fluorescență ca atare, substanțe ce pot fi convertite la compuși fluorescenți sau cele care pot determina stingerea fluorescenței.

Principalul dezavantaj al metodelor fluorimetrice de analiză îl constituie influența importantă a condițiilor experimentale asupra determinărilor: temperatură, pH, tărie ionică, solvent, care trebuie menținute constante. De asemenea, radiația excitatoare (din domeniul UV) poate produce descompuneri

fotochimice.

Metodele fluorimetrice nu sunt indicate pentru determinarea unor constituenți majori ai probelor, deoarece la concentrații mari exactitatea este destul de redusă. Frecvent poate să apară fenomenul de stingere a fluorescenței, datorită temperaturii, oxigenului dizolvat, prezenței unor impurități etc.

1.9. SPECTROMETRIA DE ABSORBȚIE ÎN INFRAROȘU ȘI RAMAN

Domeniul IR cuprinde radiațiile între $0,8\ \mu\text{m}$ și $200\ \mu\text{m}$, sau, în numere de undă, între $12500\ \text{cm}^{-1}$ și $50\ \text{cm}^{-1}$. Regiunea cea mai utilă din punct de vedere analitic este cuprinsă între $3600\ \text{cm}^{-1}$ și aproximativ $300\ \text{cm}^{-1}$ ($2,8\text{-}33\ \mu\text{m}$). Între $12500\ \text{cm}^{-1}$ și $4000\ \text{cm}^{-1}$ este domeniul IR apropiat, iar între aproximativ $4000\ \text{cm}^{-1}$ și $650\ \text{cm}^{-1}$ ($400\ \text{cm}^{-1}$ după unii autori) este domeniul IR mediu. Domeniul IR îndepărtat este cuprins între $650\ \text{cm}^{-1}$ ($400\ \text{cm}^{-1}$) și $50\ \text{cm}^{-1}$ ($200\ \mu\text{m}$) și nu este utilizat decât în mică măsură în scopuri analitice. Sub $50\ \text{cm}^{-1}$ radiațiile aparțin domeniului microundelor.

Spectrul de absorbție în IR este un spectru de benzi care se datoresc unor tranziții între stări energetice de vibrație ale atomilor care constituie moleculele, peste care se suprapun tranziții între stări energetice de rotație. Principiile teoretice ale absorbției radiației în IR au fost prezentate în capitolul 1.1.4.1.

Cea mai importantă utilizare a spectrometriei de absorbție în infraroșu este la identificarea și la determinarea structurii unor compuși. Această metodă se aplică și pentru determinări cantitative, însă în mai mică măsură.

Pentru trasarea unui spectru în infraroșu, de mare importanță este pregătirea probelor pentru analiză.

1.9.1. Pregătirea probelor în vederea înregistrării spectrului în IR

Probleme deosebite se pun în privința materialului din care sunt confecționate ferestrele celulelor în care se introduc probele. Nu există un material care să fie transparent și totodată inert pentru întreg domeniul IR. Se utilizează pe scară largă halogenurile alcaline dar acestea își pierd ușor transparența în prezență de mici cantități de apă. Pentru probe ce conțin apă se pot întrebuința ferestre de siliciu, germaniu, clorură de argint etc., care însă sunt mult mai scumpe, prezentând și alte inconveniente. Teflonul are un număr redus de benzi de

absorbție datorate numai vibrației legăturilor C-C și C-F. El poate fi utilizat cu bune rezultate pentru obținerea ferestrelor, dacă proba nu are benzi de absorbție în zonele în care absoarbe acesta. Pentru $\tilde{\nu} < 600 \text{ cm}^{-1}$ se poate utiliza o celulă de polietilenă. În tabelul 1.9 se prezintă domeniile de lungimi de undă în care diverse materiale sunt transparente în IR:

Tabelul 1.10. Domeniul de transparență în IR al unor materiale.

Materialul	Domeniul de lungimi de undă, λ, μm	Domeniul de numere de undă, $\tilde{\nu}$, cm^{-1}
NaCl	0,5-16	20000-625
KBr	0,25-25	40000-400
AgCl	0,4-23	25000-435
CaF ₂	0,15-9	6670-1110
CsBr	1-37	10000-270
CsI	1-50	10000-200 (180)
KRS-5 (TlBr-TlI)	0,5-35	20000-286
Ge	0,5-11,5	20000-870
Si	0,2-6,2	50000-1613
Al ₂ O ₃ , safir	0,2-6,5	50000-1538
polietilenă	16-300	625-33

Dacă proba de analizat este lichidă la temperatura obișnuită trasarea spectrului se face utilizând proba ca atare sau o soluție a acesteia. Concentrația probei și grosimea de strat trebuie astfel alese încât transmitanța să fie cuprinsă între 15 și 70%.

La utilizarea probelor nediluate este necesară o grosime de strat foarte mică, 0,001-0,05 mm. Frecvent, drept solvenți pentru probă se întrebuițează CCl₄ pentru domeniul 4000-1333 cm^{-1} și CS₂ pentru domeniul 1333-650 cm^{-1} , cei doi solvenți fiind complementari în cele două domenii spectrale. Probele insolubile în acești solvenți se pot dizolva în acetonă, acetonitril, clorură de metilen, cloroform, ciclohexan etc., care sunt transparente în anumite domenii ale spectrului.

Solventul poate influența spectrul IR al substanței dizolvate. O atenție deosebită trebuie acordată atunci când se pot forma legături de hidrogen. Legăturile de hidrogen, prin grupările –OH sau –NH– alterând frecvențele caracteristice de vibrație ale acestor grupări, cu cât sunt mai puternice legăturile de hidrogen, cu atât scade frecvența fundamentală de vibrație.

Aparatele cu dublu fascicul permit compensarea benzilor de absorbție ale solventului, dar transmitanța acestuia nu trebuie să scadă sub 10%, la grosimea de strat respectivă.

În cazul unor determinări cantitative ale compușilor, se lucrează cu celule etanșe cu grosimea fixă de strat, în care se introduc probele prin injectare. S-au realizat și celule cu grosime de strat variabilă, ce poate fi reglată continuu între

0,005-5 mm cu ajutorul unui șurub micrometric.

Probelor solide li se poate trasa spectrul fie după dizolvare într-un solvent adecvat, fie în următoarele moduri:

- se obține o pastă din proba fin mojarată și un mediu lichid cum ar fi ulei de parafină (nujol), hexaclorobutadienă, perfluorokerosen. Pasta se întinde pe o fereastră transparentă și i se trasează spectrul. Mediile lichide utilizate având un număr redus de benzi de absorbție, deseori nu îngreunează interpretarea spectrului de absorbție al probei. Metoda este rapidă, dar este indicată în special pentru o analiză calitativă.
- proba fin mojarată este amestecată cu pulbere de bromură de potasiu (sau altă halogenură alcalină) și este presată la vid până când se obține o pastilă transparentă, pentru care este trasat spectrul. Prin această metodă se pot efectua ușor analize cantitative deoarece se pot determina cu precizie cantitățile de probă și eventual de standard intern introduse într-o pastilă.

Pentru analiza gazelor se întrebuițează celule cu grosime mare (10 cm). Pentru determinarea unor componenți în cantitate mică drumul radiației prin celulă poate fi multiplicat utilizând un sistem de oglinzi, drumul efectiv parcurs de fasciculul de radiații putând ajunge la zeci de metri.

Deoarece spectrul de absorbție pentru aceeași substanță poate fi diferit funcție de modul în care a fost pregătită proba și de parametrii de lucru ai aparatului, este necesar ca aceste date să fie totdeauna menționate.

1.9.2. Corelarea spectrelor în IR cu structura moleculară

Spectrul de absorbție al unui compus în domeniul IR constă, în principiu, din benzile de absorbție caracteristice ale grupărilor de atomi ce constituie molecula acestuia. Totuși, deoarece molecula vibrează ca un întreg, au loc interacții între diferitele grupări de atomi ce vibrează, ceea ce conferă o anumită individualitate spectrului fiecărei substanțe.

În domeniul IR apropiat sunt prezente multe benzi de absorbție corespunzătoare armonicilor, benzilor fundamentale și benzilor de combinare, asociate deseori atomilor de hidrogen (vibrații de întindere a grupărilor O-H, N-H, C-H). Regiunea IR apropiat este utilizată frecvent pentru determinări cantitative. Astfel, se poate determina apa din glicerină, hidrazină, freon, acetonă etc.

Domeniul infraroșu mediu, cuprins între $4000\text{-}650\text{ cm}^{-1}$ este constituit din regiunea frecvențelor de grup $4000\text{-}1300\text{ cm}^{-1}$ ($2,5\text{-}7,7\text{ }\mu\text{m}$) și regiunea de “amprentă” $1300\text{-}650\text{ cm}^{-1}$ ($7,7\text{-}15,4\text{ }\mu\text{m}$). În regiunea frecvențelor de grup, benzile principale de absorbție pot fi atribuite vibrațiilor unor unități constând din doi atomi ai moleculei, unități care sunt determinate de grupările funcționale prezente în moleculă și nu de întreaga structură moleculară. Totuși, structura moleculei își manifestă influența deplasând valorile frecvențelor de grup de la un compus la altul.

În intervalul $4000\text{--}2500\text{ cm}^{-1}$ ($2,5\text{--}4,0\text{ }\mu\text{m}$) benzile de absorbție sunt caracteristice vibrațiilor de întindere ale legăturilor formate de hidrogen cu elemente cu masă ≤ 19 .

Regiunea $2500\text{--}1540\text{ cm}^{-1}$ ($4,0\text{--}6,5\text{ }\mu\text{m}$) corespunde vibrației unor legături triple ($2500\text{--}2000\text{ cm}^{-1}$) sau duble ($2000\text{--}1540\text{ cm}^{-1}$) ($\text{C}=\text{O}$, $\text{C}=\text{C}$, $\text{C}=\text{N}$, $\text{S}=\text{O}$).

În regiunea de “amprentă” a spectrului ($1300\text{--}650\text{ cm}^{-1}$) radiația este absorbită datorită vibrațiilor de întindere a unor legături simple și a vibrațiilor de deformare ale sistemelor poliatomice (vibrații de schelet). Spectrul de absorbție în acest domeniu este caracteristic întregii molecule.

În regiunea $667\text{--}50\text{ cm}^{-1}$ ($15\text{--}200\text{ }\mu\text{m}$) absorbția radiației se datorează vibrațiilor de deformare ale legăturilor formate de carbon, azot, oxigen și fluor cu atomi cu masă mai mare de 19 și unor moduri suplimentare de deformare a unor sisteme ciclice sau nesaturate. Această regiune este deosebit de indicată pentru studiul unor compuși organometalici și anorganici.

În fig. 1.58 se prezintă schematic zonele din spectrul IR în care au loc vibrațiile unor grupări de atomi în moleculă.

Pe baza unui mare număr de spectre înregistrate (câteva mii) Colthup a obținut grafice de corelare a frecvențelor de vibrație cu natura atomilor ce vibrează în cadrul legăturii pentru un număr însemnat de grupări de atomi.

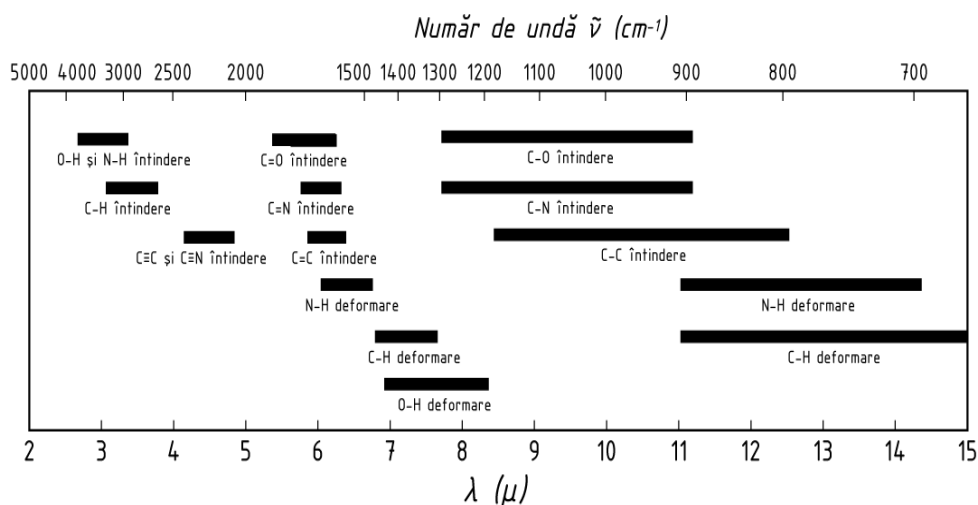


Fig. 1.58. Corelații simple ale vibrațiilor de grup cu regiuni ale domeniului IR.

Funcția graficelor de corelare este de a sugera compușii și structurile posibile, pentru investigații suplimentare. În cazul unui compus pur, identificarea acestuia va fi făcută prin compararea spectrului său cu spectrele unor compuși cunoscuți, spectrul în IR fiind ca o amprentă moleculară unică, ușor de diferențiat de a altor molecule. Suprapunerea exactă a celor două spectre ne confirmă că substanța necunoscută este aceeași cu compusul pur a cărui structură se cunoaște.

În acest scop se utilizează colecții de spectre sau sisteme de refacere a spectrelor. În cazul sistemelor de refacere a spectrelor se folosește un aranjament în cod binar, care divide spectrul într-un număr de intervale de lățime uniformă (de exemplu $0,1 \mu\text{m}$ sau 100 cm^{-1}). Prezența sau absența unor benzi de absorbție, a grupurilor chimice sau alte informații pot fi codificate în acest mod. Nu se codifică toate benzile de absorbție, ci numai cele ce depășesc o anumită intensitate.

S-au realizat biblioteci de spectre care conțin în memoria unui calculator spectrele în IR a mii sau chiar zeci de mii de compuși chimici și care ușurează mult identificarea structurii unor compuși de analizat.

În cazul unor amestecuri, spectrometria în IR ne permite determinarea grupărilor de atomi prezente în proba de analizat, dar identificarea componentelor individuali este destul de greu de făcut. În acest scop, datele obținute prin spectrometria în IR sunt corelate cu date furnizate de analiza chimică, spectrometria de rezonanță magnetică nucleară, spectrometria de masă etc.

În general, se poate spune că interpretarea unui spectru în IR este destul de dificilă. Deși unele benzi de absorbție pot fi imediat corelate cu natura probei, totuși foarte multe spectre conțin o cantitate de informații atât de mare, încât numai o parte din aceasta este utilizabilă chiar de un chimist experimentat.

Faptul că poziția maximelor de absorbție caracteristice pentru anumite grupări nu este constantă atunci când acestea sunt prezente în molecule diferite poate fi considerat un dezavantaj. Aceasta face însă ca spectrele de absorbție în IR să fie unice pentru diferitele molecule și astfel ele furnizează mai multe informații privind structura moleculară decât dacă poziția maximelor de absorbție ar fi invariantă.

Un dezavantaj al spectrometriei în IR la aplicarea în biochimie îl constituie faptul că apa prezintă benzi de absorbție late și intense în acest domeniu spectral. Foarte multe sisteme naturale au un mare conținut de apă, ceea ce limitează aplicarea metodei numai la anumite zone spectrale în care apa nu absoarbe.

Au fost obținute spectrele în IR pentru membrane, țesuturi, bacterii. Benzile de absorbție pot fi corelate cu compoziția sistemului, indicând prezența apei, a proteinelor, lipidelor etc. și este posibil de a diferenția țesuturile provenite din diverse surse.

Prin spectrometrie în IR a fost studiată conformația unor proteine, polipeptide și acizi nucleici. Cele mai importante benzi de absorbție în IR ale legăturii peptidice sunt în jur de 1600 cm^{-1} și se datoresc în principal întinderii legăturii C=O și deformării legăturii N-H. Schimbări în structura secundară determină deplasări mici (dar detectabile), variații ale intensității sau despicarea benzilor care pot sugera structura.

Spectrometria în IR poate fi aplicată pentru studiul structurii secundare a acizilor nucleici, absorbția de la 1700 cm^{-1} putând fi corelată cu structura secundară a polimerului.

Spectrometria în IR se aplică în biochimie, mai ales pentru analiza unor molecule relativ mici, cum ar fi cele de monozaharide și derivații lor, steroizi,

lipide, baze nucleotidice etc. Pentru aceste molecule, spectrul în IR rămâne suficient de simplu pentru a putea fi utilizat la determinarea structurii.

Analiza prin reflecție în IR apropiat este aplicată pentru analize clinice deoarece în acest domeniu spectral radiația pătrunde în țesuturile umane suficient de adânc. În acest mod se pot face determinări spectrometrice *in vivo*. Deși benzile de absorbție în IR apropiat sunt destul de slabe, ele sunt utile analitic deoarece aproape toate moleculele de interes biologic au benzi de absorbție distincte în acest domeniu. Aparatura modernă permite măsurarea unor absorbanțe foarte slabe față de un fond de radiații împrăștiate foarte mare, iar prin utilizarea unor tehnici statistice pot fi interpretate benzile multiple care se suprapun.

1.9.3. Spectrometria Raman

Efectul Raman este aplicat pentru elucidarea structurii unor molecule, pentru identificarea unor grupări funcționale sau legături chimice și pentru analiza cantitativă a unor amestecuri complexe.

Spectrul Raman apare în urma unor tranziții între stări energetice de vibrație ale moleculelor, însă într-un mod cu totul diferit față de spectrul în IR (capitolul 1.1.4.3.). Aceasta face ca spectrometria Raman și spectrometria de absorbție în IR să fie tehnici complementare.

La înregistrarea unui spectru Raman este important ca radiația difuzată prin efect Rayleigh să fie îndepărtată în cât mai mare măsură. Radiațiile obținute prin efect Raman fiind foarte slabe, acestea sunt măsurate la un unghi de 90° față de radiația excitatoare (fig. 1.59). În acest fel, radiația excitatoare nu ajunge direct la detector și perturbă determinările.

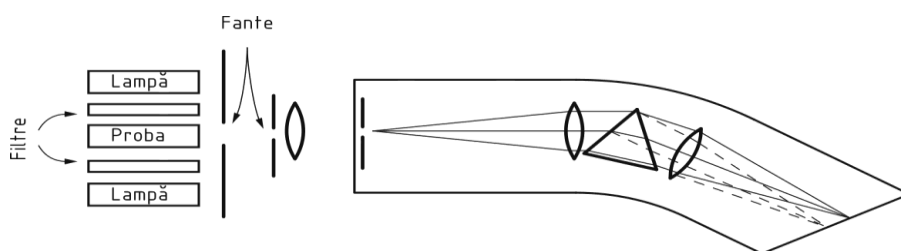


Fig. 1.59. Schema unui spectrometru Raman.

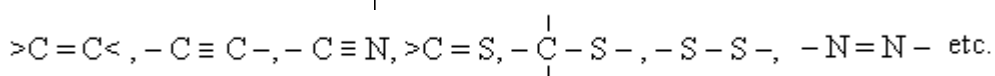
Pentru studierea efectului Raman se folosesc surse de radiații intense, de exemplu lămpi cu vapori de mercur. Proba de analizat este conținută într-un tub de sticlă prevăzut cu o fereastră transparentă. Între tubul ce conține proba și lampa de mercur se găsește un filtru ce permite trecerea radiațiilor de o anumită lungime de undă, de exemplu 435,8 nm.

Rezultate mult mai bune se obțin utilizând drept sursă de excitare un fascicul laser (de exemplu un laser He-Ne) care furnizează o radiație monocromatică foarte intensă.

Drept detector de radiații poate fi utilizată o placă fotografică, însă în spectrometrele moderne ea a fost aproape total înlocuită cu detectori fotoelectronici.

Spectrul Raman se obține cel mai bine pentru probe lichide. Utilizarea laserului ca sursă de excitare permite însă obținerea spectrului Raman pentru aproape orice stare a probei: lichidă, soluție, solid transparent, pulbere, gaz etc. și cu un volum foarte mic, de domeniul microlitrilor sau chiar nanolitrilor. Utilizarea lămpii cu vapori de mercur drept sursă de excitare necesită volume mult mai mari de probă, de ordinul mililitrilor.

Cele mai intense linii în spectrul Raman corespund vibrației unor atomi legați prin legături relativ nepolare, cu o distribuție simetrică a sarcinii. În aceste cazuri, se produc cele mai mari variații de polarizabilitate în cursul vibrației. Astfel de grupări sunt:



Pentru moleculele care au un centru de simetrie, benzile de absorbție permise în IR sunt interzise în spectrul Raman și invers. Pentru moleculele cu elemente de simetrie altele decât centrul de simetrie, anumite benzi pot fi active în Raman, în IR, în ambele sau în nici unul. Pentru moleculele complexe care nu prezintă simetrie, toate modurile normale de vibrație sunt active atât în spectrul Raman cât și în IR. În fig. 1.60 se prezintă comparativ spectrele de absorbție în IR și Raman ale acidului butiric; spectrul Raman a fost obținut folosind pentru excitare radiația de la 632,8 nm a unui laser He-Ne. Spectrul de absorbție în IR a fost obținut în CCl₄ pentru $\tilde{\nu} > 1330 \text{ cm}^{-1}$ și CS₂ pentru $\tilde{\nu} < 1330 \text{ cm}^{-1}$. Aceste spectre ne indică clar diferențele de intensitate ale unor anumite benzi din spectrele IR și Raman.

Spectrometria Raman are multe avantaje față de spectrometria de absorbție în IR. În primul rând, spectrometria Raman poate fi utilizată pentru a identifica și analiza molecule care nu absorb în IR ca de exemplu molecule diatomice homonucleare.

Un alt avantaj îl constituie faptul că spectrele Raman pot fi obținute pentru soluții apoase, spectrul Raman al apei fiind puțin intens. În IR însă apa absoarbe puternic mascând numeroase benzi de absorbție ale compușilor studiați. Spectrometria Raman poate fi astfel aplicată la studiul unor compuși biologici, apa însoțind foarte frecvent acești compuși.

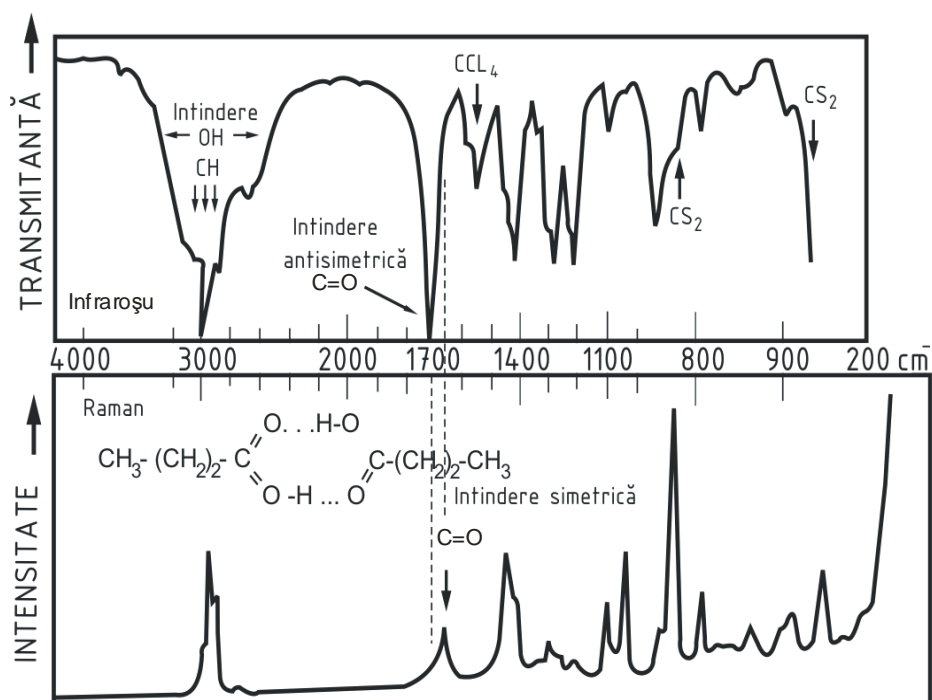


Fig. 1.60. Spectrele de absorbție în IR și Raman ale acidului butiric [23].

Spectrometria Raman prezintă însă și unele inconveniente. De obicei spectrul Raman nu poate fi obținut pentru o probă care absoarbe radiația excitatoare. De asemenea, dacă proba este fluorescentă sau conține particule în suspensie spectrul Raman va fi mascat de spectrul de fluorescență sau de radiația difuzată prin efect Tyndall.

Spectrul Raman permite obținerea unor informații privind conformația acizilor nucleici și a proteinelor, precum și privind interacțiile unor astfel de molecule.

Orice acid nucleic purificat dă 30 sau 40 de benzi Raman în domeniul spectral $300\text{--}1700\text{ cm}^{-1}$. Ele sunt determinate în primul rând de vibrațiile bazei ce intră în compoziția acidului nucleic. Două benzi intense (la 1100 cm^{-1} și 810 cm^{-1}) sunt atribuite lanțului principal fosfat-riboză. Banda Raman de la 1100 cm^{-1} este atribuită unei vibrații de întindere simetrică a legăturii $\text{O}=\text{P}-\text{O}^-$ atât frecvența, cât și intensitatea acestei benzi sunt independente de conformația lanțului principal.

Banda Raman de la 810 cm^{-1} corespunde unei conformații de tip A. Atunci când lanțul polinucleotidic ia altă conformație, această bandă nu se mai găsește în domeniul $807\text{--}814\text{ cm}^{-1}$ și în același timp devine mai slabă.

Dubla elice a ARN are o conformație a lanțului principal de tip A, dar această conformație nu apare neapărat numai în porțiunea cu dublă elice a structurii ARN.

Procentul nucleotidelor ARN în conformație A poate fi determinat prin măsurarea intensității benzii Raman de la 810 cm^{-1} folosind banda de la 1100 cm^{-1} ca standard intern.

În regiunea corespunzătoare vibrațiilor de întindere a legăturii C = O ($1750\text{--}1650\text{ cm}^{-1}$) reziduul de uracil dă două benzi Raman intense. Reziduurile de citozină și guanină dau două benzi Raman foarte slabe.

În conformația dublă elice a ADN sau ARN, reziduurile de bază sunt aranjate cu planurile aproape perpendiculare pe axa elicei și paralele una cu alta, astfel încât distanța între planurile adiacente de bază este de $3,4\text{ Å}$. O astfel de “împachetare” determină o reducere a intensității benzii de absorbție în UV de la 260 nm , având loc de asemenea o micșorare a intensității unor benzi Raman corespunzătoare reziduului de bază.

O proteină purificată dă aproximativ 30 benzi Raman intense în regiunea spectrală $300\text{--}1700\text{ cm}^{-1}$. Lanțul principal polipeptidic dă naștere următoarelor benzi: amidă I ($1645\text{--}1680\text{ cm}^{-1}$), amidă II ($1235\text{--}1300\text{ cm}^{-1}$), întindere C – C ($900\text{--}960\text{ cm}^{-1}$). Aceste trei benzi sunt utile pentru estimarea procentului de proteină ce se găsește sub formă de α -elice, formă β , sau are o orientare întâmplătoare a lanțului peptidic.

Conformația de α -elice dă o bandă Raman intensă corespunzătoare amidei I în regiunea $1650\text{--}1655\text{ cm}^{-1}$, o bandă Raman slabă corespunzătoare amidei III în regiunea $1260\text{--}1295\text{ cm}^{-1}$ și o bandă medie corespunzătoare întinderii legăturii C – C în domeniul $900\text{--}945\text{ cm}^{-1}$. Celelalte structuri dau benzi Raman diferite.

Pe lângă efectul Raman obișnuit, în care nu au loc tranziții între stări energetice electronice ale moleculelor, în anumite condiții experimentale, poate apărea *efectul Raman de rezonanță*.

Acest efect constă în trecerea unui electron din starea fundamentală pe un nivel excitat de vibrație al unei stări electronice excitate, fenomen urmat de o tranziție pe un nivel de vibrație al stării electronice fundamentale (fig. 1.61).

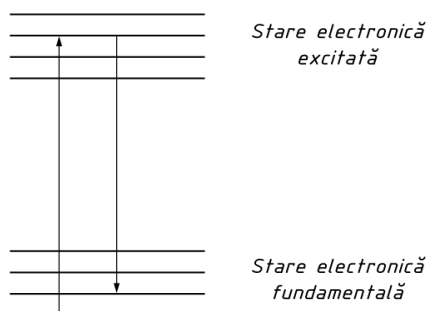


Fig. 1.61. Prezentarea schematică a efectului Raman de rezonanță.

În cazul efectului Raman de rezonanță nu are loc o relaxare preliminară pe cel mai coborât nivel de vibrație al stării electronice excitate, așa cum se întâmplă

în cazul fluorescenței. Emisia radiației este instantanee iar spectrul obținut este sub forma unor benzi înguste.

Pentru a obține spectrul Raman de rezonanță se folosește o radiație laser a cărei frecvență este egală sau apropiată de frecvența corespunzătoare unei tranziții electronice.

Avantajul efectului Raman de rezonanță constă în marea sensibilitate și selectivitate cu care poate fi studiată structura cromoforilor. Liniile Raman de rezonanță pot avea intensități de 10^2 - 10^6 ori mai mari decât liniile Raman obișnuite, iar spectrul obținut este mai simplu, deoarece sunt intensificate numai liniile corespunzătoare vibrațiilor cromoforilor. Se pot obține astfel informații detaliate privind modurile de vibrație ale cromoforilor ce au benzi de absorbție în apropierea lungimii de undă a radiației excitatoare. Această selectivitate apare, de exemplu, în cazul proteinelor hemului, unde benzile Raman de rezonanță se datoresc numai vibrațiilor cromoforului tetrapirolic.